

TECHNICKÁ UNIVERZITA V LIBERCI

Fakulta Textilní



DIPLOMOVÁ PRÁCE

RYCHLOST PROHOZU ŠPIČKY ÚTKU NA PNEUMATICKÉM STAVU

Liberec 1995

KHEDHIRA ABDELWAHEB

TECHNICKÁ UNIVERZITA V LIBERCI

FAKULA TEXTILNÍ

OBOR 31128

TECHNOLOGIE TEXTILU A ODĚVNICTVÍ

TECHNOLOGIE TKANÍ

RYCHLOST PROHOZU ŠPIČKY ÚTKU NA PNEUMATICKÉM STAVU
KHEDHIRA ABDELWAHEB

UNIVERZITNÍ KNIHOVNA
TECHNICKÉ UNIVERZITY V LIBERCI



3146065611

VEDOUCÍ PRÁCE: PROF. STANISLAV NOSEK

VEDOUCÍ KATEDRY TKANÍ

VYSOKÁ ŠKOLA STROJNÍ A TEXTILNÍ V LIBERCI

Fakulta textilní

Katedra tkalcovství

Školní rok: 1993/1994

ZADÁNÍ DIPLOMOVÉ PRÁCE

pro Abdul K H E D I R A

obor 31-12-8 technologie textilu a oděvnictví

Vedoucí katedry Vám ve smyslu zákona č. 172/1990 Sb. o vysokých školách určuje tuto diplomovou práci:

Název tématu: Rychlosť prohozu špičky útku na pneumatickém stavu a srovnávání s teoretickými vztahy

Zásady pro vypracování:

1. Úvod teoretický: pracovní hypotéza
2. Zjištění parametrů pohybu útku
3. Průběh rychlosti útku v prohozním kanálu
4. Závěr
 - a) zjištění konstatace
 - b) doporučení

KTT/TK

67 s., 25 s. příl.

Charakteristika
pohybu útku
Útek - pohyb
Prohoz útku

TECHNICKÁ UNIVERZITA V LIBERCI
Univerzitní knihovna
Voroněžská 1329, Liberec 1
PSČ 461 17

V220/95 T

Poděkování:

Tento cestou bych rád vyjádřil svoji vděčnost a poděkoval:

- Prof. Ing. Stanislavu Noskovi Dr. Sc. za cenné rady a pomoc.
- Moje poděkování patří konzultantům Doc. Hanzlovi, Ing. Brozzovi a všem členům katedry KTT za pomoc a cenné informace, které mě poskytovali po celou dobu mého studia na VŠST.

Místopřísežné prohlášení:

Místopřísežně prohlašuji, že tuto diplomovou práci jsem vypracoval sám s použitím uvedené literatury.

V Liberci dne 17.01.1995



podpis

Obsah

Seznam použitých symbolů a zkratek	Str. 5
1. Úvod	Str. 6
2. Současný stav problematiky	Str. 7
3. Cíl diplomové práce	Str. 8
4. Teoretická část	Str. 10
4.1 Rozbor funkcí elementů pneumatického prohozu	Str. 10
4.2 Proud vzduchu	Str. 16
4.21 Rychlosť proudového vzduchu	Str. 16
4.211 Změna rychlosťi proudu ve směru prohozu	Str. 18
4.22 Situace proudu vzduchu v trysce	Str. 20
4.23 Situace proudu vzduchu v konfuzoru	Str. 25
4.24 Spotřeba vzduchu na jeden prohoz	Str. 27
4.3 Pohyb útku v proudu vzduchu	Str. 29
4.31 Teoretické řešení pohybu útku ve vzduchovém proudu	Str. 29
4.311 Pohybová rovnice útku v proudu vzduchu	Str. 29
4.312 Pohybová rovnice útku v konfuzoru	Str. 31
4.313 Trvání průletu útku	Str. 35
4.32 Význam tahové síly v útkové niti	Str. 35
4.321 Tahová síla působící na útek	Str. 37
4.322 Tahová síla a její efektivní rozsah	Str. 40
4.323 Závislost tahové síly na tlaku vzduchu	Str. 41
4.324 Závislost tahové síly na kmitání útku v proudu vzduchu	Str. 41
5. Praktická část	Str. 43
5.1 Proč měříme rychlosťi útkové nitě a tahové síly	Str. 43
5.2 Popis měřicího zařízení	Str. 44
5.21 Optoelektronický senzor pro měření rychlosťi pohybu útku	Str. 45
5.22 Optoelektronický senzor pro indikaci času doletu	Str. 46
5.23 Tenziometr	Str. 47
5.24 Měřicí ústředna a zpracování impulsu	Str. 48

5.3	Experimentální měření rychlosti prohozního útku	Str. 49
5.31	Měřící metody rychlosti útku	Str. 49
5.311	Princip měření	Str. 50
5.32	Vyhodnocení měření rychlosti útku	Str. 52
5.321	Faktory ovlivňující rychlosť útku	Str. 55
5.3211	Vliv délkové hmotnosti útku na jeho rychlosť	Str. 55
5.3212	Vliv koeficientů odporu vzduchu na rychlosť útku	Str. 56
5.3213	Vliv délky výstupní trubice hlavní trysky na rychlosť útku	Str. 57
5.3214	Vliv tlaku na rychlosť útku	Str. 58
5.4	Měření tahové sily v útku při prohozu	Str. 60
5.41	Měřící zařízení pro měření tahové sily	Str. 60
5.411	Cejchování snímače	Str. 60
5.42	Vyhodnocení záznamů tahových sil v útku	Str. 62
5.43	Vliv nestejnoměrnosti na tahové sily při prohozu útku	Str. 63
6.	Závěr	Str. 64
	Seznam použité literatury	Str. 67

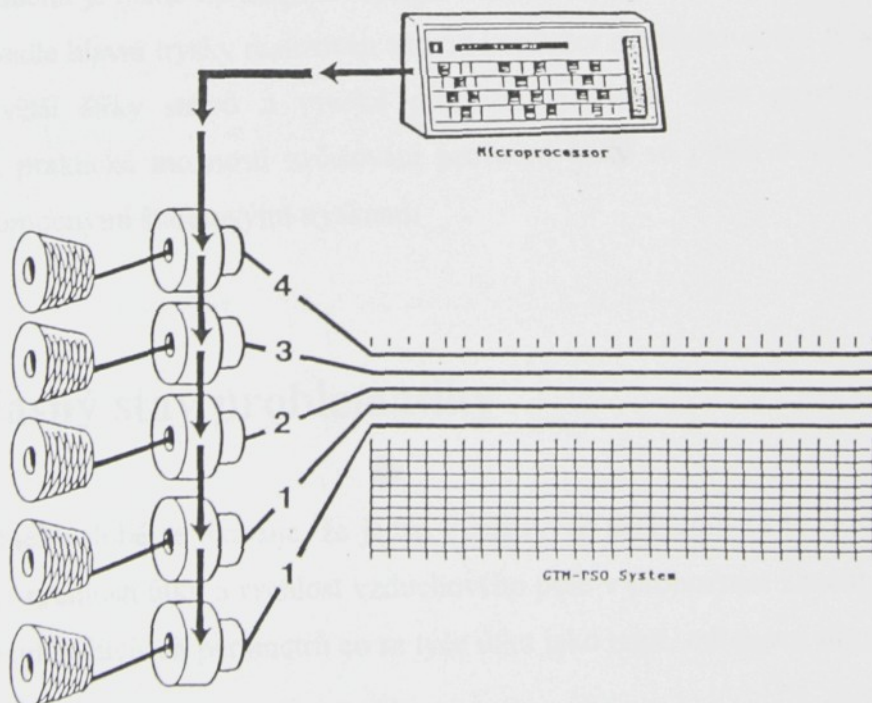
Seznam použitých symbolů a zkratek

A ...	účinná délka proudu vzduchu [m]
A_{lim} ...	limitní donosná délka proudu vzduchu [m]
a ...	součinitel výřivosti (0,07 - 0,08)
b ...	pracovní šířka stavu [m]
d ...	příčný rozměr otvoru konfuzoru [m]
d_v ...	průměr útku [μm]
d_b ...	průměr bubnu odměřovače [m]
E ...	energie vzduchového proudu [J]
p_1 ...	vstupní tlak v trysce [Pa]
p_2 ...	výstupní tlak oříšky [Pa]
t_1 ...	teplota vzduchu v trysce [K]
i ...	entalpie vzduchu [J kg^{-1}]
v_p ...	rychllosť proudu vzduchu [m s^{-1}]
v_i ...	rychllosť útku [m s^{-1}]
V_{vz} ...	objem vzduchu [m^3]
t_s ...	čas strhu útku [s]
Re ...	Reynoldsovo číslo
C_r ...	koeficient odporu konfuzorem [kg. m^{-2}]
k_0 ...	koeficient odporu odviječe [kg. m^{-2}]
α ...	činitel tahu proudícího vzduchu [1]
β ...	součinitel ztráty rychlosť vzduchu [m^{-1}]
v ...	kinematická vazkost vzduchu [$\text{m}^2 \cdot \text{s}^{-1}$]
φ ...	činitel výtokových rychlosťí [$\varphi < 1$]
ρ_1 ...	hustota vzduchu u vstupu do trysky [kg. m^{-3}]
ρ_2 ...	hustota vzduchu vystupujícího z trysky [kg. m^{-3}]
μ ...	měrná délková hmotnost útku [kg. m^{-1}]
κ ...	Poissonova konstanta [1.402]

1. Úvod

Vzduchový prohoz představuje zcela novou koncepci zanášení útku. První patent na světě na tryskový pneumatický stav byl udělen američanovi Brooksovi v roce 1914. O patnáct let později další američan Ballow získal patent za profilovaný paprsek a možnost použití pomocné štafetové trysky při vzduchovém prohozu útku.

V tomto směru pokračoval český textilní konstruktér Svatý Vladimír. Ještě v součastnosti pneumatické stavy zaznamenávají prudký rozvoj a bouřlivý rozmach a zvětšuje se počet firem, výrobců, kteří do tohoto tkacího systému investují své síly a prostředky. Jak nám ukazují poslední mezinárodní výstavy textilních strojů ITMA 91 v Hannoveru a ATM 93 v Greenville, všichni vystavovatelé potvrdili správné nastoupení cesty zdokonalování technologie vzduchového tryskového tkání, protože se stoupajícími tkacími výkony tryskových tkacích strojů a s roustoucími požadavky na kvalitu tkanin se kladou vysoké nároky na technické parametry a optimalizace vlastního vzduchového prohozu, který má zásadní vliv na zvyšování parametrů stroje. Proto se na strojích stále aplikuje vysoce kvalitní elektronika a mikroprocesory, které jsou už dnes běžné v řízení a činnosti technologického procesu.



Obr.1 Mikroprocesor k řízení tkacího stavu

Těmito modernějšími zařízeními lze dosáhnout vysokého výkonu stroje a možnosti acování nejrůznějších materiálů od staplových bavlněných přízí, syntetického hedvábí a o modifikací až po zpracování skleněných vláken. Pomocí mikroprocesoru můžeme ikovat listové stroje a v případě barevné záměny může být použito několika vkládacích sek (v dnešní době až do osmi barev) pro řízení různobarevných útků.

V porovnání s ostatními způsoby zanášení útku je v oblasti tkací techniky umatický prohoz nejperspektivnější a nejvhodnější, protože vzduchový tryskový prohoz několik předností:

vzduch nemá škodlivé účinky na tkací stav, na používaný materiál a také na pracovníky.
lepšení pracovních podmínek pro obsluhu, která hraje důležitou roli na výkonu stroje a kvalitě výroby.

dosážení vysokého výkonu a velké výroby.

Principiálně se vzduchový prohoz realizuje v různých variantách pomocí lamelového fuzoru a hlavní trysky. Tento typ se používá při menších šírkách strojů a z hlediska řeby vzduchu je méně náročný. Omezení tkací šírky bylo překonáno aktivním prohozem, když je vedle hlavní trysky realizován aktivní konfuzor s přifukovacími tryskami, čímž lze získat větší šírky strojů a vysoké prohozní rychlosti. Jako nejvhodnější varianta vedení k praktické možnosti zvýšování provozní šírky se používá výkonější profilový sek s pomocnými štafetovými tryskami.

Současný stav problematiky

V dnešní době se ukazuje, že jeden z klíčových problémů vzduchového prohozu je optimalizace rychlosti útku a rychlosť vzduchového pole v prohozním kanálu tkacího stroje a určení nejdůležitějších parametrů co se týče útku jako např. odtahové síly apod.

Práce z této oblasti z různých důvodů nebyly mnoho publikovány. V porovnání s jinými prvky zabývajícími se mechanickými systémy a procesy je velmi zanedbatelná.

Abychom lépe pochopili děje při vzduchovém prohozu, probereme stručně celý proces vzniku tkanin a soustředíme se na princip vzduchového prohozu tryskového tkani s konfuzorem.

Při prohozu tryskou je útek unášen proudem pracovního média kterým je vzduch. Konfuzor po dobu prohozu zasune do osnovy procházející mezerami útek. Pomocí konfuzoru se udrží soustředěný proud vzduchu na značnou vzdálenost a dopravuje ve směru osy kanálu útkovou nit, která vzájemným provázáním s osnovními nitěmi tvoří tkaninu.

3. Cíl diplomové práce

Těžištěm práce vědců a odborníků je v dněšní době zvyšovat oblast efektivního zanášení příze, vytvořit nejfektivnější použití sítěného vzduchu a udržovat stabilizaci rychlosti příze a to vývojem optimalizace strojních částí a řešením teoretické a praktické problémy, které se vyskytují v této pracovní oblasti.

Cílem této práce bylo změřit nejdůležitější parametry útkové nitě při vzduchovém tryskovém prohozu a porovnat dosažené výsledky s příslušnými teoretickými vztahy a ověřit je.

Úkoly kladené na vypracování zahrnují hlavně následující části:

První část: zabývá se teorií rychlostí prohozu, kde jsou zapisovány parametry pohybu útku a to jsou:

- rychlosť prohozniho vzduchu

- rychlosť útku a odtahové sily, která na něj působí při prohozu

Druhá část:

- provézt praktické měření.
- měřit rychlosť útku při různých tlacích pro různé materiály (lehké symetrické, střední a těžké)
- měřit odtahové sily v přízích při každém stanoveném tlaku

Výsledky měření budou zaznamenávány ve formě závislosti rychlosti útku, odtahové síly a jejich kolísání v čase.

4.3 Úvodní funkce elementů pneumatických

Závěrečná část

Zda teorie potvrzuje experiment či nikoliv. Konstatovat, co z tohoto měření vyplývá a doporučit optimální řešení.

– průběžné řešení konstrukce

– výrobní řešení konstrukce

4. Teoretická část

4.1 Rozbor funkcí elementů pneumatického prohozu

Nejdůležitějšími elementy prohozního systému vzduchového stavu jsou:

- odměřovač útku
- hlavní tryska
- prohozní kanál konfuzoru

Odměřovač útku

Protože u pneumatických tryskových tkacích strojů není určena délka útku a nelze ji na doletu kontrolovat, musí být pro jednotlivé prohozy dodána přesně odměrená délka útku. Proto je nutné používat odměřovač útku, který má za úkol zajistit vhodnou délku útku a připravit ji pro prohoz při nejmenším odporu vůči prohozu a zablokovat odběr ze zásoby po odtažení potřebné délky.

U tryskového prohozu, je útek navlečen do hlavní trysky v malé délce a při jeho stahování přímo z křížové cívky vznikají odporové sily, které by značně snižovaly dolet útku, tedy tkací šířku. Tahové sily by nestačily k odtahu útku a nejsou dostačující pro rychlý rozběh. Změny délky prohozených útků při daném tlaku způsobí změny v tahu útku při přímém stahování z křížové cívky. Tímto vzniknou nežádoucí chyby jako tvorba kliček nebo přetrhnutí. Proto se musí útek nejdříve odsunout z křížové cívky pomocným zařízením, aby jej bylo možno stahnout malou silou bez rázů a se stejnomořným napětím.

Vzhledem k měnící se šířce vyráběné tkaniny a při rozdílném setkání útků, je odměřovaná délka regulovatelná. Tuto délku lze určit podle vztahu:

$$L = \frac{\pi \cdot d \cdot n_i}{n} [m]$$

L ... odměřená délka pro jeden prohoz [m]

d_b ... průměr odměřovacího bubnu [m]

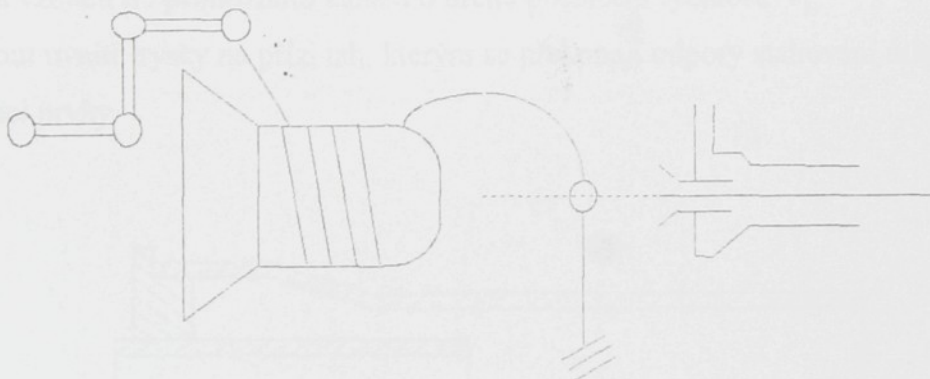
n_d ... otáčky odměřovacího bubnu [ot / min]

n ... otáčky stavu [ot / min]

π ... = 3.14

po úpravě

$$L = b + l_{tk} \quad \text{kde} \quad b = \pi \cdot d$$



Obr.2

b ... pracovní šířka stavu [m]

l_{tk} ... délka tkaniny zahrnující setkání útku a třásní u tkaniny [m]

Hlavní tryska

Vědci jako Duxbury-Lord a Waswami došli ve své práci k závěru, že problémy vzduchového prohozu ovlivňuje pouze tryska, která je spojovacím článkem mezi odměřovačem a prohozním kanálem.

Hlavní tryska tvoří nejpodstatnější element prohozního ústrojí pneumatického tkacího stavu a rozhoduje o efektivnosti prohozu.

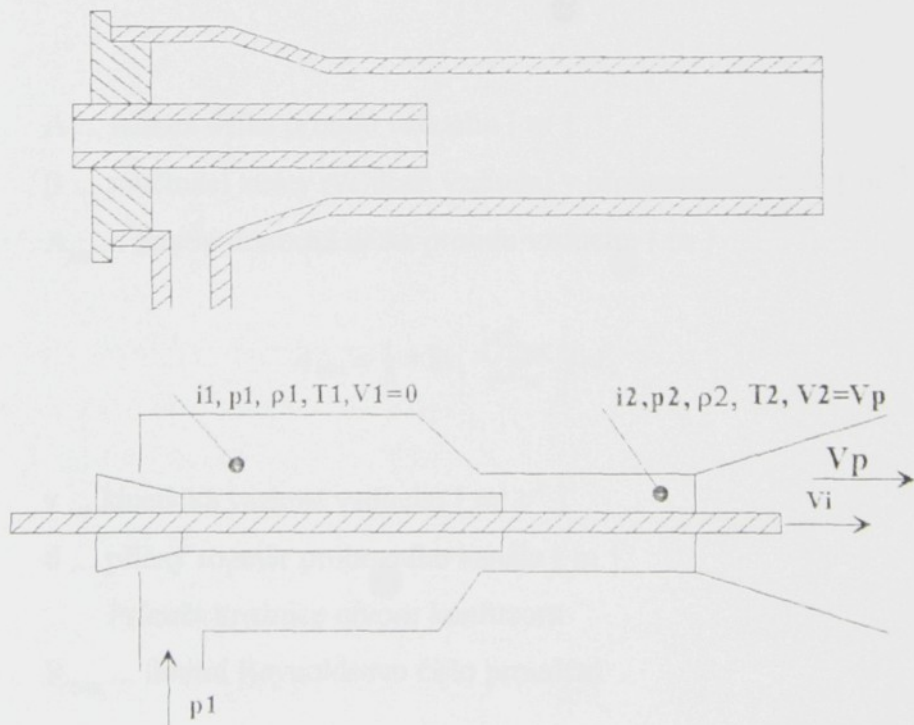
Útek je prohazován do prošlupu vzduchovým proudem vycházejícím z trysky, která má splňovat několik požadavků a úkolů.

Požadavky na hlavní provozní trysku jsou:

- a) snadný návlek útku do střsky
- b) střска by měla mít malou spotřebu vzduchu a malou agresivitu vůči útku
- c) dobře sejmout útek z odměřovacího zařízení
- d) vytvořit v konfuzoru pohyb vzduchového pole proudu
- e) urychlují útek na požadovanou rychlosť s určitou tahovou silou

Úkoly, které má zajistit hlavní tryska spočívají v těchto funkcích:

- a) vpravit vzduch do prohozního kanálu o určité počáteční rychlosti V_{i0}
- b) vyvinout uvnitř trysky na přízi tah, kterým se překonají odpory stahování útku z odviječe a přes vodící prvky



Obr.3 Schéma hlavní trysky

Snaha výrobců zlepšit kvalitu a parametry hlavní trysky, se nikdy nezastavuje. Vše směřuje k tomu, aby došlo k změňování spotřeby vzduchu, energie, zvětšení dnesné délky proudu a jeho výtokové rychlosti.

Výtoková rychlosť vzduchového proudu z trysky je dána vztahem:

$$V_{p0} = \varphi \cdot V_{\text{lim}} \sqrt{1 - \left(\frac{p_2}{p_1}\right)^{\frac{\kappa-1}{\kappa}}} \quad [\text{m.s}^{-1}]$$

κ ... Poissonova konstanta $\kappa = 1.402$

p_1 ... vstupní rychlosť do hlavní trysky [Pa]

p_2 ... výstupní rychlosť z hlavní trysky [Pa]

Pro druhý parametr donostnosti vzduchového proudu podle Prof. Noska platí:

$$(4) \quad \frac{p_1}{p_2} > \frac{1}{\left[1 - e^{2\beta(A - A_{\text{lim}})}\right]^{\frac{\kappa}{\kappa-1}}}$$

A ... účinná délka proudu vzduchu [m]

β ... součinitel ztráty rychlosť vzduchu v prohozném kanále [m^{-1}]

A_{lim} ... limitní donosná délka proudu vzduchu [m]

$$A_{\text{lim}} = \frac{1}{\beta} * \ln \left[\frac{\frac{\gamma * R_{\text{clim}}}{d}}{\varphi \cdot V_{\text{lim}}} \right] [m]$$

γ ... kinetická vazkost vzduchu [$\text{m}^2 \cdot \text{s}^{-1}$]

d ... příčný rozměr prohozního kanálu [m]

Průměr kružnice otvoru konfuzoru

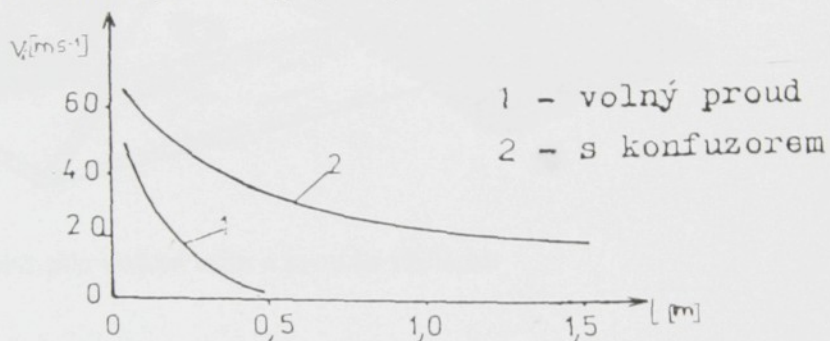
R_{clim} ... limitní Reynoldsovo číslo proudění

Podle vztahu (4) vstupní tlak p_1 roste progresivně donosnosti proudu A až do určité donosní vzdálenosti A_{lim} .

Konfuzor

Původní princip tryskového prohozu bylo zanášet útek na malou vzdálenost a proto byl zkonstruován lamelový kanál nazývaný konfuzor. To je kanál složený ze soustavy prstenců uložených hustě vedle sebe na bidle nebo mimo bidla. Ve fázi přírazu paprsku k čelu tkaniny se musí konfuzor dostat mimo rovinu osnovy.

Konfuzor jako prohozní kanál částečně brání disipaci vzuchového proudu a snižení jeho rozptylu. Také jeho geometrické parametry jako tloušťka lamel, jejich vnitřní průměr nebo vzdálenost mezer mezi lamelami ovlivňují zanášecí rychlosti čela útku a rychlosť proudícího vzduchu u pneumatických tkacích strojů. Podle (2) jsou uvedeny dva průběhy rychlosti útku ve volném proudu v případě použití konfuzoru.



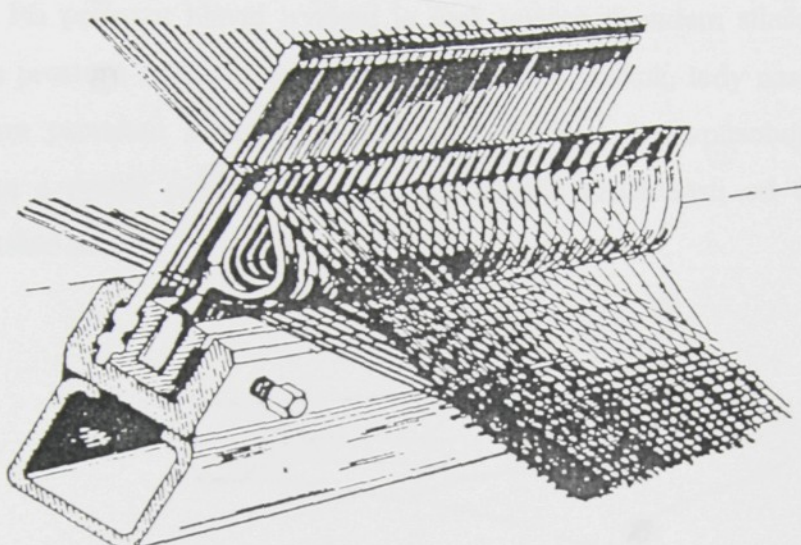
Obr. Rychlosť útku bez použití konfuzru a s konfuzorem

Z hlediska proudění vzduchu a prohozu útku je patrně vidět, že pomocí konfuzoru jako nezanedbatelný prvek prohozního ústrojí lze udržet proud vzduchu soustředěný do vzdálenosti 1.5- 2 m a výrazně zvýšit rychlosť útku o 1/3 více než když prohozujeme útek do volného proudu.

Vlivy způsobené konfuzorem na útek a na osnovu musíme potlačit na nejmenší míru:

- konfuzor nadzvedne nitě spodního prošlupu tak vysoko a vytvoří se vazební chyba
- konfuzor může způsobit u některých vláken řádkování po osnově
- u stálových přízí konfuzor zvyšuje oděr a tím je vysoká prašnosť v tkalcovně.

- nejčastější chyba, která se vyskytuje je zadržení útkové nitě hranou nebo povrchem konfuzoru a to způsobí nedolet útku a proto lamely jsou tím dokonalejší, čím mají ostřejší výtokové hrany a povrch s vyšším leskem
- konfuzor má velký vliv na napětí útku v prošlupu

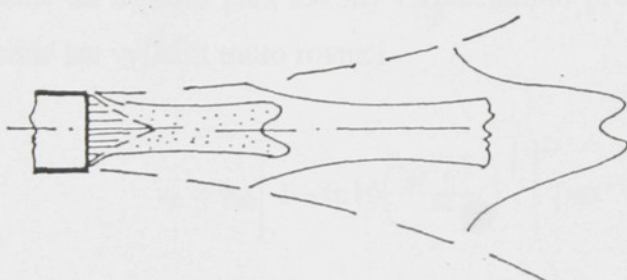


Obr. Konfuzor pro vedení útku a proudu vzduchu

4.2 Proud vzduchu

4.21 Rychlosť proudového vzduchu

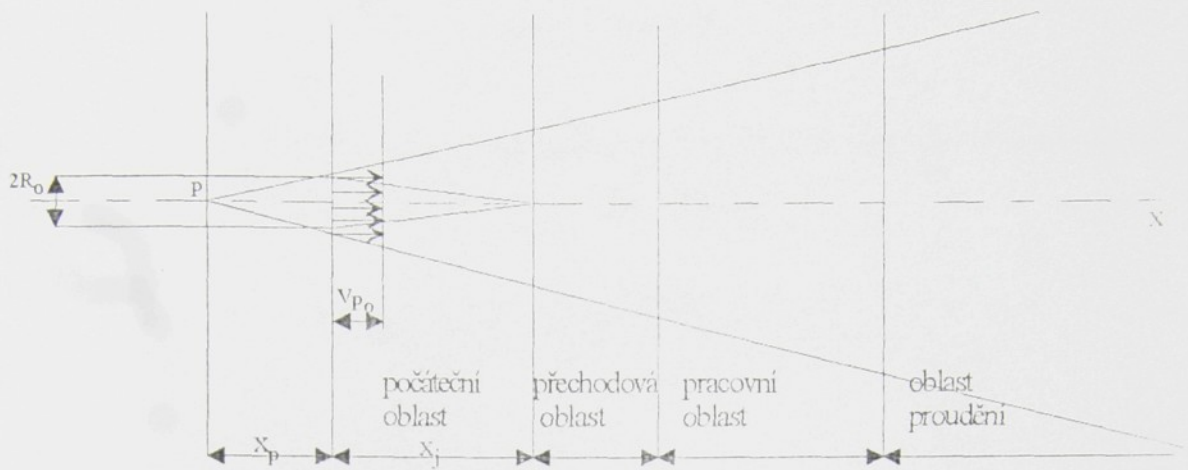
Pri prohozu hlavní tryskou je útek unášen proudem stlačeného vzduchu, ktorý ve volném prostoru strháva s sebou částice vzduchu v okolí, tedy nastáva výmena hmoty mezi unášecím proudom a nepohybujúcim sa vzduchom. To zpôsobuje zvýšenie šírky proudu vzduchu a rýchly pokles jeho rýchlosťi v krátké vzdálenosti od ústia hlavní trysky, jak je znázorneno na obr.



Obr.4 Výtokový profil proudu vzduchu z trysky

Proud není omezen žádnými pevnými stěnami a po výtoku z hlavní trysky se rozšiřuje v kuželovém tvaru, kde se vrchol kužele nazývá polem proudu, který je průsečíkem vnějších hranic proudu. Abramovič při založení své teorie definoval čtyři různé oblasti, kam proudí vzduch:

- počáteční oblast . . . počáteční úsek zahrnující jádra pole x_j a vzdáenosť x_p
- přechodová oblast . . . krátký úsek v rozmeru $16R_0$
- pracovní oblast . . . velice důležitá a její délka je závislá na velikosti počáteční rychlosti proudění a na rozměrech hlavní trysky
- oblast proudění . . . je kratší úsek, ve kterém max. rychlosť proudu klesá pod $0,5 \text{ m.s}^{-1}$



Obr.5 Rozdělení volného proudu

V oblasti těsně za tryškou platí zákony turbulentního proudění. Rychlosť proudu v různých bodech kuželeta lze vyjádřit touto rovnicí

$$v_p = v_{p0} \left[1 - 0.16 \left(\frac{\sqrt{y^2 + z^2}}{ax} \right)^{\frac{3}{2}} \right]^2 [ms^{-1}]$$

v_p ... rychlosť proudění vzduchu [$m.s^{-1}$]

v_{p0} ... počáteční rychlosť těsně za tryškou [$m.s^{-1}$]

a ... součinitel vřivosti $0,07 \leq a \leq 0,08$

x ... totožná osa s osou proudění

x, y, z ... souřadnice daného bodu

Podle Uno Minoru, rychlosť v ose proudu v hlavním úseku byla popsana následujícím vztahem

$$v_p = \frac{13}{3x+1} [ms^{-1}]$$

nebo lze vyjádřit v tomto exponenciálním tvaru, kdy se rychlosť proudu zpomalí za tryškou

$$v_p = v_{p0} e^{-\beta x} [ms^{-1}]$$

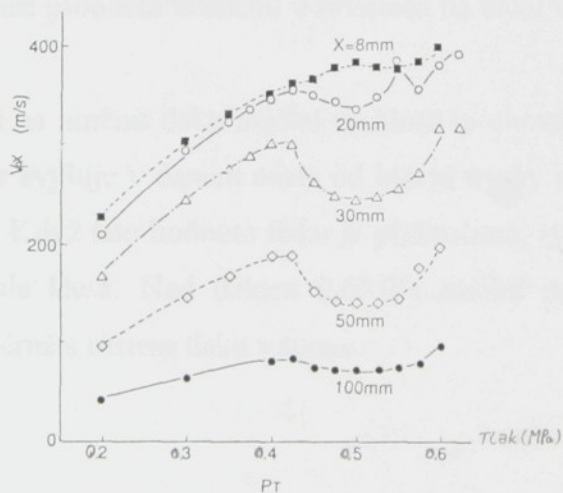
$\beta \dots$ součinitel poklesu rychlosti proudu [m^{-1}]

Práce (1) popisuje proudění v případě použití konfuzoru jako prohozního kanálu a dále rychlosť proudění vzduchu po hlavní ose tímto vztahem

$$v_T = \frac{v_{px}}{x} [ms^{-1}]$$
$$v_T = \frac{0.0925}{x^2} + (2.8593x - 8,0)^2 + x [ms^{-1}]$$

4.2.11 Změna rychlosťi proudu ve směru prohozu

Rychlosť vzduchového proudu v potenciálním jádru (počáteční úsek proudění) u ústí trysky přibližně 20mm jak bylo ukázáno při několika experimentech, podle odborné literatury, že rychlosť proudění vzduchu je v tomto úseku konstantní. Podle (ISHIDA, OKAJIMA) v závislosti na vzdálenosti od hlavní trysky bylo dosaženo následujících výsledků vyjádřených grafem (6).



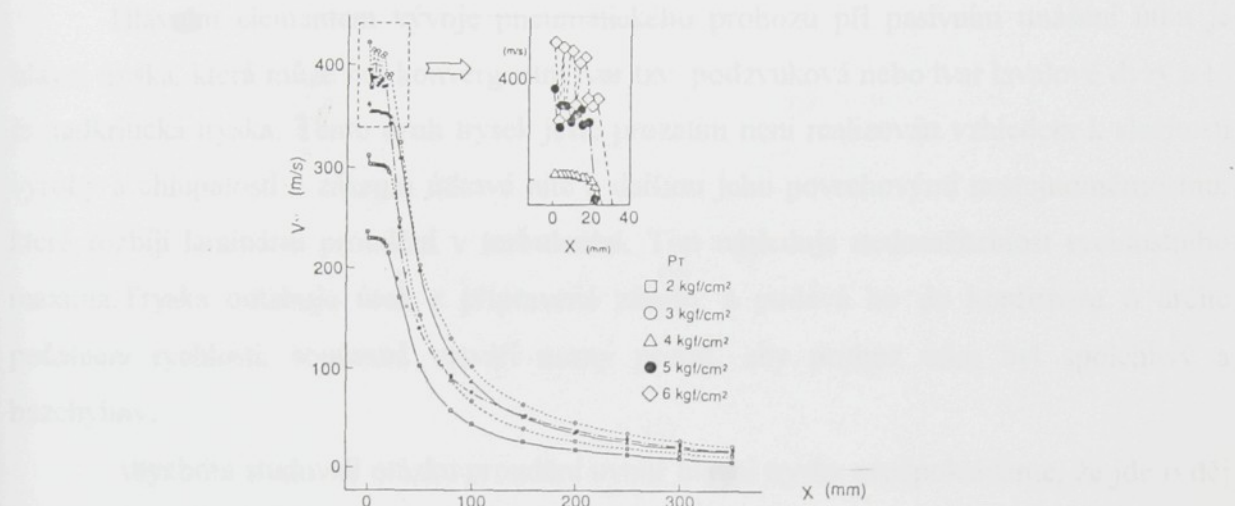
Obr.6 Rozdělení axiální rychlosťi proudu při různých vzdálenostech od hlavní trysky

$v_{px} \dots$ rychlosť proudu po hlavní ose proudění

$x \dots$ vzdálenost od hlavní trysky

Z téhož průběhu vychází, že rychlosti proudění vzduchu při tlaku v hlavní trysce vyšší než 0,4MPa jsou odlišné než rychlosť při tlaku menším než 0,4MPa. V intervalu, kdy se tlak pohybuje v rozmezí 0,2-0,4MPa, vzduch proudí skoro se stejnou rychlosťí po hlavní ose blízko u ústí trysky. Rychlosť náhle snižuje jak se oddalujeme více od trysky.

Měření provedené při tlaku $p=0,56\text{ MPa}$ vysvětluje, jak strměji klesá rychlosť proudu vzduchu vystupující se z hlavní trysky v porovnání při tlacích $p=0,2-0,4\text{ MPa}$.



Obr.7 Axiální rychlosť proudění vzduchu v závislosti na tlaku vzduchu

V souvislosti na změnu tlaku axiální rychlosť se chová, jak je znázorněno průběhy obr. (7) rychlosť se zvyšuje v daném místě od hlavní trysky se zvyšujícím se tlakem až do hodnoty $p=0,4\text{ MPa}$. Když tato hodnota tlaku je překročena, rychlosť proudu v potenciálním jádru proudění rychle klesá. Nad tlakem $0,6\text{ MPa}$ axiální rychlosť je spíše konstantní a směřuje k růstu poměrně s růstem tlaku v trysce.

22 Situace proudu vzduchu v trysce

Na pneumatickém stavu prohozní proces útku sestává ze dvou fází:
fáze pohybu uvnitř trysky, kterou nazíváme vnitřní pohyb
fáze pohybu uvnitř konfuzoru tj. pohyb mimo trysky, kterou nazíváme vnější pohyb

Hlavním elementem vývoje pneumatického prohozu při pasivním unášení útku je vní tryska, která může mít konvergentní tvar tzv. podzuková nebo tvar lavalové dyzy a to nadkritická tryska. Tento druh trysek ještě prozatím není realizován vzhledem k složitosti toby a chlupatosti a zákrutu útkové nitě a dalšími jeho povrchovými nestejnoměrnostmi, ré rozbijí laminární proudění v turbulentní. Tím následuje nedosažitelnost rychlostního xima. Tryska odtahuje útek z připravené zásoby a podává ho do konfuzoru o určité čáteční rychlosti, současně vytváří nosný proud, aby prohoz útku byl spolehlivý a zchybný.

Abychom studovali otázku proudění uvnitř hlavní trysky předpokládáme, že jde o děj iabatický, kde platí rovnice adiabatické změny:

$$p_1 \left(\frac{1}{\rho_1} \right)^{\frac{\gamma}{\gamma-1}} = p_2 \left(\frac{1}{\rho_2} \right)^{\frac{\gamma}{\gamma-1}} = \text{konst.}$$

p_1 . . . vstupní tlak [Pa]

p_2 . . . výstupní tlak [Pa]

γ . . . Poissonova konstanta vzduchu 1,402

ρ_1 . . . hustota vzduchu u vstupu [kg.m^{-3}]

ρ_2 . . . hustota vzduchu u výstupu [kg.m^{-3}]

Při výstupu vzduchu z hlavní trysky se rozptyluje množství energie, jež odpovídá zdílu enthalpie uvnitř kanálu, kde dochází k spádu vzduchu vyjádřené tímto vztahem:

$$\frac{dE}{dt} = \frac{dm}{dt}(i_2 - i_1)$$

rozdíl enthalpií vzduchu je popsán takto:

$$i_2 - i_1 = -c_p T_1 \left(1 - \frac{T_1}{T_2} \right) \text{ kde } c_p = \frac{\kappa R}{\kappa-1}$$

T_1 . . . teplota vzduchu v trysce 293K

T_2 . . . teplota vzduchu u ústí trysky

R . . . stavová konstanta $287 \text{ J.kg}^{-1}.\text{deg}^{-1}$

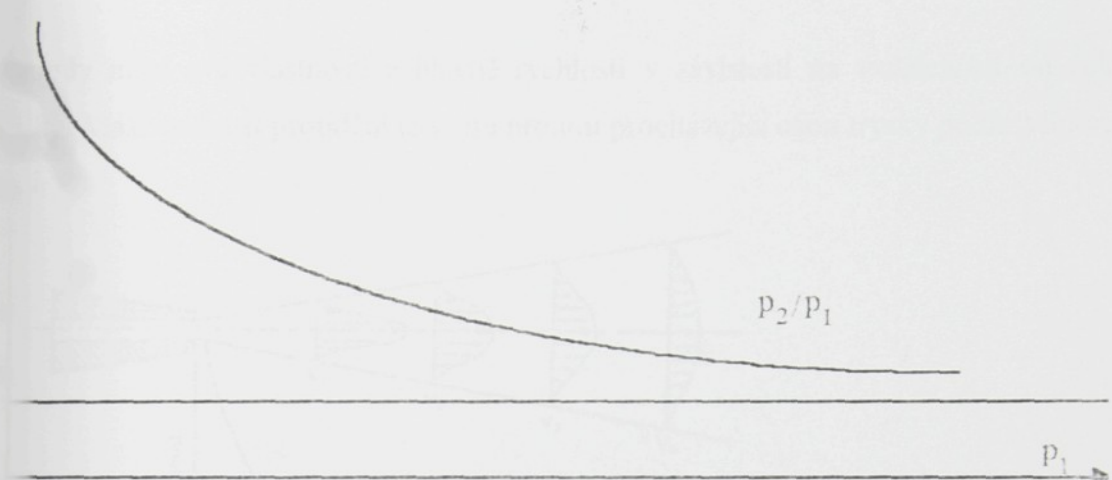
Rozptylem energie se vytvoří rychlostní výška tj. rychlostní energie vytékajícího vzduchu výstupní rychlosti, která je dána vztahem:

$$v_{\infty} = \varphi v_{\text{lim}} \sqrt{1 - \left(\frac{p_2}{p_1} \right)^{\frac{\kappa-1}{\kappa}}}$$
$$v_{\text{lim}} = \sqrt{\frac{2\kappa RT_1}{\kappa-1}} = \sqrt{2c_p T_1} = 780 \text{ ms}^{-1}$$

v_{lim} . . . limitní rychlosť proudění v trysce. Závisí jen na teplotě T_1 v trysce respektive na enthalpii $i_1 = c_p T_1$

U konvergentní trysky, kterou jsme používali při našich experimentech docházelo k výfuku v nejužším místě trysky. Tam se vytvářejí kritické podmínky jako třeba kritický tlak p_k , kritická teplota T_k a kritická rychlosť. Subsonická tryska má zužující se profil, kde narůstá tlak na kritickou hodnotu a z ní vyexpanduje do volného prostředí.

perimentálně byl zjištěn poměr výstupního a vstupního tlaku , který postupně k poměru $\frac{p_2}{p_1} = 0,523$ a tento poměr je kritický a neměnitelný



Poměr vstupního a výstupního tlaku

V případě, že vstupní tlak p_1 je 2x větší než výstupní tlak p_2 platí:

$$p_{krit} = p_1 \left(\frac{2}{\gamma-1} \right)^{\frac{1}{\gamma-1}} = 0,523 p_1$$

To znamená, že není účelné zvyšovat vstupní tlak do trysky nad 2x tlak ovzduší, se nevyužije a vyexpanduje mimo trysku a pak nebude mít žádný vliv na zvyšování proudění. Dosazením předcházejícího vztahu do rovnice výstupní rychlosti z trysky má opravný výraz pro tuto rychlosť:

$$v_{po} = \varphi v_{lim} \sqrt{1 - \left(\frac{0,523 p_1}{p_2} \right)^{\frac{1}{\gamma-1}}} = \varphi 340 [ms^{-1}]$$

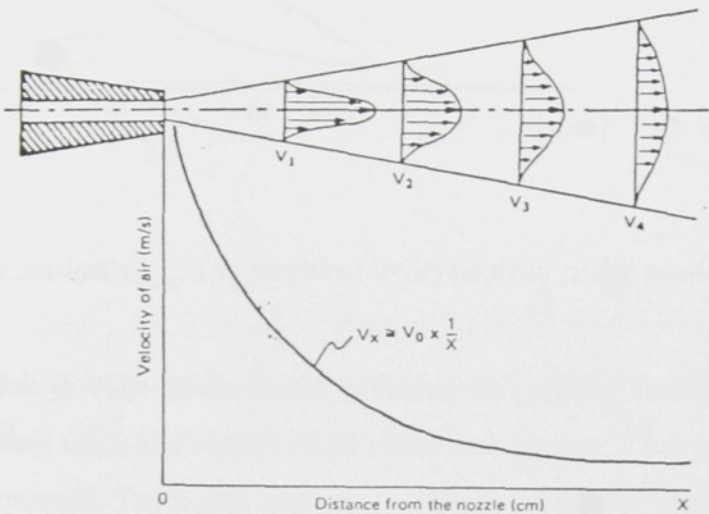
φ ... součinitel výtokových ztrát $\varphi < 1$

p_1 ... vstupní tlak do trysky

U teoretické Lavalové divergentní trysky, kde vstupní tlak je stejný jako tlak v okolí, je jasné, že zvyšování vstupního tlaku p_1 ovlivňuje výstupní rychlosť jak proudění tak. Pro extrémní hodnoty p_1 můžeme vyfukovat vzduch rychlosťí:

$$v_{po} = \varphi v_{lim} = \varphi 780 [ms^{-1}]$$

Proud mění své vlastnosti a hlavně rychlosť v závislosti na vzdálenosti od čela hlavní trysky. Max. rychlosť proudění je v ose proudu procházející osou trysky podle Minoru Ishida platí



Obr.9 Rozdělení axiální rychlosť

Rychlosť proudu vzduchu se snižuje jak se zvětšuje vzdálenost od hlavní trysky, jak je znázorněno na obr (9), kde platí $v_1 > v_2 > v_3 > v_4$. U Abramoviče platí vztahem rychlosť v ose prudění:

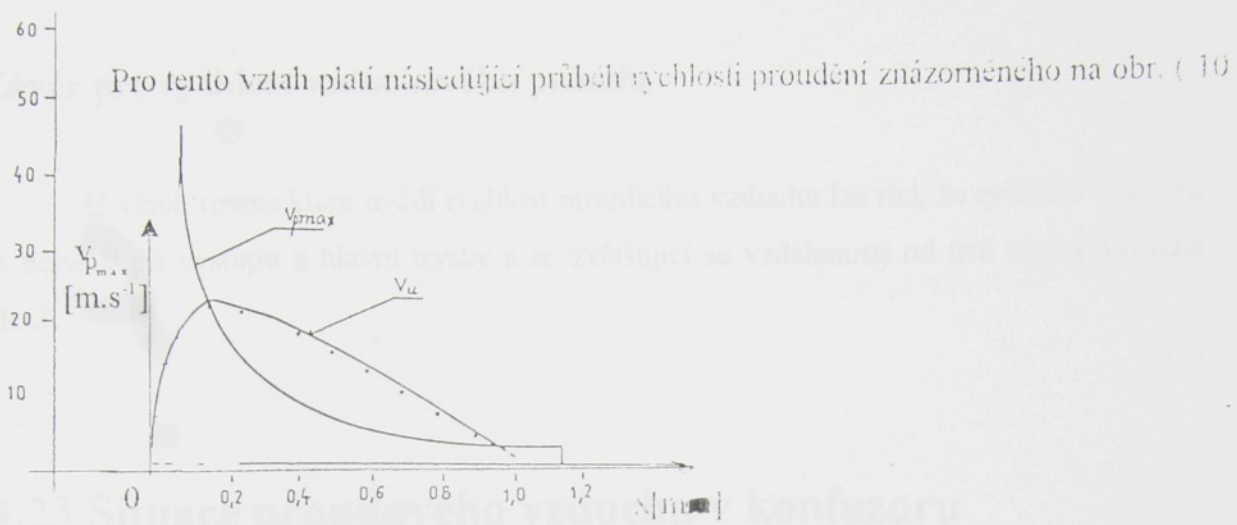
$$v_{pmax} = v_{po} \frac{0.96}{a \frac{x}{R_0} + 0.29} [ms^{-1}]$$

V_{po} ... počáteční rychlosť proudu [ms^{-1}]

x ... vzdálenost od ústí trysky [m]

a ... experimentálně stanovený koeficient pro válcovou trysku (0,07-0,08)

R_0 ... polomér trysky [m]



Obr. 10 Závislost $v_{p_{\max}}$ a v_u (rychlosť útku) na vzdálenosti proudění

Jak je vidieť podle těchto průběhů, že rychlosť vzduchového prudu je značne vyšší než rychlosť útku, aby se útek mohl výbeč rozběhnout. Útek na začátku prohozu se zrychluje a pak zpomalí. Počáteční průběhy rychlosťi proudu a útku mají obrácené chování tedy rychlosť proudu vzduchu klesá, když se příze rozběhne a jeho rychlosť střměji roste. Rozdíl těchto dvou rychlosťi vyjadřuje relativní rychlosť, kde rychlosť čela útku je nižší než rychlosť čela proudu a tento rozdíl je podstatnou podmíinkou vzniku tahu útku

$$v_R = v_p - v_u$$

V dané vzdálenosti od hlavní trysky v_R bude nulová, to znamená, že rychlosť útku je stejně velká jako rychlosť proudu a se zvětšující délkou od čela trysky bude mít zápornou hodnotu. Protože když útek doletí celou šíří tkaniny pomalejí jeho rychlosť se ztrácí odporem vzduchu. V důsledku setrvačnosti letící útek nezpožděje hned, ale později a mohly by se v tomto případě vytvářet kličky.

Obr. 11 Znázornení působení síl na částici vzduchu dle v průběhu

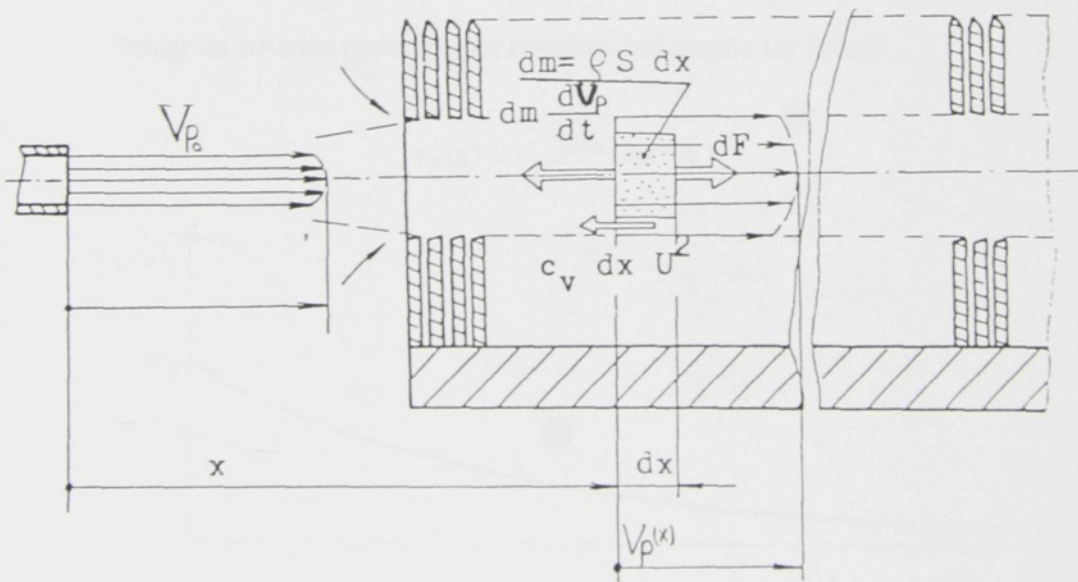
Závěr pro rychlosť vzduchového proudu

U všech rovnic, ktoré uvádajú rýchlosť pravidelného vzduchu lze povedať, že rýchlosť vzduchu je najväčšia pri výstupe z hlavného trysky a sa zväčšujúci se vzdialenosťou od ústia trysky výrazne klesá.

4.23 Situace proudového vzduchu v konfuzoru

Kromě zanešení špičky útku do konfuzoru je časťice vzduchu dm , ktorá sa zanáší nějakou rýchlosťou $v_p(x)$. Zkusíme vyriešiť túto otázku matematickým výpočtom a zkoumat, ako sa chová vzduch v prohnoznom kanálu a ako sa mení rýchlosť jeho pravidelní. Za predpokladu, že v konfuzoru nedochádzí prakticky ke ztrátam.

Na časťici vzduchu o hmotnosti $dm = \rho S dx$ pôsobia rôzne sily - tahové, odporové a setrvační.



Obr.11 Znázornenie pôsobiacich sil na časťici vzduchu dm v prohnoznom kanálu

Pro pohyb částice vzduchu platí tato pohybová rovnice:

$$dF - c_v dx V_p^2(x) - \rho S dx \frac{dv_p}{dx} = 0$$

dF ... tahová síla působící na útek. V našem případě je nulová ($dF=0$)

$c_v dx V_p^2(x)$... odporová síla způsobená konfuzorem

$\rho S dx \frac{v_p(x)}{dx}$... setrvační síla působící na částici vzduchu

c_v ... koeficient odporu proti pohybu vzduchu [kg.m^{-2}]

dx ... rozměr částice vzduchu [m]

v_p ... rychlosť proudění [m.s^{-1}]

ρ ... hustota vzduchu [kg.m^{-3}]

S ... průřez proudu [m^2]

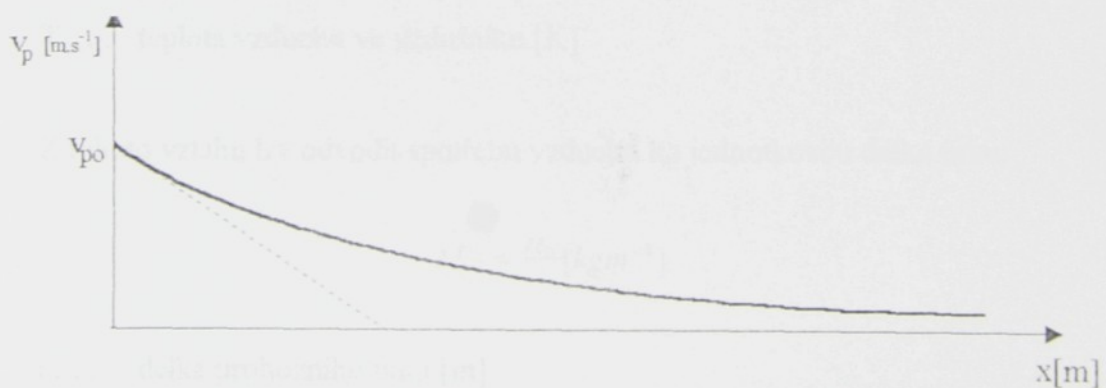
$$\frac{dv_p(x)}{dx} = \frac{1}{2} \frac{dv_p^2(x)}{dx} \quad \text{a} \quad \beta = \frac{\rho C}{c_v}$$

po dosazení a úpravě plyne

$$\frac{dv_p^2}{dx} + 2\beta v_p^2(x) = 0$$

Integrací rovnice předcházející rovnice dostaneme tot řešení:

$$v_p(x) = v_{po} e^{-\beta x} [\text{ms}^{-1}]$$



obr.12 Průběh rychlosti proudění vzduchu v konfuzoru

Prohozní rychlosť vzduchu $v_p(x)$ klesá exponenciálne avjisté vzdáenosť od hlavnej trysky dosáhne limitnú hodnotu v_{\lim} pri níž Reynoldsovo číslo dosáhne kritické nízké hodnoty Re_k , ktorá je daná kvalitou konfuzoru. Hodnota Re_k odpovídá rozpadu proudu vzduchu a tím i ztrátē tahu vzduchu v útku.

$$Re_k = \frac{v_{\lim} d}{\nu}$$

v_{\lim} ... limitná rychlosť vzduchu [m.s^{-1}]

d ... průměr otvoru konfuzoru [m]

ν ... kinematická vazkost vzduchu [$\text{m}^2 \cdot \text{s}^{-1}$]

4. 24 Spotřeba vzduchu na jeden prohoz

V práci (4) bol popsán a sestaven zjednodušený vzťah pre spotrebú vzduchu pri každém prohoze na základe poklesu tlaku

$$M_{vz} = \frac{V_{vz} \Delta P}{RT} [\text{kg}]$$

V_{vz} ... objem vzdušníku [m^3]

ΔP ... pokles tlaku pri prohoze [Pa]

R ... plynová konstanta [$\text{J} \cdot \text{kg}^{-1} \cdot \text{K}^{-1}$]

T ... teplota vzduchu ve vzdušníku [K]

Z tohto vzťahu lze odvodit spotrebú vzduchu na jednotkovou dĺžku útku:

$$M'_{vz} = \frac{M_{vz}}{l} [\text{kg m}^{-1}]$$

l ... dĺžka prohozniho útku [m]

Pilipenková mohla sestaviť teoretický vzťah pre vypočítanie spotreby vzduchu na jeden prohoz, v prípade, že jde o izotermickou expanzi vzduchu z hlavnej trysky:

$$M_{vz} = \frac{p_1 V_t}{RT} [1 - e^{-ct_p}] [kg]$$

p_1 . . . vstupní tlak do trysky [Pa]

V . . . objem vzdušníku [m^3]

T . . . teplota vzduchu ve vzdušníku [K]

t_p . . . čas prohozu [s]

c . . . konstanta, kde $c = \sqrt{RT} \Psi S_t$

R . . . plynová konstanta vzduchu [$J \cdot kg^{-1} \cdot K^{-1}$]

ψ . . . rychlostní součinitel [1]

S_t . . . plocha průřezu trysky [m^2]

4.3 Pohyb útku v proudu vzduchu

4.31 Teoretické řešení pohybu útku ve vzduchovém proudu

Teoretické řešení pohybu útku v proudu vzduchu na pneumatickém stavu není snadná záležitost, a proto optimálnější cesta k řešení tohoto problému je kombinace teoreticko-experimentálního způsobu, který vychází ze sestavení pohybové rovnice pohybu útku.

4.311 Pohybová rovnice útku v proudu vzduchu

Pohyb útku v proudu vzduchu byl podle matematického modelu stanoven následující rovnicí: [3]

$$m\alpha = \frac{1}{2} [c_1 l_1 (v_1 - v_t)^2 + c_2 l_2 (v_2 - v_t)^2 + \frac{v_{p_k}(x) - v_t}{|v_{p_k}(x) - v_t|} c_3 N (v_{p_k}(x) - v_t)^2 - c_0 l_0 v_t^2] - F_1$$

m . . . celková hmotnost pohybujícího útku od místa strhu z bubníku odměřovače až po celém konfuzoru.

$$m = \mu(l_b + l_0 + l_1 + l_2 + x) [kg m^{-1}]$$

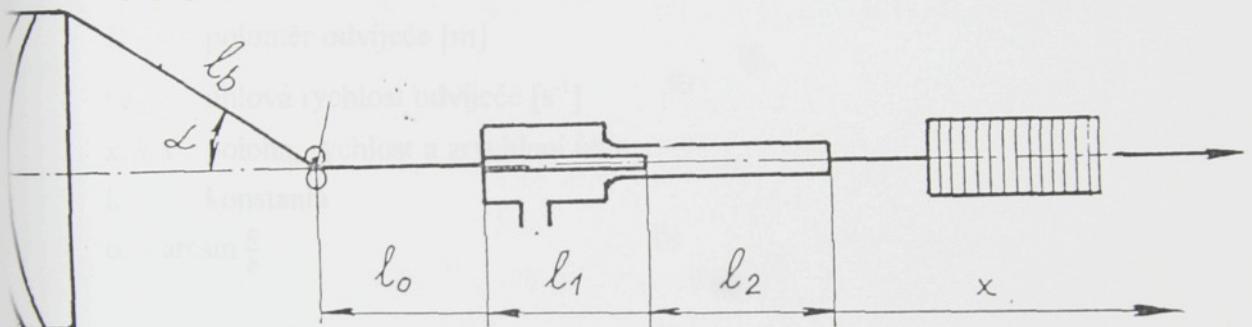
μ . . . hmotnost délky 1m útku [$kg \cdot m^{-1}$]

a . . . zrychlení útku [$m \cdot s^{-2}$]

l_0 . . . délka útku od očka k vstupu do hlavní trysky [m]

l_1 . . . délka útkové trubice hlavní trysky [m]

- l_2 ... délka výstupní trubice hlavní trysky [m]
 x ... délka útku v prohozním kanálu [m]
 l_b ... délka útku od odměřovače k očku před hlavní tryskou [m]
 v_1 ... rychlosť vzduchu v dĺžke l_1 [m.s^{-1}]
 v_2 ... rychlosť vzduchu v dĺžke l_2 [m.s^{-1}]
 v_{pk} ... rychlosť vzduchu v kanále konfuzoru [m.s^{-1}]
 c ... konstanta podľa Bernoulliho rovnice
 v_i ... rychlosť útku [m.s^{-1}] v danej i^{te} ťažné vzdialosti od očka [m]
 F_1 ... síla útku pred hlavní tryskou [N]
 $c_0, c_1, c_2, c_k \dots$ odporové koeficienty proti pohybu útku



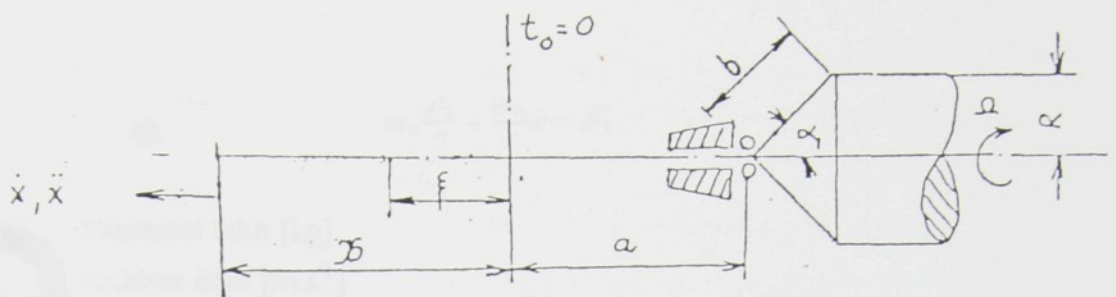
Obr.13 Schéma pohybu útku

Řešení pohybu útku podle této rovnice je tak složité, že nevychází ve tvaru elementárních funkcí. Za předpokladu, že útek neprodloužitelný a dokonale ohebný v proudu vzduchu je ustálen v místě x a je určen rychlosťí $v(x)$. Koloc sestavil složitější pohybovou rovnici popsanou tímto vztahem:

$$(a + b e^{j\alpha_1} + x) \ddot{x} + e^{j\alpha_1} (\dot{x}^2 e^{\frac{j\alpha_1}{f^2}} + \frac{1}{2} (\dot{x} - R\Omega)^2) + k(a + x) \dot{x} = k \int_{-x}^x v(x) dx$$

Řešení této rovnice je tolik komplikované, že se nedá odvodit charakteristicky parametry letícího útku jako např rychlosť útku.

Přesnější a lehčí výpočet rovnice pro pohyb útku v kanále je možný pouze v rámci numerických metod. Za předpokladu, že útek je hladce zakončený, lze ho rozdelenit na řadu krátkých úseků a vzhledem k zlomku délky rychlosť proudění je možné



Obr.14 Schéma pohybu útku podle rovnice Koloce

a . . . vzdálenost konce útku v čase $t=0$ od vodíciho očka [m]

b . . . vzdálenost vodíciho očka od hrany odviječe [m]

f . . . součinitel tření mezi očkem a útkem

R . . . poloměr odviječe [m]

Ω . . . úhlová rychlosť odviječe [s^{-1}]

x, \dot{x}, \ddot{x} . poloha, rychlosť a zrychlení útku

k . . . konstanta

$$\alpha = \arcsin \frac{R}{b}$$

4.312 Pohybová rovnice útku v konfuzoru

Pro zkoumání pohybu útku v konfuzoru má důležitý význam z hlediska chování útku v procesu tkání na pneumatickém tkacím stroji.

Teoretické řešení

Duxbomy-Lord a Vaswani zkoumali základní problémy vzduchového prohozu útku a došli k závěru, že rozhodující prvek je tryska.

Pilipenková a kolektiv sestavili rovnici pro pohyb tělesa s měnící se hmotou ve vzduchovém proudu. Za předpokladu, že útek je homogenní neprodlužitelný a je pohybující se v ose proudového vzduchu kde rychlosť proudění je maximální:

$$m_u \frac{d^2x}{dt^2} + \frac{dm_u}{dt} \dot{x} = F_t$$

m_u ... hmotnost útku [kg]

\dot{x} ... rychlosť útku [$m.s^{-1}$]

x ... dĺžka útku [m]

F_t ... výsledná síla pôsobiací na útek [N]

Uno Minory podal účelnnejší pohľad na prohoz útku, ve ktorém bolo uvažováno vliv odporových sil odměřovacích zařízení a vliv prohozního kanálu. Sestavil pohybovou rovnici útku:

$$\frac{d}{dt}(m_u \dot{x}) = \int dF_t - S_0$$

dF_t ... elementárni tahová síla pôsobiací na útek [N]

S_0 ... odporové sily pôsobiací proti zanešeniu útku [N]

Nosák uvedl, že by bolo vhodné odvodiť pohybovou rovnici útku z Lagrangeovej rovnice II. rádu. Protože hmota útku v prohoznej dráze raste úmernie s dĺžkou unášeného útku, jehož sa obtekana dĺžka zmene a tím i zmene kinetické energie neboť všetky časťice útku o dĺžke x a merné dĺžkové hmotnosti μ majú stejnou rychlosť $v_i(x)$.

Pohybová rovnica útku vycházejúca z Lagrangeovej rovnice:

$$\frac{d}{dt} \left(\frac{\partial E}{\partial v_i} \right) - \left(\frac{\partial E}{\partial x_i} \right) + F_0 + F_t = F$$

$$E = \frac{1}{2} \mu(x_0 + x) v_i^2(x) \dots$$

$$F_0 = k_0 v_i^2(x) \dots$$

kinetická energia prohozneho útku [$kg.m^2.s^{-2}$]

odpor odvječe [N]

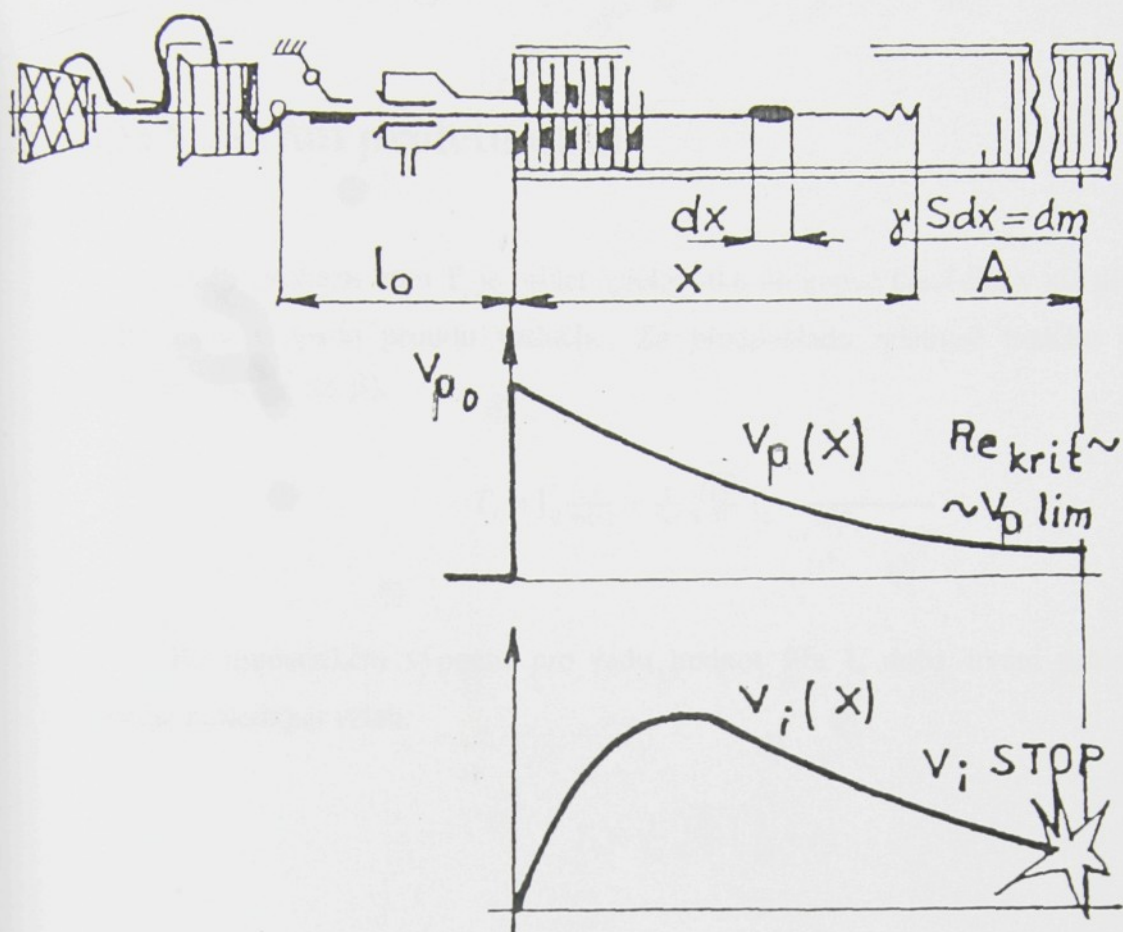
$F_t = c_R(x_0 + x)v_i^2(x) \dots$	odpor proti pohybu útku v důsledku zachycování odstávajících vláken do lamel konfuzoru nebo z vlivu turbulence [N]
$F = \frac{\alpha}{2\beta}v_{p_0}^2(1 - e^{-2\beta x}) \dots$	tah proudu vzduchu působící na útek [N]
$\mu \dots$	měrná délková hmotnost útku [kg.m^{-1}]
$x_0 \dots$	délka útku od očka odměřovače až po výstup z hlavní trysky [m]
$x \dots$	délka útku v prohozním kanálu [m]
$v_i(x) \dots$	rychlost útku [m.s^{-1}]
$k_0 \dots$	koeficient odporu odviječe [kg.m^{-1}]
$c_R \dots$	koeficient odporu průletu útku prohozním kanálem [kg.m^{-2}]
$\alpha \dots$	činitel tahu proudícího vzduchu na útek [kg.m^{-2}]
$\beta \dots$	činitel poklesu rychlosti vzduchu v proudu [m^{-1}]
$v_{p_0} \dots$	počáteční rychlosť [m.s^{-1}]

Po dosazení a úpravách rovnice bude platit následující vztah:

$$\frac{dv_i^2}{dx} + \left(\frac{2c_R}{\mu} + \frac{1}{l_0+x}\right)v_i^2 = v_{i0}^2 \frac{\alpha}{\beta\mu} \frac{1-e^{-2\beta x}}{l_0+x}$$

Řešením této rovnice za předpokladu, že počáteční podmínky $v_i=0$ a $x=0$ dostaneme přímou závislost rychlosti útku na prohozní délce:

$$v_i(x) = v_{i0} \sqrt{\frac{\alpha}{\beta\mu}} \sqrt{\frac{1-e^{-2\frac{c_R}{\mu}x}}{2\frac{c_R}{\mu}x} + \frac{1-e^{-2\beta x}}{-2\beta x}} = v_{i0} \sqrt{\frac{\alpha}{\beta\mu}} \sqrt{e^{-k_1 x} \left[\frac{1-e^{-(k_1-2\beta)x}}{(k_1-2\beta x)} - \frac{1-e^{k_1 x}}{k_1 x} \right]} \quad \text{kde } k_1 = \frac{2c_R}{\mu}$$

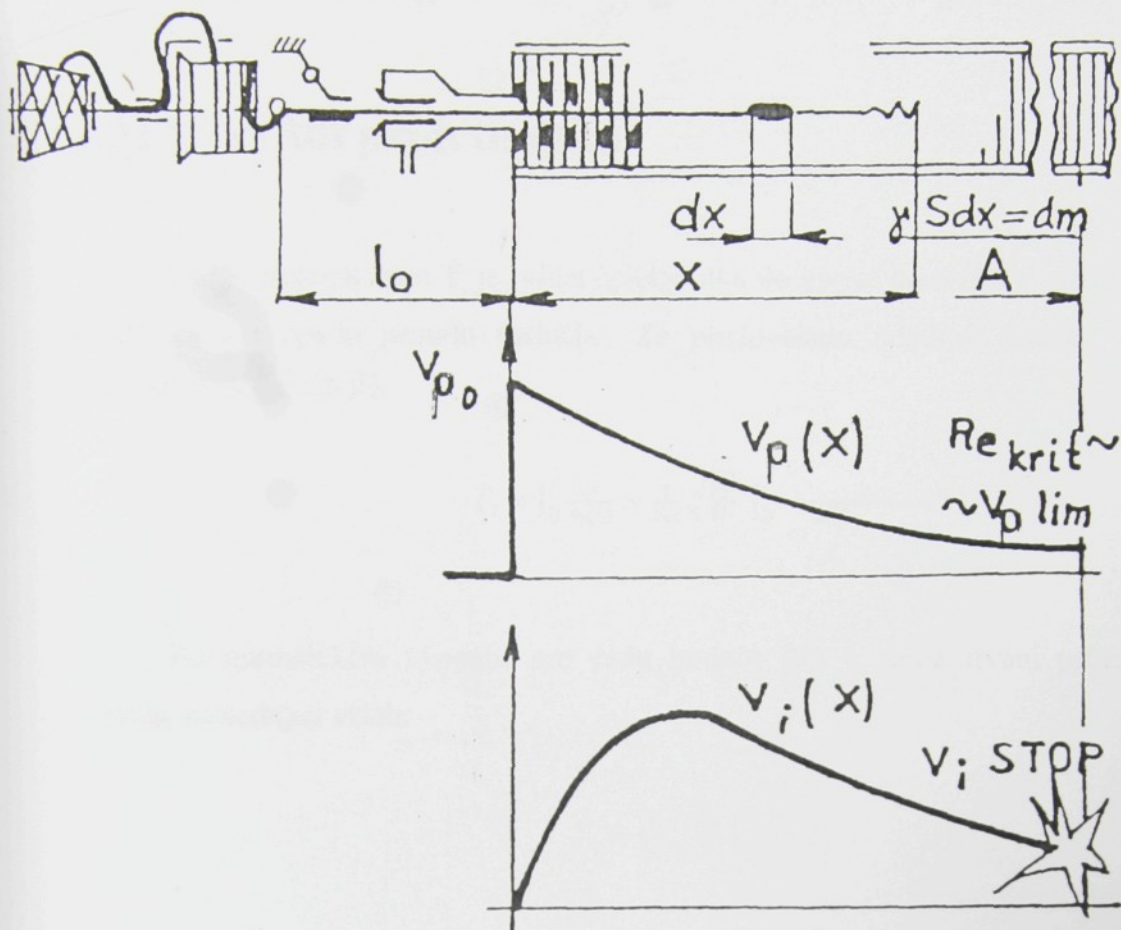


Obr.15 Schema tryskového prohozu a průběhy unašecí rychlosti vzduchu $v_p(x)$
a rychlosť prohozeného útku $v_i(x)$.

Průběh rychlosťi útku ukazuje, že na začátku prohozu $v_i(x)$ strměji narůstá až do určitého maxima a pak začne klesat zatímco rychlosť vzduchu od počátku prohozu se snižuje až dosáhne kritické hodnoty $v_{p\text{lim}}$:

$$v_i(x) = v_{p0} \sqrt{\frac{\alpha}{\beta\mu}} \sqrt{\frac{1 - e^{-2\beta(x-l_0)} [1 + 2\beta(x-l_0)] e^{-2\beta l_0}}{2\beta(x-l_0)}}$$

Z uvedených teoretických vztahů a rovnic pojednávajících o vzduchovém prohozu útku vyplývá, že popis pohybu útku diferenciálnimi rovnicemi neposkytuje dostatečné informace o skutečném pohybu útku v konfuzoru. Až do současnosti ještě nebyla dokonale vypracována rovnice a teorie, které by shrnuly veškeré poznatky o vzduchovém prohozu útku a poskytují využití informací jak pro výrobce, tak pro uživatele, a proto se musíme tímto problémem více zabívat.



Obr.15 Schema tryskového prohozu a průběhy unašecí rychlosti vzduchu $v_p(x)$
a rychlosť prohozeného útku $v_i(x)$.

Průběh rychlosťi útku ukazuje, že na začátku prohozu $v_i(x)$ strměji narůstá až do určitého maxima a pak začne klesat zatímco rychlosť vzduchu od počátku prohozu se snižuje až dosáhne kritické hodnoty $v_{p\lim}$:

$$v_i(x) = v_{p0} \sqrt{\frac{\alpha}{\beta\mu}} \sqrt{\frac{1 - e^{-2\beta(x-l_0)} [1 + 2\beta(x-l_0)] e^{-2\beta l_0}}{2\beta(x-l_0)}}$$

Z uvedených teoretických vztahů a rovnic pojednávajících o vzduchovém prohozu útku vyplývá, že popis pohybu útku diferenciálnimi rovnicemi neposkytuje dostatečné informace o skutečném pohybu útku v konfuzoru. Až do současnosti ještě nebyla dokonale vypracována rovnice a teorie, které by shrnuly veškeré poznatky o vzduchovém prohozu útku a poskytují využití informací jak pro výrobce, tak pro uživatele, a proto se musíme tímto problémem více zabívat.

4.313 Trvání průletu útku

Doba prohozu útku T_i je průlet špičky útku do konce tkací šíře v níž předpokládáme krajní místo rozpadu proudu vzduchu. Za předpokladu relativně malého odporu proti porhybu útku ($\frac{c_R}{\mu} \leq \beta$).

$$T_i = \int_0^l \frac{dx}{v_i(x)} = \frac{1}{v_{i0}} \sqrt{\frac{\beta \mu}{\alpha}} \int_0^l \frac{dx}{\frac{1 - e^{-2\frac{c_R}{\mu}x}}{1 - e^{-2\frac{c_R}{\mu}l}}}$$

Po numerickém výpočtu pro řadu hodnot šíře l , doba trvání průletu bude mít opravný následující vztah:

$$T_i = \frac{1}{v_{i0}} \sqrt{\frac{\beta \mu}{\alpha}} \left(\frac{5}{2\beta} + l \right)$$

T_i ... trvání prohozu [s]

μ ... měrná délková hmotnost příze [kg.m^{-1}]

β ... činitel ztrát rychlosti proudu vzduchu v konfuzoru

l ... prohozní šířka $1\text{m} < l < 1,65\text{m}$

Trvání prohozu T_i je nepřímoúměrné prohozní rychlostí vzduchu a narůstá s prohozní šíří l .

4.32 Význam tahové síly v útkové niti

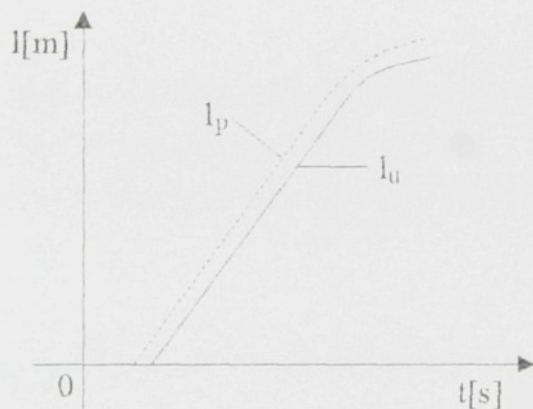
Kdyby byla útková nit při tryskovém prohozu vzduchovým proudem pouze unášena a měla by stojnou rychlosť jako proud pracovního média nebylo by v tomto útku žádné napětí. Útek by se vlnil, tvořily by se kličky a celý prohoz by byl nejistý. A proto je zapotřebí tažné síly která tyto napětí v útku vyvolá a po celou dobu prohozu udržuje.

Zavedené termíny čela útku a čela trysky proudu v průmyslovém výzkumu jejichž význam byl vyjádřen, tím že rychlosť čela proudu vzduchu je větší než rychlosť čela útku.



$$v_z = v_p - v_x [m s^{-1}]$$

Experimentální metodou se dala určit závislost mezi čelem proudu a čelem útku na čase a podle (1) byl sestaven tento průběh:



Obr.16 Dráha čel proudu a útku

Při prohozu tryskou je tah v útku vyvolán vzduchovým proudem. Tento tah je podmínkou k zanesení útkové nitě. Lze říci, že útek je vyvozen třením pracovního média o povr nitě.

4.321 Tahová síla působící na útek

Útek se zanáší do tkaniny u jednoprošlupních strojů jednorázově po celé šíři vysokou rychlostí. Tímto jeho napětí je ovlivněno a výtažek, který v důsledku proměnlivosti unáše v rychlosti není po celé šířce stejný.

Z nauky proudění velikost tažné síly proudící látky působící na částečce útkové příze je úměrná relativní rychlosti mezi prouděním vzduchu a rychlostí útku. Tato síla je závislá na rozměrech útkového tělesa, hustotě vzduchu, jeho vazkosti a na charakteru a drsnosti povrchu útku. Tahová síla působící na útek může mít takovýto tvar:

$$F = \frac{1}{2} c_R v_F^2 S p [N]$$

c_R ... koefficient odporu vzduchu funkci Reynoldsova čísla Re [1]

$\frac{1}{2} v_F^2 \rho$... kinetická energie proudu [$\text{kg} \cdot \text{m}^{-1} \cdot \text{s}^{-2}$]

S ... plocha útku promítnutá kolmo k proudění vzduchu [m^2]

Pilipenková, která věnovala tomuto problému hodně práce uváděla vztah pro výpočet tahové síly působící na část nitě v proudovém vzduchu experimentální metodou v závislosti na tlaku a na druhu materiálu útku. Její rovnice byla sestavena na základě rozdílu mezi rychlosmi proudu vzduchu a útku:

$$F = \frac{1}{2} c_R \rho d_u l_u [v_p(x) - v_t(x)]^2 [N]$$

ρ ... hustota vzduchu [$\text{kg} \cdot \text{m}^{-3}$]

d_u ... průměr útkové nitě [m]

l_u ... délka útku v proudu vzduchu [m]

$v_p(x) - v_t(x)$... relativní rychlosť mezi proudem vzduchu a útkem [$\text{m} \cdot \text{s}^{-1}$]

Koeficient čelního odporu c_R není tak konstantní, ale je závislý na Reynoldsovou číslu tzn. na proudícím režimu. Také záleží na geometrickém tvaru povrchu útku a na jeho průměru. Čím je větší průměr útku tím je menší hodnota c_R při stejných hodnotách rychlosti proudění vzduchu.

Na základě toho Pilipenko uváděl výpočet působící síly na elementu útku dx v proudovém vzduchu:

$$dF = \frac{1}{2} \rho d_u c_R [v_p(x)]^2 dx [N]$$

Tahová síla je dána integrálem předcházejícího vztahu podle obtékané délky útku L :

$$F = \frac{1}{2} \rho d_u \int_0^L c_R(Re) [v_p(x)]^2 dx [N] \quad \text{kde } Re = \frac{v_p d_u}{\nu}$$

U vzduchového tryskového tkacího stroje je útek vystřelený z trysky zanášen rychlosí závislou na odporu, který na něj působí v důsledku tření. Fletcher dospěl k zjištění odporu vzduchu a popsal další vztah, který má platnost jen v případě že-li rychlosť proudu vzduchu nad $18,3 \text{ ms}^{-1}$.

$$F = k d_u v_p^2 [\text{g cm}^{-1}]$$

F . . . odpor vzduchu [g.cm^{-1}]

d_u . . . průměr jádra příze [μm]

v_p . . . rychlosť proudu vzduchu [m.s^{-1}]

k . . . koeficient závisí na druhu používané příze a pohybuje se od 1,5 pro příze z nekonečných vláken, až po 11,2 pro jednoduchou předenou přízi

Bude-li útek jako pohybující se odstřížek v proudu vzduchu, musíme brát v úvahu jeho rychlosť a pak tahová síla vyvolaná proudem vzduchu bude mít následující tvar:

$$F = \frac{1}{2} c_R d_u l_u [v_p(x) - v_t(x)]^2 [N]$$

Jiní odborníci uvedli jiný vztah tahové sily proudu vzduchu pro stejnou délku útkové příze:

$$F = f \rho d_u l_u [v_p(x) - v_t(x)]^2 [N]$$

f ... koeficient tření [1]

ρ ... hustota vzduchu [kg.m^{-3}]

l_u ... délka útku [m]

U Noska tah proudu působící na útek byl odvozen z pohybové rovnice, která byla dána vztahem:

$$\frac{d}{dt} \left(\frac{\partial E}{\partial v_t} \right) - \left(\frac{\partial E}{\partial v_t} \right) + F_0 + F_t = F$$

Tahová síla byla určena integrálem dílčích sil podél obtékané délky x vstupující do proudu vzduchu:

$$F = \int_x dF = \int_x \alpha [v_p(x) - v_t(x)]^2 = \int_x \alpha [v_{p0} e^{-\beta x}]^2 dx$$

po opravě

$$F = \frac{\alpha}{2\beta} v_{p0}^2 (1 - e^{-2\beta x})$$

α ... součinitel tahu proudícího vzduchu na útek [1]

β ... součinitel poklesu rychlosti vzduchu v proudu [m^{-1}]

v_{p0} ... počáteční rychlosť proudu [m.s^{-1}]

x ... délka útku v proudovém vzduchu [m]

Z těchto vztahů vyplívá, že tažná síla působící na útek při tryskovém prohozu je funkcí několika parametrů jako čtverce relativní rychlosti, drsnosti, délky útkové nitě a vazkosti pracovního media, která je velmi závislá na teplotě. Se zvětšující se vazkostí se tažná

síla zvyšuje. Tahová síla je tím vyšší, čím je povrch útkové nitě drsnější. Výrazně se projeví u vzduchového prohozu vzhledem k malé vaznosti proudícího vzduchu.

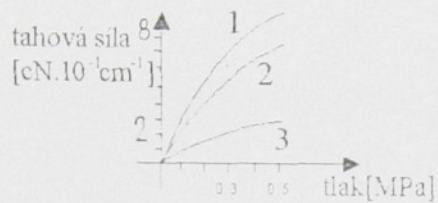
4.322 Tahová síla a její efektivní rozsah

Je známo, že rychlosť proudu vzduchu se snižuje v závislosti na oddálení od hlavní trysky. Hlavní odporová síla působící na útek je vyvolaná třením mezi proudícím vzduchem a povrchem útku. A proto, aby útkové nitě nezpomalily, musí být vždycky rychlosť proudu větší než rychlosť útku.

Podle experimentu provedeného v Japonsku v letech 1982 Ishida uvedl, že hnací síla působící na útek se zvyšuje podle délky prohozené z hlavní trysky a to je zřejmé. Dosažené výsledky potvrzují co bylo řečeno s vyjimkou, že neplatí pro celou šířku konfuzoru, jen pro určité vzdálenosti od trysky kde se tahová síla nezvyšuje. Tato skutečnost definuje tento účinný rozsah proudového vzduchu pro zanášení útkové příze. Po určité vzdálenosti se hnací síla působící na vedoucí konec příze snižuje poklesem rychlosťí vzduchu. Proto se v nějaké vzdálenosti po proudu vzduchu začne zadní konec útku pohybovat rychleji než vodící část. Tento jev se projevuje právě při našem měření, které jsme prováděli.

4.323 Závislost tahové síly na tlaku vzduchu

V Curychu (Švýcarsko) na Technické Vysoké Škole byly provedeny experimentální zkoušky a tam dospěli k výsledkům uvedeným na tomto grafu, který uvádí závislost tahová síly působící na útek na tlaku vzduchu.



Obr.17 Tahová síla v závislosti na tlaku vzduchu

křivka 1 . . . bavlna 20tex

křivka 2 . . . mercerovaná bavlna 20tex

křivka 3 . . . hladké hedvábí 167dtex

Tahová síla je ovlivněna počtem filamentů v útkové niti a průměrem útku. Se zvětšením počtu filamentů se zvětšuje tahová síla v útku a čím je větší průměr útku, tím je menší koeficient čelního odporu c_R při stejných hodnotách rychlosti proudění vzduchu. Poklesem c_R se zvětšuje plocha povrchu útku a tímto tahová síla vždycky roste.

4.324 Závislost tahové síly na kmitání útku v proudu vzduchu

Tažné síly a koeficient čelního odporu c_R podle některých autorů jsou spjaty s charakterem kmitání útku v proudu vzduchu a s jeho tvarem a jeho intenzitou, které závisí na

složité struktury vzduchu. Kmitání útku lze pozorovat pomocí stroboskopu a tahové sily se dají registrovat citlivým snímačem. Útek kmitá vznikem víru v proudu vzduchu.

1. Přehled

1.1. Přehled

1.1.1. Význam

1.1.2. Základní pojem

1.1.3. Základní pojmy

1.1.4. Základní pojmy

1.1.5. Základní pojmy

1.1.6. Základní pojmy

1.1.7. Základní pojmy

1.1.8. Základní pojmy

1.1.9. Základní pojmy

1.1.10. Základní pojmy

1.1.11. Základní pojmy

1.1.12. Základní pojmy

1.1.13. Základní pojmy

1.1.14. Základní pojmy

1.1.15. Základní pojmy

1.1.16. Základní pojmy

1.1.17. Základní pojmy

1.1.18. Základní pojmy

5. Praktická část

Řešit otázky jak pohybu útku tak proudění vzduchu není vůbec lehká záležitost a sice teoretické řešení není natolik přesné, a proto je zapotřebí provést experimentální řešení

5.1 Proč měříme rychlosti útkové nitě a tahové síly ?

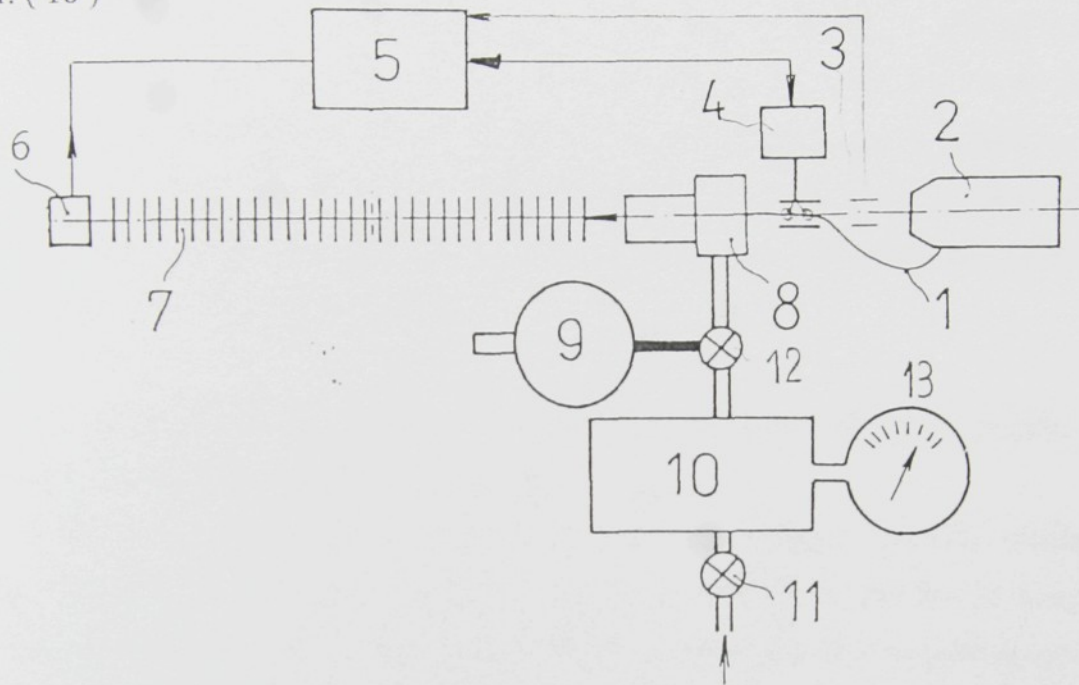
Přesné měření a trvalé studium rychlosti útku a tahové síly vyvolaný prohozním ústrojím je rozhodně jedno z řutných podminek pro spolehlivý vývoj v textilním průmyslu jako celku a pro lepší pochopení a optimalizaci vlastního vzduchového prohozu.

Měření rychlosti prohozu útku na pneumatickém stavu vyplývá z těchto následujících teoretických a praktických potřeb:

- objektivně hodnotit vývojové a výzkumné práce na prohozních ústrojích tryskových tkacích strojů a správně posoudit průběh rychlostí a tažných sil vytvořených při prohozu útku.
- v provozních podmínkách tkalcoven poskytuje se informace pro optimální a stabilní seřízení prohozních ústrojí a odměřovačů a pro celé řízení tkacího stroje.
- poskytovat trvalé informace o průběhu rychlosti útkové nitě kontrolní jednotce tkacího stroje, která na základě této a dalších informací provede kontrolu průběhu zanášení útkových nití, hledá vznik chyb a stanoví jejich místa a velikosti.
- to jsou velice důležité předpoklady, které jsou nezbytné pro vývoj a výzkum.

5.2 Popis měřicího zařízení

Pro měření rychlosti útkové nitě v prohozním kanálu a měření tahových sil působících na útek byla zkonstruována měřicí stolice, jejíž principiální schema je znázorněno na obr. (18)



Obr.18 Experimentální zařízení pro měření rychlosti útku a odtahové sily vyvolané v útku při prohozu

1-útek

2-odvječ

3-tenziometr

4-optoelektronický senzor pro měření rychlosti pohybu útku

5-měřící ústředna a personální počítač

6-optoelektronický senzor pro indikaci času doletu

7-konfuzor

8-hlavní tryska

9-kyvadlo se závažím

10-vzdušník

11-ventil přívodu tlakového vzduchu

12-ventil trysky

13-manometr pro sledování tlaku vzduchu

Mezi odviječem a vkládací tryskou je umístěn optoelektronický senzor, který slouží pro měření rychlosti pohybu útkové nitě. Útek odebíraný ze zásoby na odvječi prochází tímto optoelektronickým senzorem, tryskou a konfuzorem. Pro sledování útková nitě na doletové straně konfuzoru je umístěn druhý optoelektronický senzor japonské firmy OMRON, jehož výstup je připojen na měřící ústřednu. Tento snímač má za úkol indikovat čas doletu útku a vyjádřit ho signálem, který se zpracovává a z něhož se určuje zpoždění útku při vlnění nebo při vytváření kličky.

V případě měření tahových sil bylo použito tenziometru , který byl umístěn mezi odvječem a senzorem pro měření rychlosti nitě.

Podle obr. (18) vzduch je dávkován ze vzdušníku ventilem. Otevírání ventilu bylo zajištěno mechanicky jednorázově pomocí kyvadla se závažím G. Poloha ze které bylo spouštěno kyvadlo pro potřebu řízení doby otevření ventilu trysky byla stanovena optimálně předem tak, aby došlo k doletu útku celým konfuzorem. Přivod vzduchu do hlavní trysky je realizován pomocí zásobníku vzduchu přes ventil trysky. Požadovaný tlak dodávaného vzduchu ve vzdušníku před prohozem zajišťuje ventil přívodu vzduchu a je sledován manometrem s maximální výchylkou 1,6MPa.

5.21 Optoelektronický senzor pro měření rychlosti pohybu nitě

Tento optoelektronický senzor pracuje na principu rozlišení množství odraženého světla od světlých úseků a tmavých úseků nitě. Přípravek byl napájen stejnoměrným stabilizovaným napětím 5V. Tento elektronický člen nám slouží k snímání pohybu útku v okamžicích kdy došlo k přechodu ze světlého úseku do tmavého a naopak. Nit byla obarvena

na úseky po 150mm kde bylo cca 30mm tmavého úseku a zbytek byl světlý, z něhož se odráželo větší množství světla než z tmavé části viz. obr. (19) . Nit byla osvětlena infra LED (light emitting diode) S H 485 P-2 a odražené světlo bylo snímáno infrafototranzistorem IRE5.



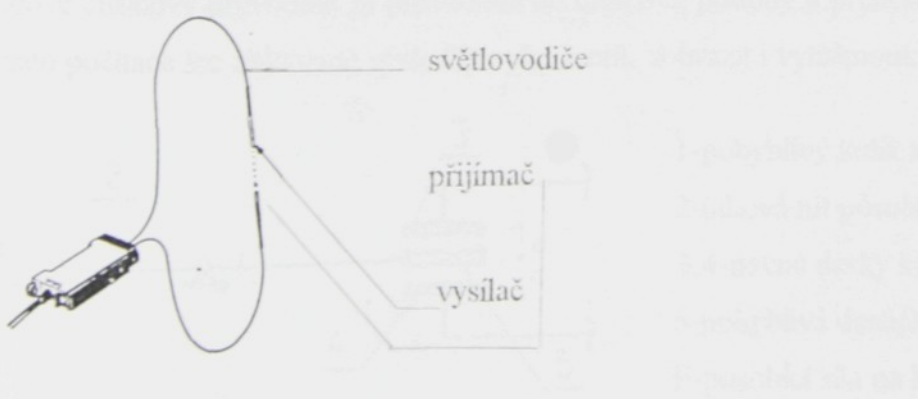
Tmavý úsek ... 30 mm

Světlý úsek ... 120 mm

Obr.19 Obarvená nit po úsecích 150 mm

5.22 Optoelektronický senzor pro indikaci času doletu útku

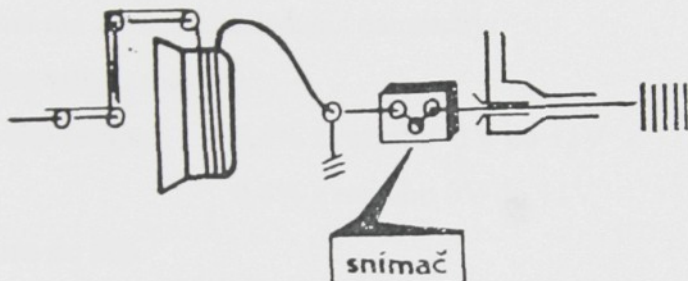
Senzor typu E 3X-A21 japonské firmy OMRON pracuje na optoelektronickém principu. elektronická část je napájena 12V. Přijímač a vysílač světla z elektronické části jsou připojeny ke konci konfuzoru pomocí světlovodičů. Při doletu niti do oblasti čidla se odraží světlo a na výstupu elektroniky se vyšle impuls.



Obr.20 Optoelektronický senzor pro indikaci doletu útku

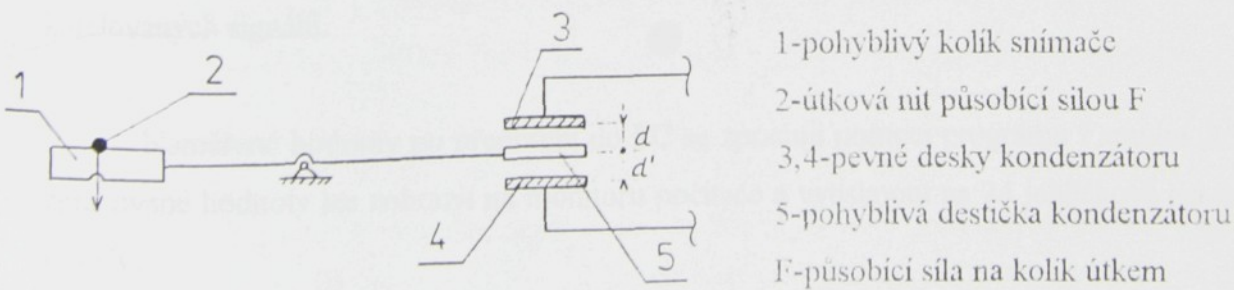
5.23 Tenziometr

Tahová síla působící na útek byla měřena tenziometrem švýcarské firmy ROTOSCHILD umístěném mezi senzorem pro měření rychlosti nitě a odvíječe. Použitý tenziometr je založen na principu kapacitních čidel-snímačů. Nit je navedena v čidle mezi třemi kolíky definovaným způsobem viz. obr. (21) tak, aby vyvozovala tlak na pohyblivý kolík ve směru šipky. Měničím se tahem v útkové niti dojde k vychilení kolíku a sním i pohyblivé destičky mezi pevnými deskami kondenzátoru uvnitř snímače.



Obr.21 Měřící zařízení tahových sil v útku

Do čidla je přivedeno střídavé napětí. Podle vyvolaného tahu útku se mění tloušťka dielektrika viz. obr. (22), čímž se mění také kapacita kondenzátoru. Změna kapacity způsobí změnu výstupního stejnoměrného napětí, které vystupuje do měřicí ústředny a přes analogově číslícový převodník je převedeno do číslicové podoby a přeneseno do paměti PC. Z paměti počítače lze získávané výsledky vyhodnotit, zobrazit i vytisknout.



Obr.22 Schema kapacitního snímače

5.24 Měřící ústředna a zpracování impulsu

Elektrický signál je převeden do měřící ústředny a pak přenesen do paměti počítače kde se dále zpracovává.

Měřící ústředna

Měřící ústředna MU01 umožňuje při použití počítače typy PC záznam, zpracování a tisk max. 16 analogových signálů a výstup max. dvě inkrementální čidel.

Měřící ústředna má základní následující parametry:

- úroveň analogového vstupu $\text{max} \pm 1\text{V}$
- rozlišení analogového vstupu $0,4\%$ z rozsahu -1V do $+1\text{V}$
 $0,8\%$ z rozsahu 0V do $+1\text{V}$
- doba měření od 1ms do 60s
- interval doby měření od $12\mu\text{s}$ do 10s
- kapacita paměti max 260KB

Programování a čtení naměřených hodnot je pomocí počítače seriovou linkou RS 232 C s přenosovou rychlosí $9,6\text{KbD}$. Podpůrný software je napsán v Turbo Pascalu ver. 6.0. Měřící ústředna je řízena jednodeskovým počítačem na bázi Z80. Analogové kanály mají na vstupu vzorkovací zesilovače, což umožňuje navzorkovat všechny vybrané kanály současně do paměťových kondenzátorů a ty pak postupně přečíst. Toto je vhodné při měření korelovaných signálů.

Naměřené hodnoty po přenesení do PC se zpracují pomocí programu Famulus 3.5 a zpracované hodnoty lze zobrazit na monitoru počítače a vytisknout na 24 jehličkové tiskárně LQ570.

5.3 Experimentální měření rychlosti prohozeného útku

Sřední rychlosť útku vypočteme ze známho matematického vztahu, že známé změšenou délku útku l při prohození z dobu struhu níž po celém konfuzoru od ústí hladin trysky a sice je t_s .

$$v_t = \frac{l}{t_s} [\text{m s}^{-1}]$$

l...změšená délka prohozeného útku [m]

t_s...čas prohození útku při kterém letí útek od ústí trysky níž do konce konfuzoru

5.3.1 Měřící metody rychlosti útku

Zvolit experimentální metodu pro měření rychlosťi prohozeného útku je důležité, aby získané výsledky co nejvíce odpovídaly současné úrovni techniky a omezovaly negativní působení použitého měřicího zařízení, na kterém provádime experimenty.

Zvolená metoda spočívala v tom, že jsme naměstali na níž speciální barvu, která má určité charakteristiky vhodné pro textilní materiály a kde koeficient odrazu světla musí být co nejmenší. Bylo vhodnější vybrat bezkontaktnou metodu, protože neznamí řádně odporové sily proti polohu útku při průletu.

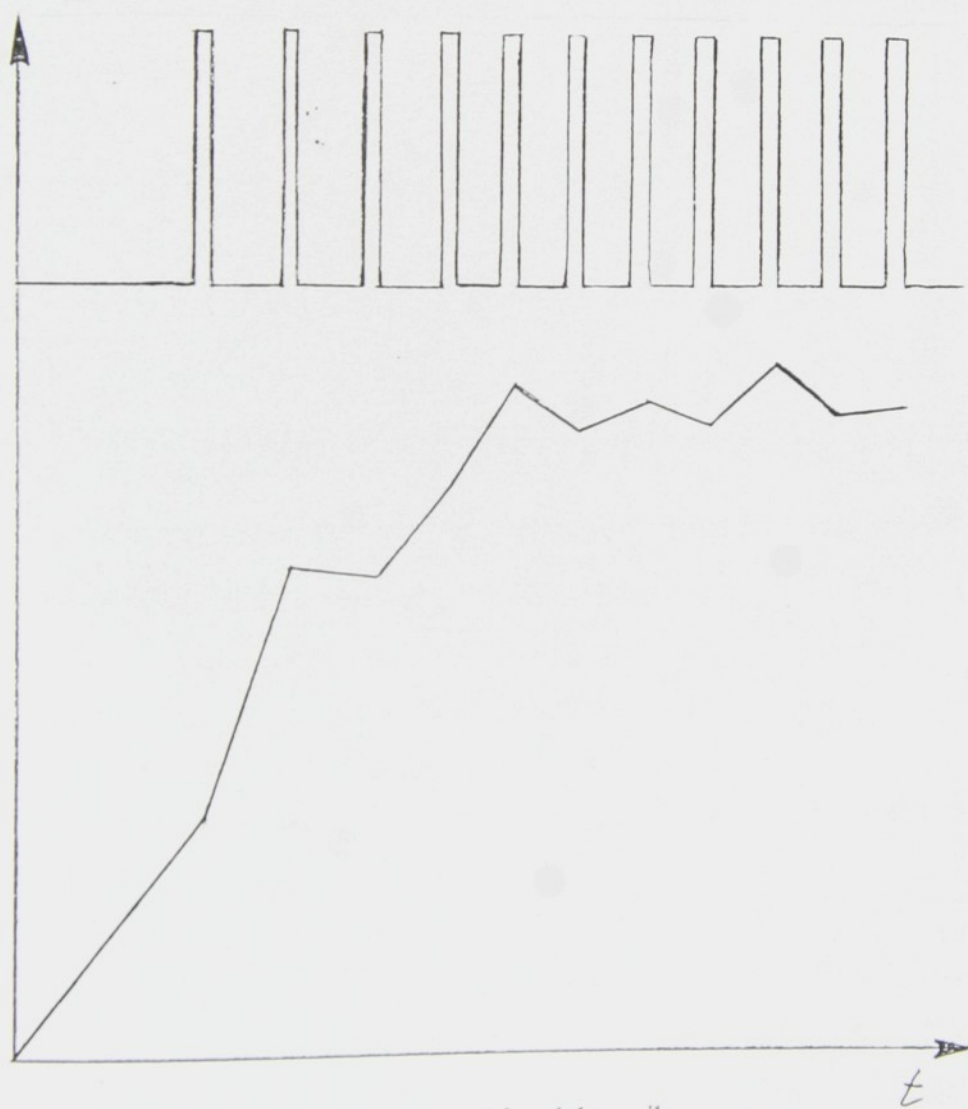
Fotoelektronická metoda měření rychlosťi konfuzoru je založena na zjištění rychlosťi útku z měření času potřebného k překonání určité vzdálenosti v prohozním kanálu.

Znalost pouze střední rychlosť útkové nitě, kterou vypočteme ze změšené délky útku a doby struhu níž je docela postačující, ale bylo by vhodnější mít měření průběžné rychlosťi po celou dobu prohození útku. Protože v tomto případě byly těžko mít možnost zjistit odchylku průběhu měření rychlosťi.

K této práci nám stačila tato relativně jednoduchá metoda, kvůli přednosti, pro získání naměřených hodnot během strhu nitě z bubínku odměřovače když je stanoven počátek a konec prohozu.

5.311 Princip měření

Obarvený útek při své pohybu do konfuzoru před tryskou prochází senzorem pro měření rychlosti a je osvětlován infradiodou. Odražené světlo se snímá a v elektronické části se mění na napětí, které je znázorněno v obdélníkovém průběhu viz. obr. (23).



Obr.23 Průběh rychlosti útku a průběh napětí z elektroniky senzoru

Pomocí programu Famulus se vypočítá z průběhu napětí průběh rychlosti podle vzorce střední rychlosti $v = \frac{s}{t}$, kde s je konstantní délka úseku 150mm.

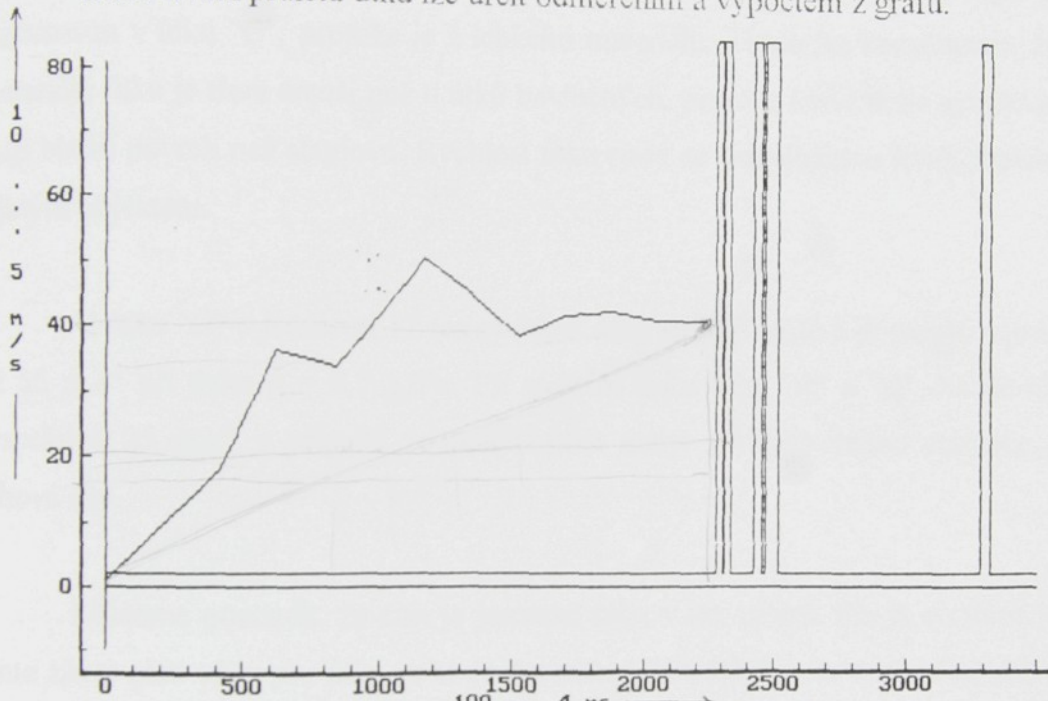
Záloha: řešení zadání č. 10. Průběh rychlosti

5.32 Vyhodnocení měření rychlosti útku

Rychlosť letu útku V_t zjistíme, jak jsme uvedli, z matematického vztahu

$$v_t = \frac{L}{t} [m.s^{-1}]$$

Dobu trvání průletu útku lze určit odměřením a výpočtem z grafu.



Obr. Měření rychlosti útků nitě "A" při tlaku 0,55 MPa

Pro 100 dílků = 4 ms. Čas průletu figuruje 2300 dílků $t = 23.4 = 92$ ms

Známe, že doletová délka je konstantní a má hodnotu 1625 mm.

Po dosazení do vztahu $v_t = \frac{L}{t}$ získáme střední rychlosť útku, který letěl rychlosťí $17,66 \text{ m.s}^{-1}$.

Průběhy rychlosťí pro každý typ útku v prohozném kanálu jsou uvedeny v přílohách od přílohy 1. až do přílohy 18. při různých tlacích od 0,4 až do 0,7 MPa a s použitím snímače pro měření tahové sily v útku i bez něho. Vidíme u všech průběhů rychlosťí útků "A", "B" a "C" s respektivními jemnostmi 200 tex, 70 tex a 17 tex, že rychlosť útku "A" s použitím tenziometru je nižší než rychlosť útku neprocházejícím tenziometrem o 30 % na

konci rozběhu útku v čase 40 ms, kdy rychlosť ustály rozptyl rychlosťi, klesne na 20 %. Lze říci, že snímač pro měření tahové sily zbrzdí pohyb útku a pokles rychlosťi je způsoben třením mezi útkem a kolíky snímače.

Lze pozorovat, že s použitím snímače pro měření tahové sily někdy útek nedoletí až na konec konfuzoru, protože v některých přílohách nebyl snímán dolet útku snímačem pro indikaci doletu viz. přílohy č. 1 a 5 u útku "A" a číslo 7 u útku "B". Tento jev nikdy nebyl registrován v útku "C", protože je z lehkého materiálu. Tímto lze konstatovat, že u lehkých materiálů útku je tření menší než u útků bavlněných, protože lehké nebo syntetické materiály mají hladší povrch než staplové. Rychlosť útku roste se snižujícím se koeficientem tření útku s jiným objektem.

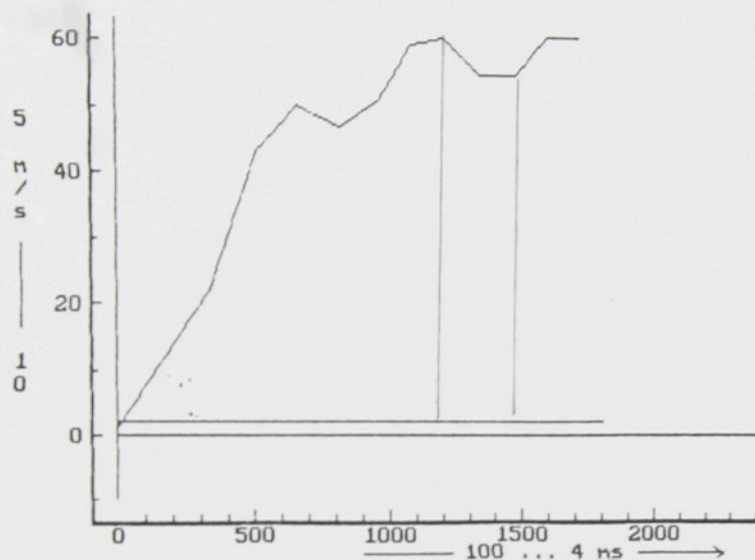
U útku "C" s jemností 17 tex rychlosť útku strměji roste a dosahuje největší hodnoty až 55 m.s^{-1} při tlaku $p = 0,7 \text{ MPa}$. Při stejném tlaku útky "B" a "A" dosahovaly 32 m.s^{-1} respektivě 25 m.s^{-1} v případě že pohyb útku nebyl zbrzděn třením snímače pro měření tahové sily.

Můžeme posoudit, že čím je jemnost útku v tex menší, tím je rychlosť útku vyšší a tento závěr platí vždy pro útky ze stejného materiálu a když jsou útky z různých materiálů a mají stejnou jemnost musíme brát v úvahu strukturu útku a jeho povrchové vlastnosti.

Při variaci hodoty tlaků ze vzdušníku a zachování ostatních parametrů a předpokladů plyne, že se zvyšujícím se tlakem rychlosť útku roste a zachová svůj průběh a bude nepatrně vidět u větších hodnot tlaku pro všechny druhy materiálů, na kterých jsme provedli měření, viz. přílohy 19, 20, 21.

Tato závislost mezi tlakem a rychlosťí není vůbec lineární. V přílohách 22 až 25 bylo cílem změřit, je-li závislost rychlosťi útku na zvýšení tlaku stejná při použití různých materiálů. Na uvedených příslušných průbězích je vidět, že když jde o jemnější útek, tak jeho rychlosť vždycky rychle roste a tato rychlosť je větší než u hrubších materiálů. Dolet útku lehčího materiálu je také rychlejší.

U všech získávaných průběhů a dosažených výsledků v odborné literatuře potvrzuji výchylky objevené v rychlosti prohozního útku, jak u útku "A", "B" tak i "C". Tyto výchylky sou způsobeny tím, že tahová síla v určitých místech po dráze pohybu útku působící na vedoucí konec útku se snižuje poklesem rychlosti vzduchu, kdy se začne zadní konec útku pohybovat rychleji než vodící část.



Obr. Rychlosť útku, kde na označeném úseku je zadní konec rychlejší než vodící část

5.321 Faktory ovlivňující rychlosť útku

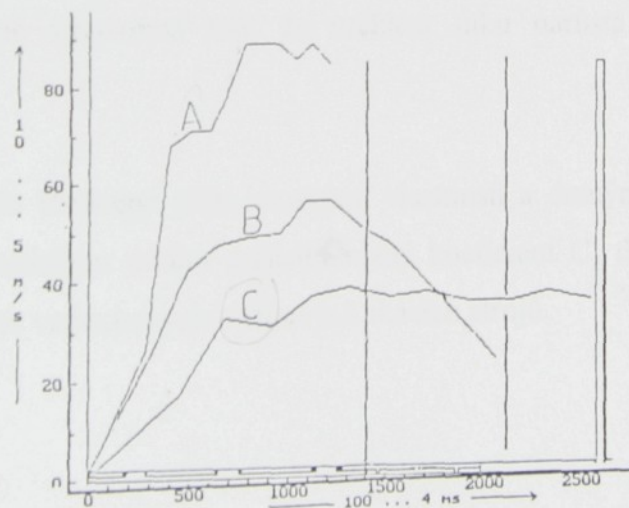
5.3211 Vliv délkové hmotnosti útku na jeho rychlosť

Pod tímto titulkem byla sledována otázka vlivu délkové hmotnosti a nestejnoměrnosti materiálu útkové nitě na rychlosť útku při různých rychlostech vzduchu.

Experimentální cestou se došlo k závěru, že maximální rychlosť útku v prohozni kanálu roste se snižující se hmotností útkové nitě to je nižší hodnota v tex. a rychlejší náběh rychlosť útku bylo měřeno u lehčích materiálů třeba jako syntetického materiálu, tady nárůst rychlosť je velice strmý což je velmi vhodné z hlediska rychlosť prohozu a lze dosáhnout větší produktivity tkanin na tkacích stavech. Čím je jemnost útku v tex menší tím je střední rychlosť prohozeného útku vyšší a toto pravidlo platí pro útky ze stejněho materiálu.

Útky ze syntetického materiálu, které mají stejnou jemnost jak bavlněné útky, mají střední rychlosť útku nižší, protože povrch bavlněné příze je drsnější.

K tomuto důležitému problému lze posoudit, že vliv hmotných a objemových nestejnoměrnosti bavlněného materiálu útku na rychlosť útkové příze při prohozu je velice patrný a výrazný.



Obr. Průběhy rychlosťí útku v závislosti na jemnosti materiálu při daném tlaku 0,4 MPa.

5.3212 Vliv koeficientů odporu vzduchu na rychlosť útku

Odporové koeficienty vzduchového proudu pôsobiací na útek pri prôlete nemají veľký vliv na rôst nebo na pokles rychlosť útku i pri zmenšení nebo zvýšení niektorých z nichž sa rychlosť útkového príze chová v priímé závislosti jak roste nebo klesá.

Podľa (1) boli definované čtyri rôzne koeficienty odporu vzduchu, ktoré zatýžujú pohyb útku pri prohozu od jeho odvodenia z odmierača po celé dráhu konfuzoru.

C_0 ... koeficient odporu pred hlavnou trubkou

C_1 ... koeficient odporu v útkové trubici hlavného trysky

C_2 ... koeficient odporu výstupnej trubice

C_3 ... koeficient odporu v prohoznom kanáli útku tj. konfuzor nebo profilovaný paprsek.

Koeficient C_0 a C_1 zpôsobia prevažne brzdenie rychlosť útku v úseku útkové trubice hlavného trysky a podľa niekoľkých odborných prací dalo sa říci, že pokles rychlosť vlivom útkové trubice hlavného trysky sa prejavuje veľmi slabě.

Podľa podrobnejších mérani provedených v práci (1) sa ukázalo, že závislosť C_2 na rychlosť útku je pomerné významná tým, že rychlosť útku narastá s zvyšujúcim sa koeficientom C_2 .

Z toho vyplýva, že bavlnené príze sú vlastnosťou a hrubosťou povrchovej oproti hedvábnému prízi nebo syntetickému útku majúcim nízký koeficient C_2 , dosahuje maximálnu rychlosť a lepšiu produktivitu vzduchových tryskových tkacích strojov.

5.3213 Vliv délky výstupní trubice hlavní trysky na rychlosť útku

Další faktor, kterým jsme se vůbec nezabývali při našem měření má nezanedbatelný vliv na rychlosť průletu útku, ale v odborné literatuře bylo cílem výzkumu a experimentu. Bylo naměřeno rychlosťi proudového vzduchu při použití různých hlavních trysek s různými délkami výstupní trubice. A podle získaných výsledků (1) došlo k tomu, že rychlosť útku, která je funkcí rychlosťi proudového vzduchu v závislosti na délce výstupní trubice hlavní trysky narůstá i při odlišných prohozených rychlosťech vzduchového proudu v_p . A ten přírůstek rychlosťi je rychlý a zmenšuje se u větších délek výstupní trubice hlavní trysky.

Lze shrnout, že rychlosť útku roste se zvětšující se rychlosťí proudu vzduchu v ústí hlavní trysky a vliv její délky na rychlosť prohozeného útku klesá s klesající rychlosťí v ústí hlavní trysky, ale při prodloužení výstupní trubice se rychlosť útku zvyšuje pomaleji.

5.3214 Vliv tlaku vzduchu na prohozní rychlosť útku

Z ekonomického hľadiska vyplývá, že musíme hospodať co nejlépe s použitým vzduchem a určiť najmenší prohozní tlak, ktorý umožňuje průlet čela útku sledovaným miestom. K tomuto mēřeniu jsme používali rôzne materiály útku s rôznymi jemnostmi, dvě nitě bavlnené a jednu nit ze syntetického materiálu.

Prohozní rychlosť je úmerné závislá na čase průletu a na dĺžke prohozeného útku. Približne dĺžka prohozeného útku je závislá na tlaku vzduchu v tryske.

$$v_t = \frac{l}{t}$$

L ... namierená hodnota prohozené dĺžky pri danom tlaku vzduchu

Podle namierených výsledkov a podle získaných průběhu vyplývá, že čím je väčší tlak, tím je väčšia rychlosť prohozu útku, viz. obr. Pribloha 20

1. tlak 0,7 MPa
2. tlak 0,6 Mpa
3. tlak 0,5 Mpa
4. tlak 0,4 Mpa

Obr. Průběhy vlivu zvýšení tlaku na rychlosť útku "B" (70 tex)

Podle obrázku (Obr. 20) v danom miestu prohozní dráhy pri tlaku $p = 0,7$ MPa rychlosť útku dosahovala najvyššiu hodnotu 36 m.s^{-1} , ale je nižšia o 9 % pri prohozu stejného útku ve stejném miestu pri tlaku 0,4 MPa.

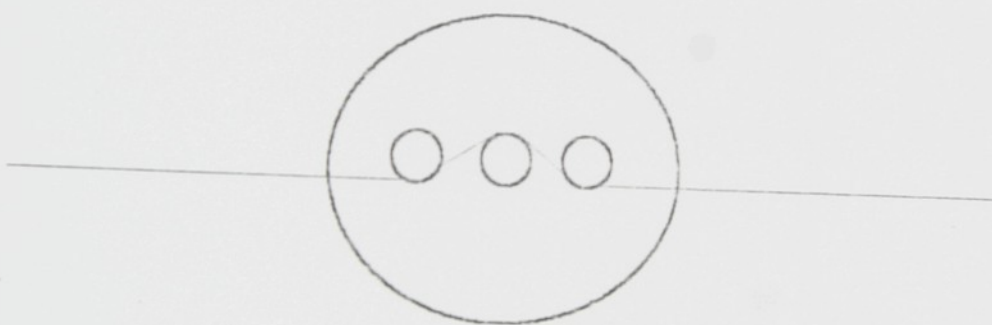
Obdobné závěry lze vyčíst z průběhu rychlosti útku v závislosti na tlaku v trysce při zkoušení jiného druhu materiálu útku, jak ukazují přílohy **29** až **24**.

5.4 Měření tahové síly v útku při prohozu

Veškerá praktická měření probíhala v laboratoři KTI při reatívni vlhkosti vzduchu 50% a teplotě vzduchu 22°C. Úkolem bylo zjistit závislost tahové síly před hlavní tryskou v závislosti na čase prohozu a chování tahové síly při vlastním prohozu u různých materiálů útku.

5.41 Měřící zařízení pro měření tahové síly

K měření tahové síly bylo používáno kapacitního snímače tahovch sil firmy ROTSCHEID, jehož princip byl již uveden viz. (5.23).



Obr. Schéma navedení útkové nitě do snímače

5.411 Cejchování snímače

Před vlastním měřením bylo nutno snímače ocejchovat. Snímač byl na stojanu umístěn tak, aby navedená nit směřovala svisle dolů. Na nit bylo postupně zavěšeno závaží o hmotnosti 50g, 100g a 200g.

Při měření tahové síly u používaných materiálů útku platí:

- pro nit, kterou nazýváme nit "A" tj. nejhrubší nit s jemností 200tex
10 dílků=250mN
- pro nit "B" s jemností 70tex platí
10 dílků=125mN
- poslední nit "C" tj. nejlehčí má jemnost 10tex bude platit
10 dílků=62,5mN

5.42 Vyhodnocení záznamu tahových sil v útku

Na začátku prohozu útku tahová síla lineárně roste v závislosti na čase a prozené délce. Po rozběhu útkové nitě začne kolísat kolem nějaké střední hodnoty, která se dá vyčíst z grafů. největší kolísání této tahové síly je u nitě "A", o něco menší při zkoušení nitě "B" a nejmenší se projevilo u nitě "C". Toto kolísání je způsobeno:

- nestejnoměrnosti útkové příze
- odvýjením útku na odměřovač
- náhodnými vlivy (třením mezi útkem a měřicím zařízením)

Ze všech průběhů lze konstatovat že tahové síly rostou s rostoucí rychlosí útku a klesají s klesající rychlosí pohybu útku. Z tohoto se dá vydedukovat:

- čím je tlak větší, tím větší jsou tahové síly působící na útek a mají lineární závislost
- tahové síly se postupně zvětšují v závislosti na čase tzn. v závislosti na doletové délce, protože doletová délka je lineárně závislá na čase.
- Vyvolané tahové síly na nit v klidu nebo v pomalém pohybu, tj. na začátku prohozu jsou výrazně nižší než na konci prohozu, když je celý útek vytažený. Lze vidět tento jev zobrazený u útku "B" a "C" nebo u útku "A" při vyšším tlaku 0,7 MPa.

Porovnáním průběhů tahových sil u útku "A", "B" a "C" je patrně vidět, že tahové síly jsou vyšší u útku "A" než u útku "B" nebo "C". Tyto síly jsou přímo závislé na druhu materiálu útku a na jeho strukturních charakteristikách jako jemnost tloušťky, nestejnoměrnosti atd.

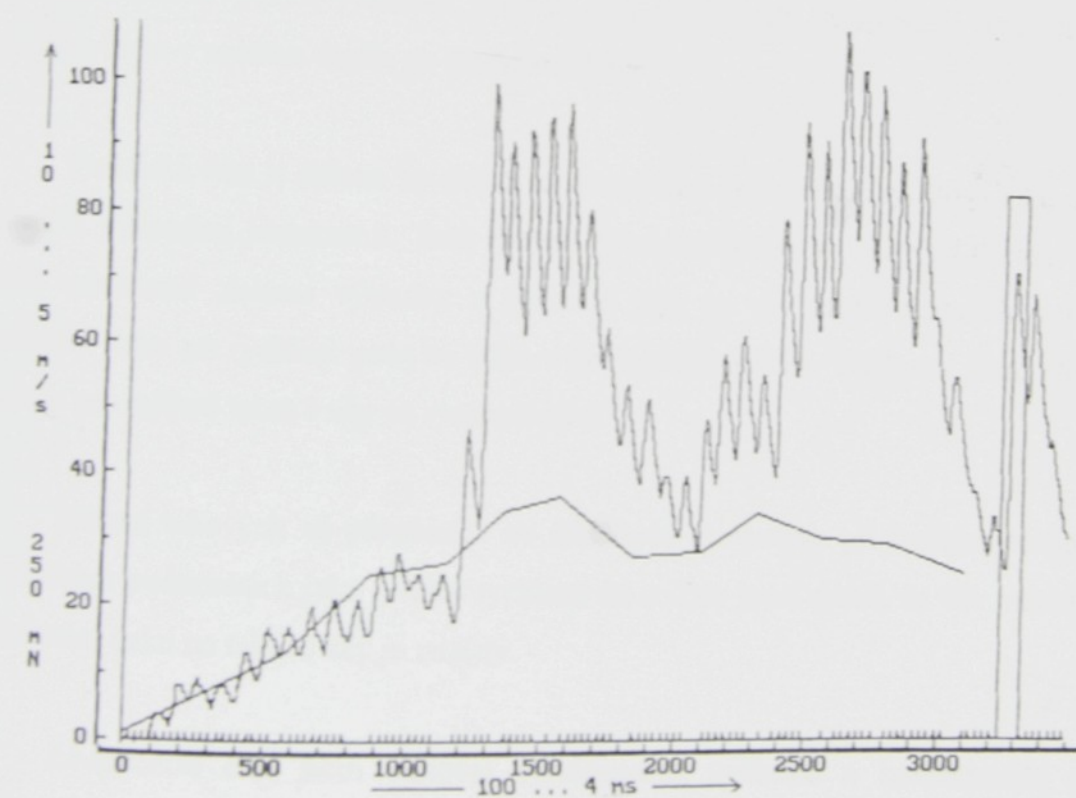
Závěrem z tohoto vyplývá, čím má útek větší jemnost v tex, tím jsou tahové síly vyvolané v útku při prohozu větší.

5.43 Vliv nestejnoměrnosti na tahové sily při prohozu útku

Staplové příze se vyznačují hmotnou a objemnou nestejnoměrností. Na části příze s měnícím se průměrem a hmotností působí při pohybu útku různé velké odpory prostředí a mění se také složky působící síly: dynamické síly, odstředivé síly atd.

Dominantně se tato nestejnoměrnost příze projeví skokovoou změnou tažné síly prohozní trysky jak ukazují průběhy odtahové sily naměřené u různých přízí s různými jemnostmi. (viz příloha odtahové síly).

U syntetických materiálů útku, kde povrch příze je hladký a mají odlišné vysokoelastické vlastnosti k těmto výchylkám a změnám v průběhu působících tahových sil skoro nedochází, i když jsou projeveny velice slabě.



Obr. Skokové změny tahové sily působící na útek způsobené nestejnoměrností útkové nitě

6 Závěr

Diplomová práce byla členěna do dvou částí. První část byla zaměřena na teoretické řešení rychlosť proudu vzduchu v trysce a konfuzoru a na studie dvou nejdůležitějších parametrů útkové nitě, kterými jsou rychlosť útku a tahové síly, které na něj působí při prohozu. Náplní druhé části bylo zkoumat a pozorovat jakou rychlosť se pohybuje útek při prohozu jednou tryskou do konfuzoru.

Problém teoretického řešení je velice složitý a skoro prakticky nemožný, protože řešení pohybové rovnice útku v proudovém vzduchu nebo konfuzoru nevychází v elementárních funkcích. Několik parametrů působících na rychlosť útkové nitě nebylo určeno: hlavní tryska, rychlosť proudu, odporové koeficienty atd. Proto nám teoretické řešení nepřináší moc zajímavé výsledky.

V teoretické části jsem se zabýval významem tahových sil vyvolaných v útku a jejich závislostí na tlaku vzduchu. Nejzajímavější bylo určení efektivního rozsahu tahových sil, a tím byl vysvětlen pokles rychlosť útku a poté nárůst této rychlosťi v určitém časovém intervalu, nebo v určitém úseku po prohozní dráze.

Praktická část je dělena na dvě části. První část bylo měření rychlosť útku u různých materiálů s různými jemnostmi. Toto měření bylo provedeno při různých tlacích. Pak jsme mohli vyhodnotit získané výsledky a posoudit jaký je vliv druhu materiálu útku a vliv zvyšování tlaku na rychlosť pohybu útku v prohozním kanále. Sledovali jsme vliv ^{tření} použití snímače pro měření tahové síly na rychlosť útku.

Měření tahových sil působících na útek bylo provedeno při stejných technických i klimatických podmínkách jako měření rychlosť útku. Zde jsme zjistili, že vliv materiálu útku a zvyšování tlaku na tahové síly je značný.

Závěrečnou část jsem věnoval vyhodnocení výsledků a komentování průběhu rychlosť útku a průběhu tahových sil. Dospěl jsem k témito závěrům:

- čím je větší tlak, tím je rychlosť pohybu útku a tahových sil větší
- čím je jemnost útku v tex větší, tím je rychlosť útku menší . Toto pravidlo někdy platí i pro útky z různých materiálů
- při větších rychlostech se tahové síly výrazně zvětšují, hlavně na začátku prohozu, a pak narůstají pomaleji, když se rychlosť útku ustálí
- pro hrubší materiály se tahové síly vyvolané na útek zvětšují lineárně

Doporučil bych, aby měření dále pokračovala a zkoušelo se více útků z různých materiálů a bylo by ideální provádět měření přímo na tkacím stroji s použitím jiných druhů trysek. Nejvhodnější by bylo vyzkoušet Lavalovou trysku při prohozu, i když je to příliš problematické.

Přehled výzkumu do budoucna

U pneumatického prohozu působí na útek proudovým vzduchem odtahové síly. Předmětem pneumatické charakteristiky jsou hlavní vkládací trysky. Jejich efektivní činnost spočívá v provedeném tvaru trysek a druhu trysek: konvergentní nebo divergentní a optimalizace hodnoty vzduchového tlaku a jeho regulace při chodu a při prohozu.

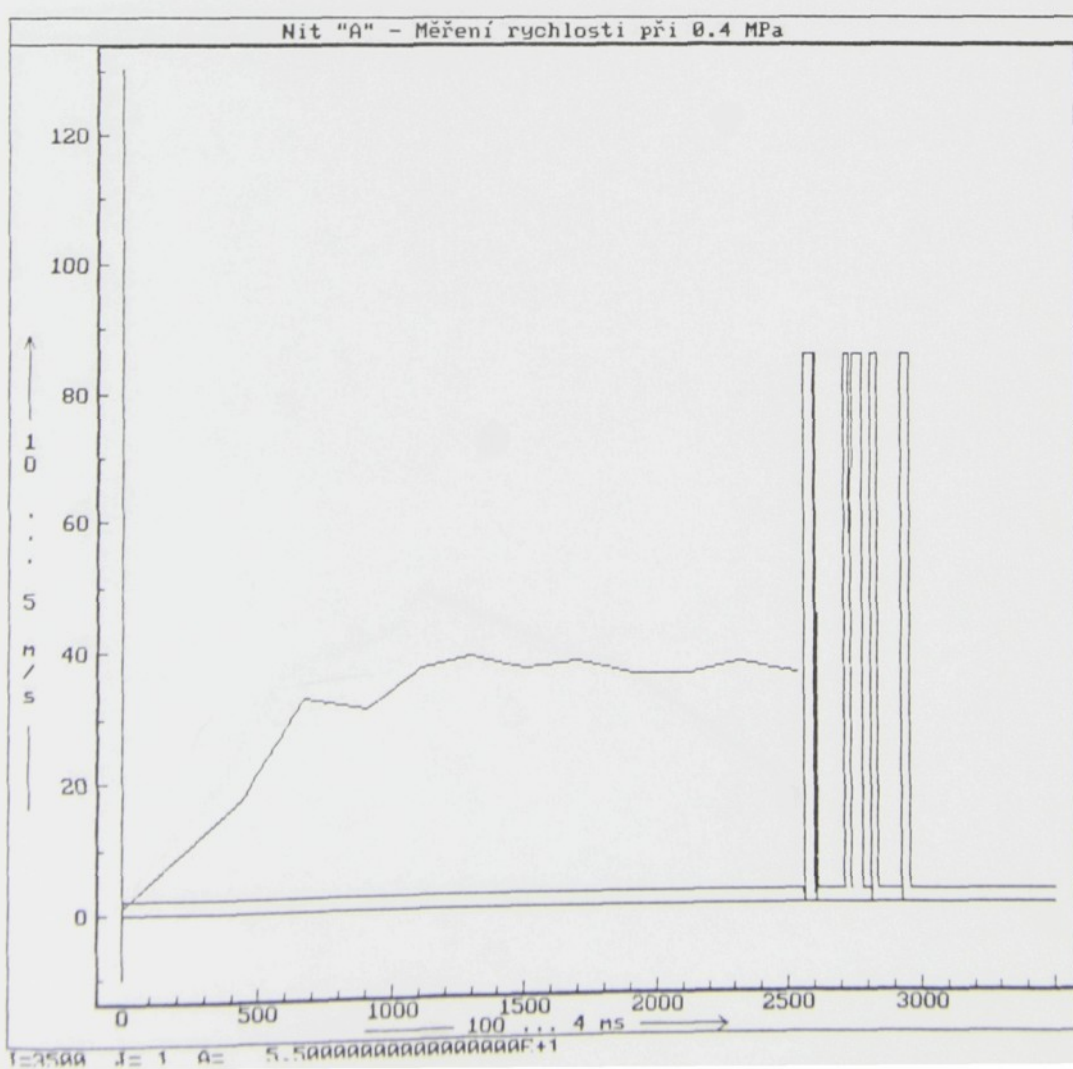
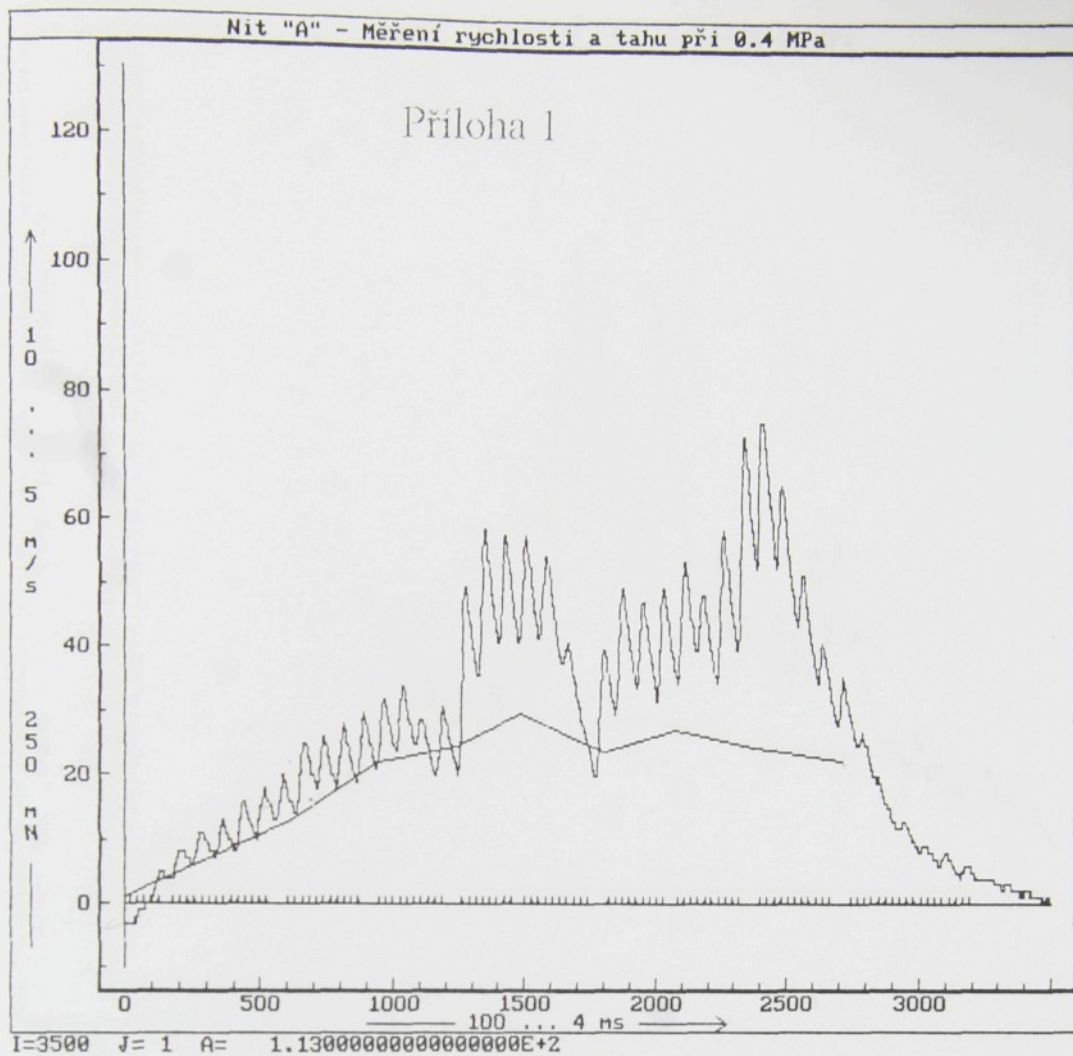
V poslední době se snahy vědců soustředí na získání různých informací o tryskách, které jsou nezbytné k realizaci značné energetické úspory a pracovat při vysokých rychlostech a pro větší škálu materiálu útkových nití od hedvábí až po těžké bavlněné útky.

Liberec 16.1.95



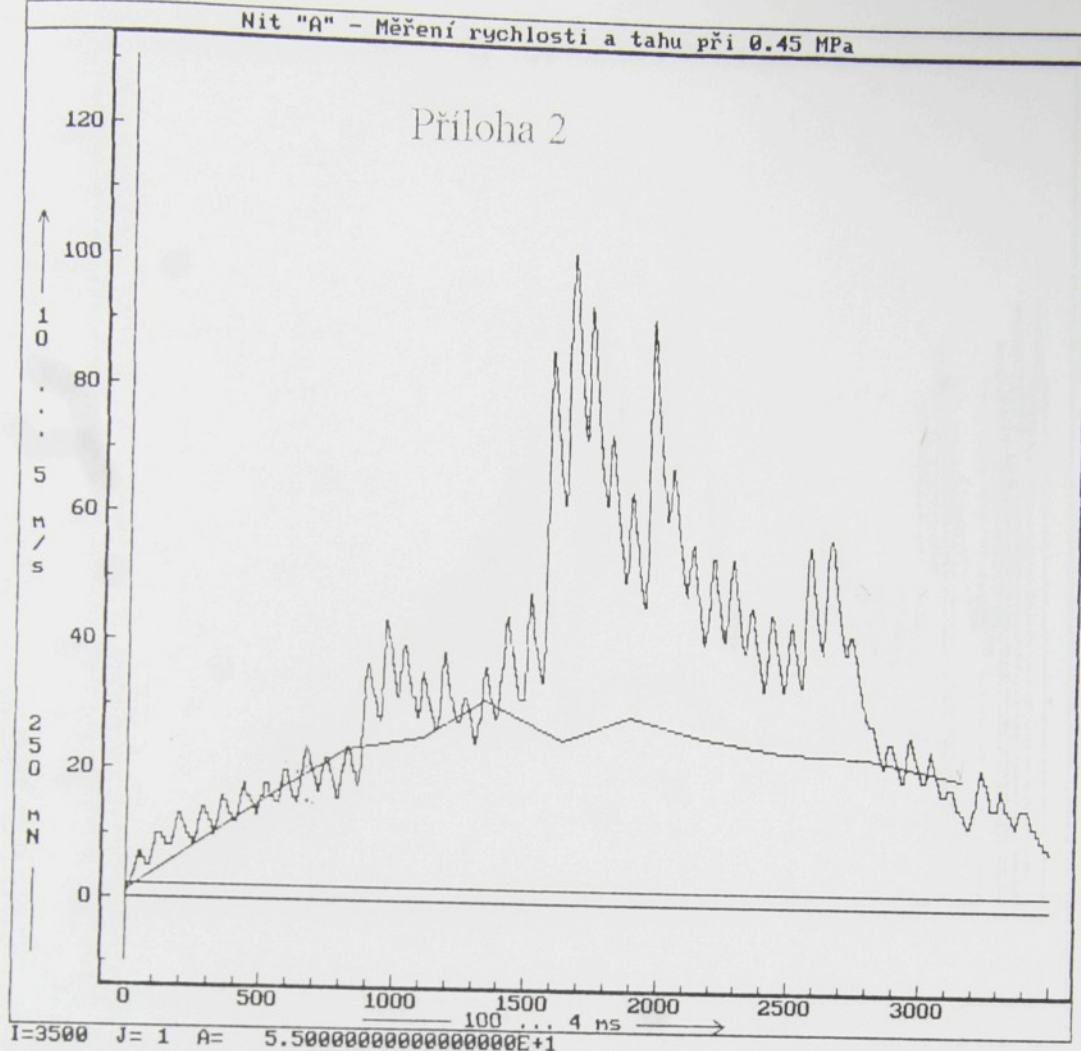
Seznam použité literatury

- [2] Prof. NOSEK STANISLAV ... Teorie tkacího procesu I, III díl, ČS VTS 1988
- [3] Ing. PETR ŠKOP Csc. ... Metody měření rychlosti útkové nitě
- [1] NGUYEN KIMQUY ... Dynamický prohoz útku na pneumatickém stavu K.D.P., VŠST Liberec 1993
- [4] NATARAJAN ... Pneumatický prohoz a přírazní mechanismus K.D.P., VŠST Liberec 1989
- [5] DO DAN HIEV ... Studia prohozu útku na pneumatických stavech K.D.P., VŠST Liberec 1989
- [6] Kolektív autorů ... Skripta Textilní a oděvní stroje I, II VŠST Liberec
- [7] MNORU ISHIDA, OKAJIMA ... Textile research journal February 1994
... Air - jet Loom, Present and Future
- [8] TRAM MINH NAM ... Studie procesu prohozu útku na pneumatických tkacích stavech K.D.P., VŠST Liberec 1984
- [9] FRANK BAMELIS ... Economic aspects of airjet weaving
Odborný prospekt firmy PICANOL NV

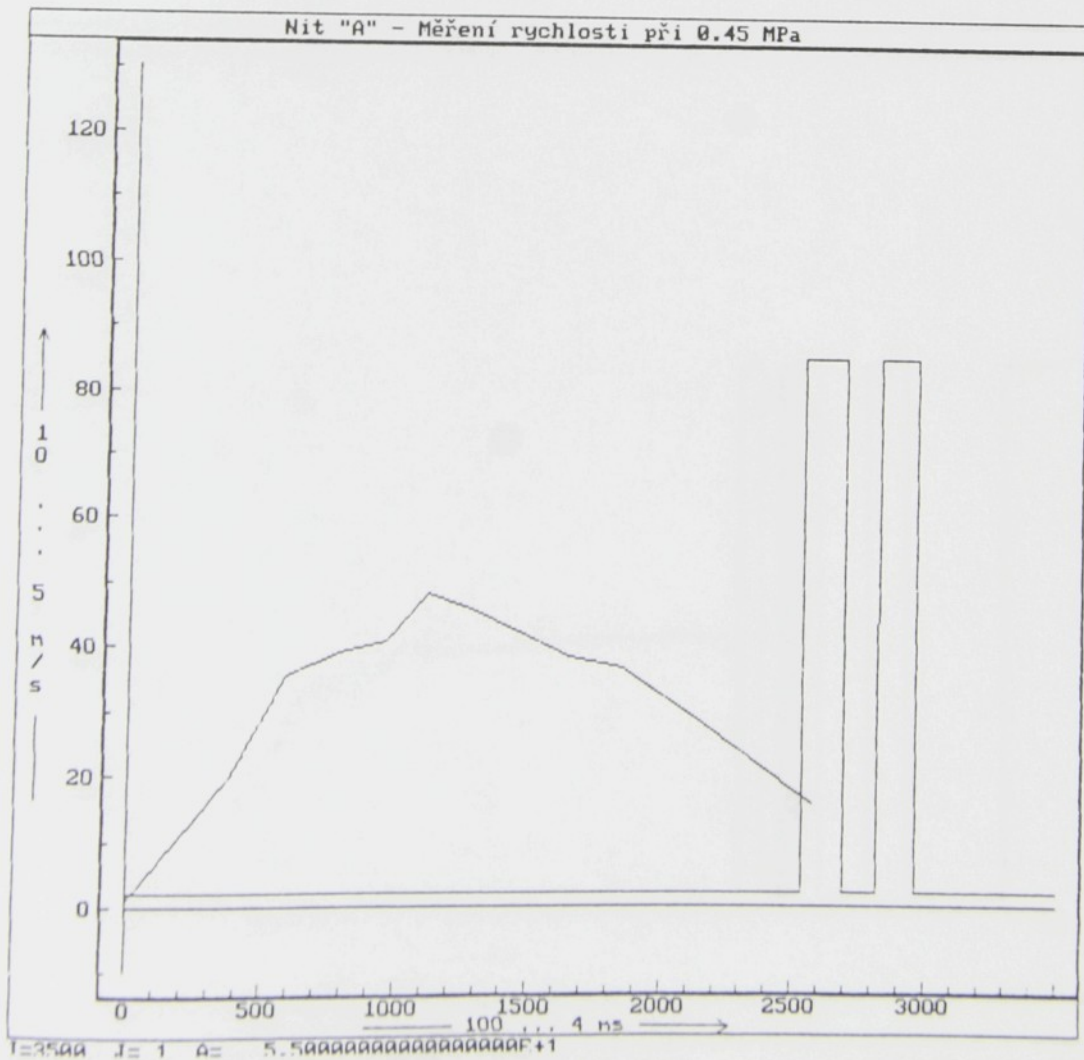


Nit "A" - Měření rychlosti a tahu při 0.45 MPa

Příloha 2

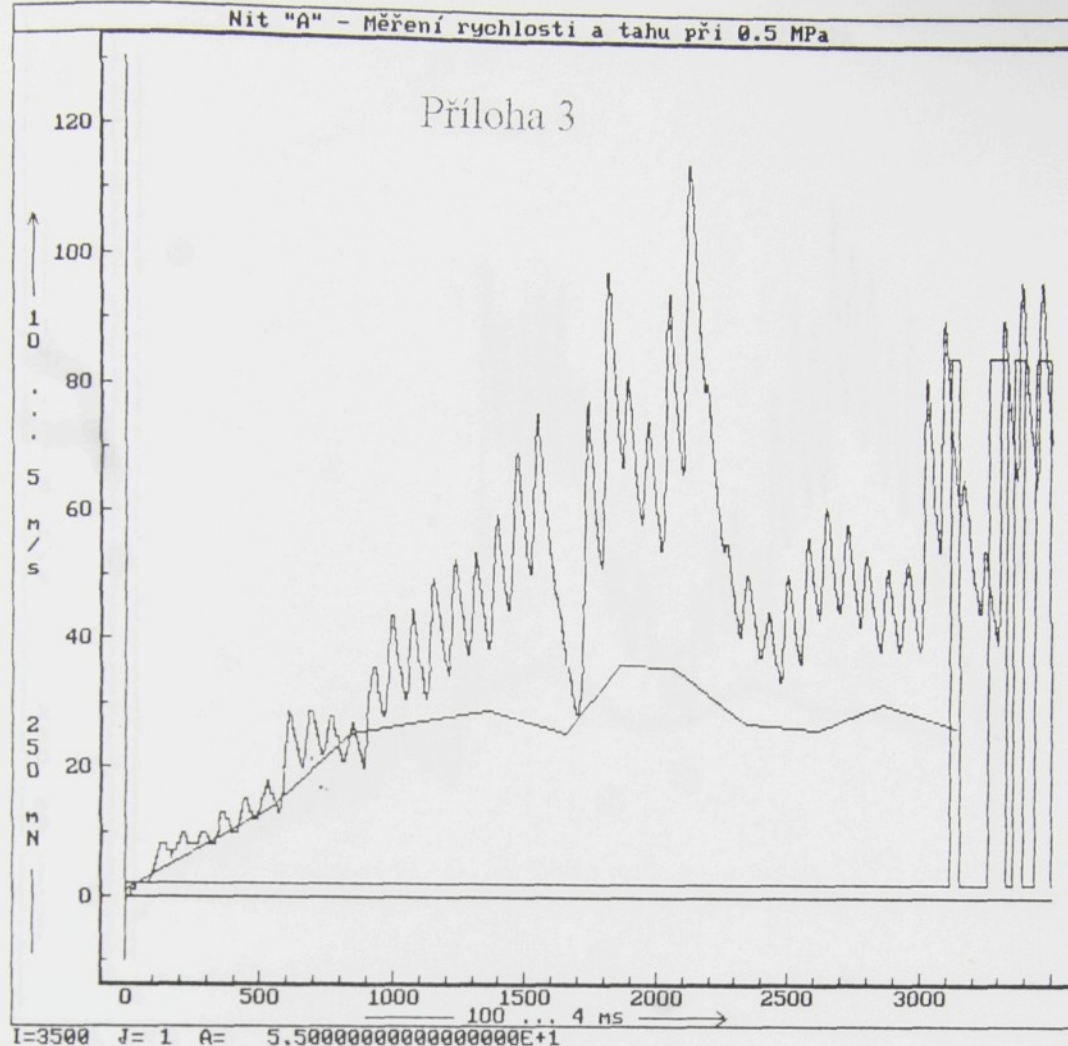


Nit "A" - Měření rychlosti při 0.45 MPa

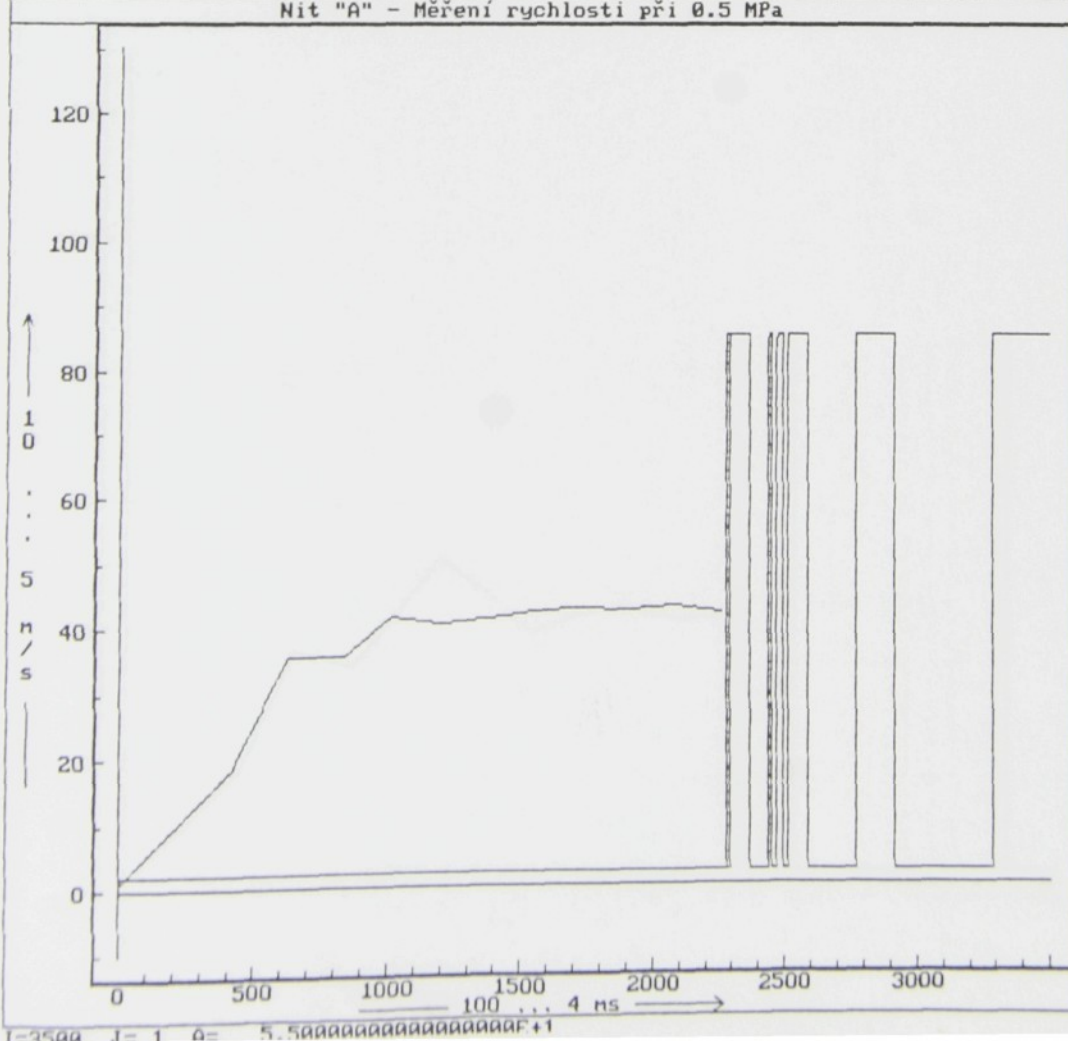


Nit "A" - Měření rychlosti a tahu při 0.5 MPa

Příloha 3

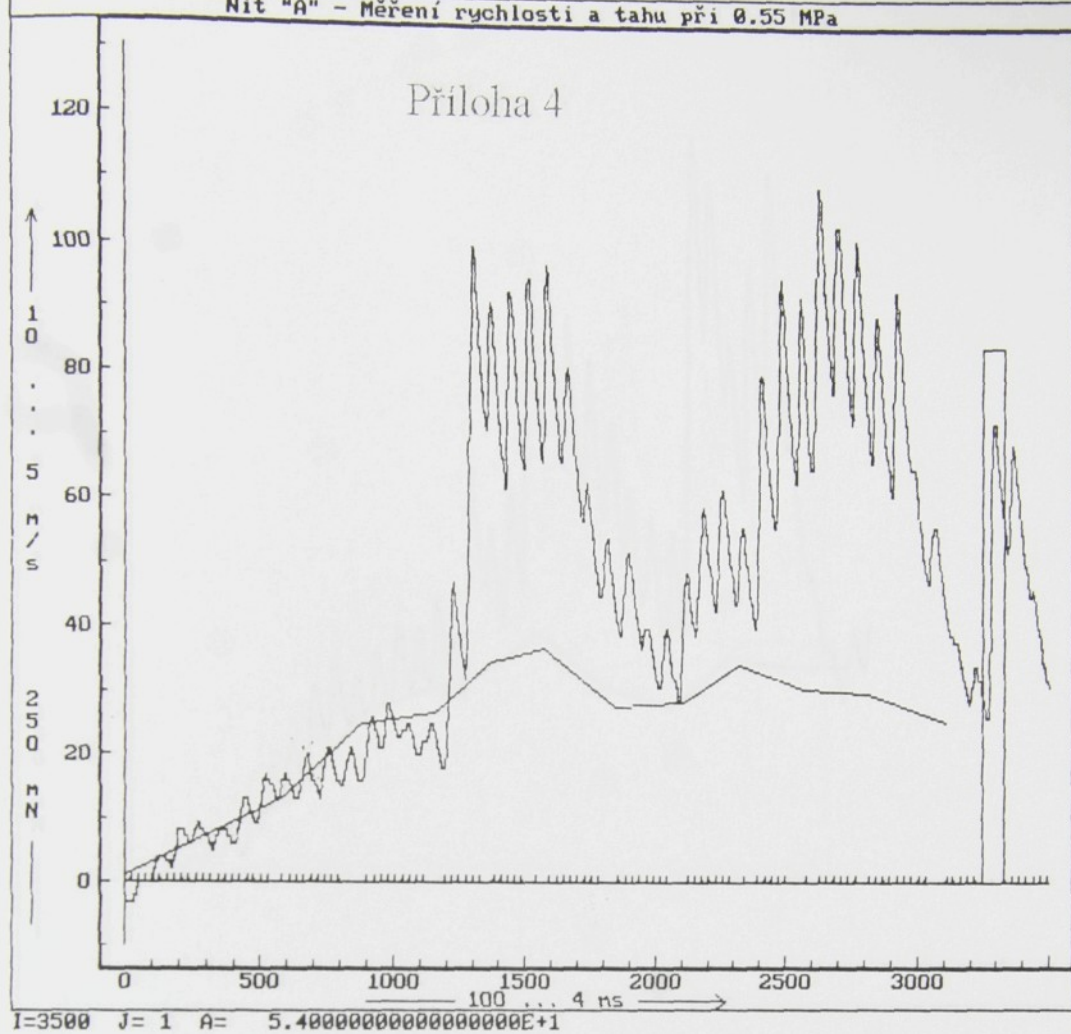


Nit "A" - Měření rychlosti při 0.5 MPa

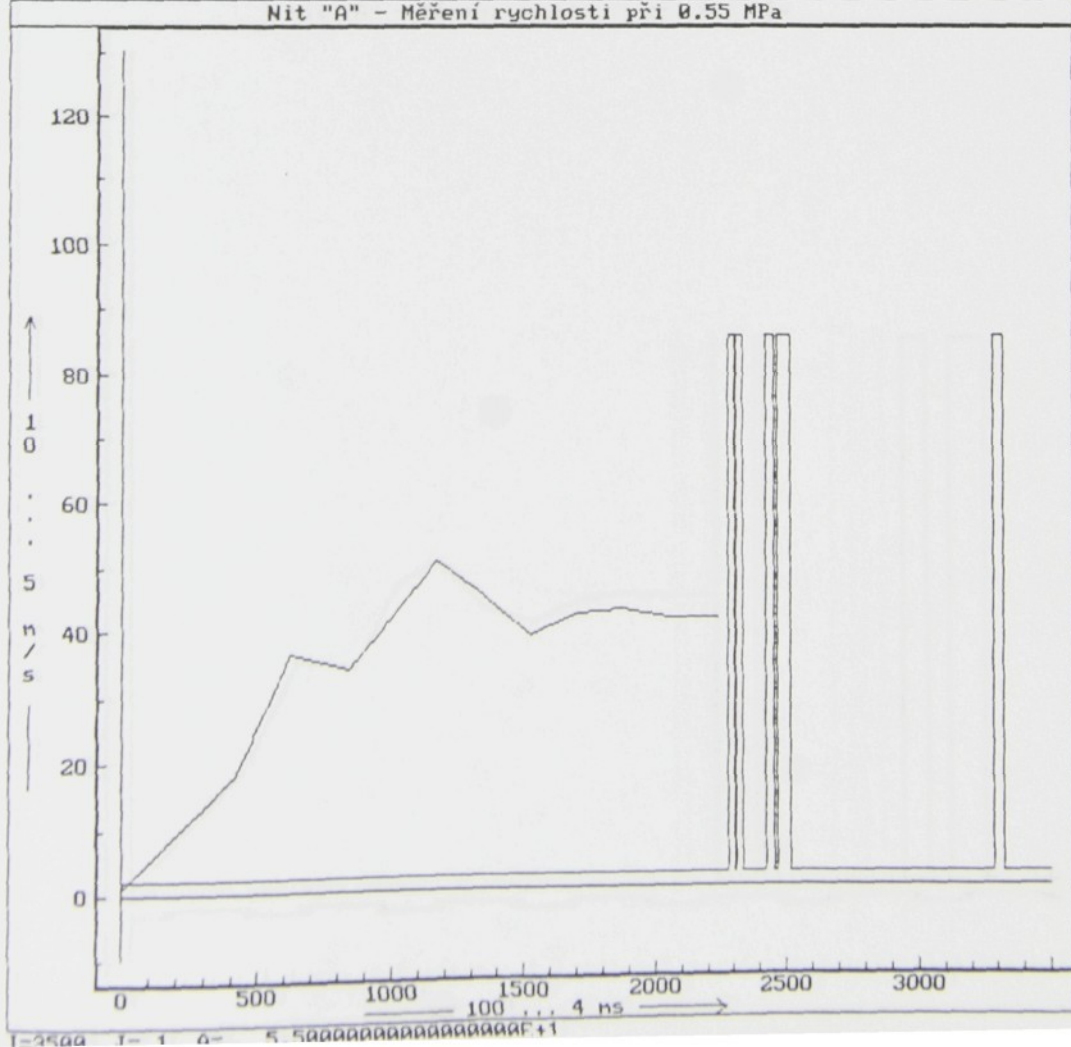


Nit "A" - Měření rychlosti a tahu při 0.55 MPa

Příloha 4

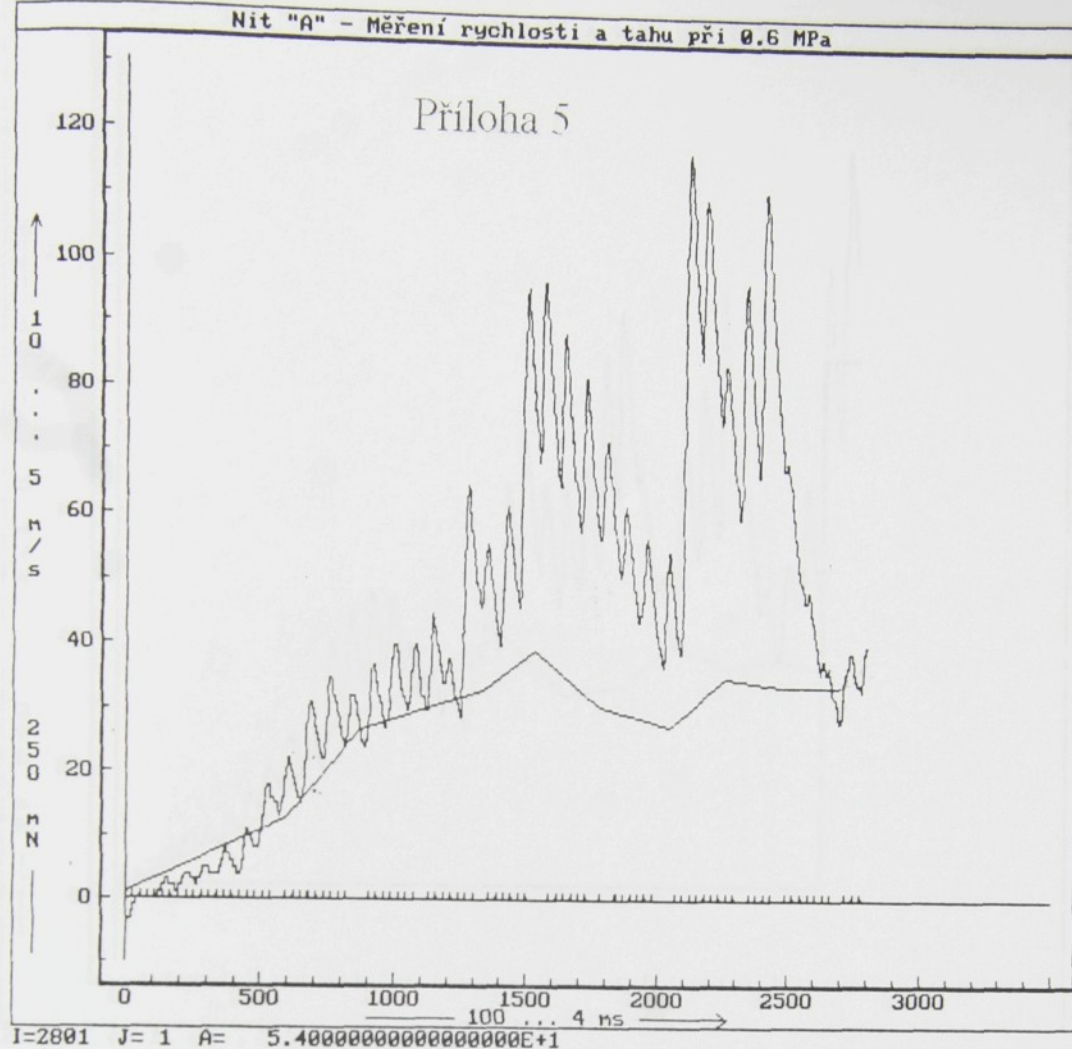


Nit "A" - Měření rychlosti při 0.55 MPa

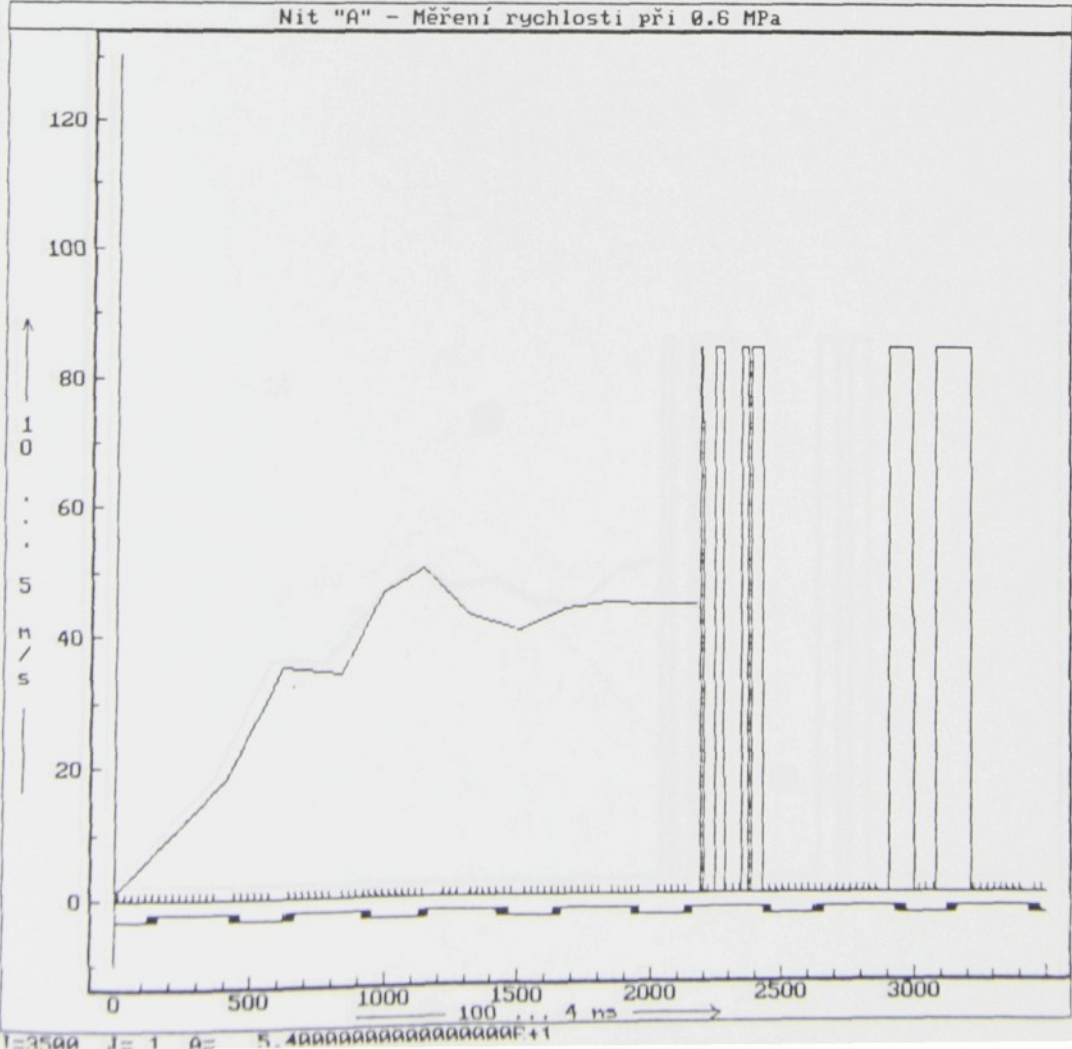


Nit "A" - Měření rychlosti a tahu při 0.6 MPa

Příloha 5

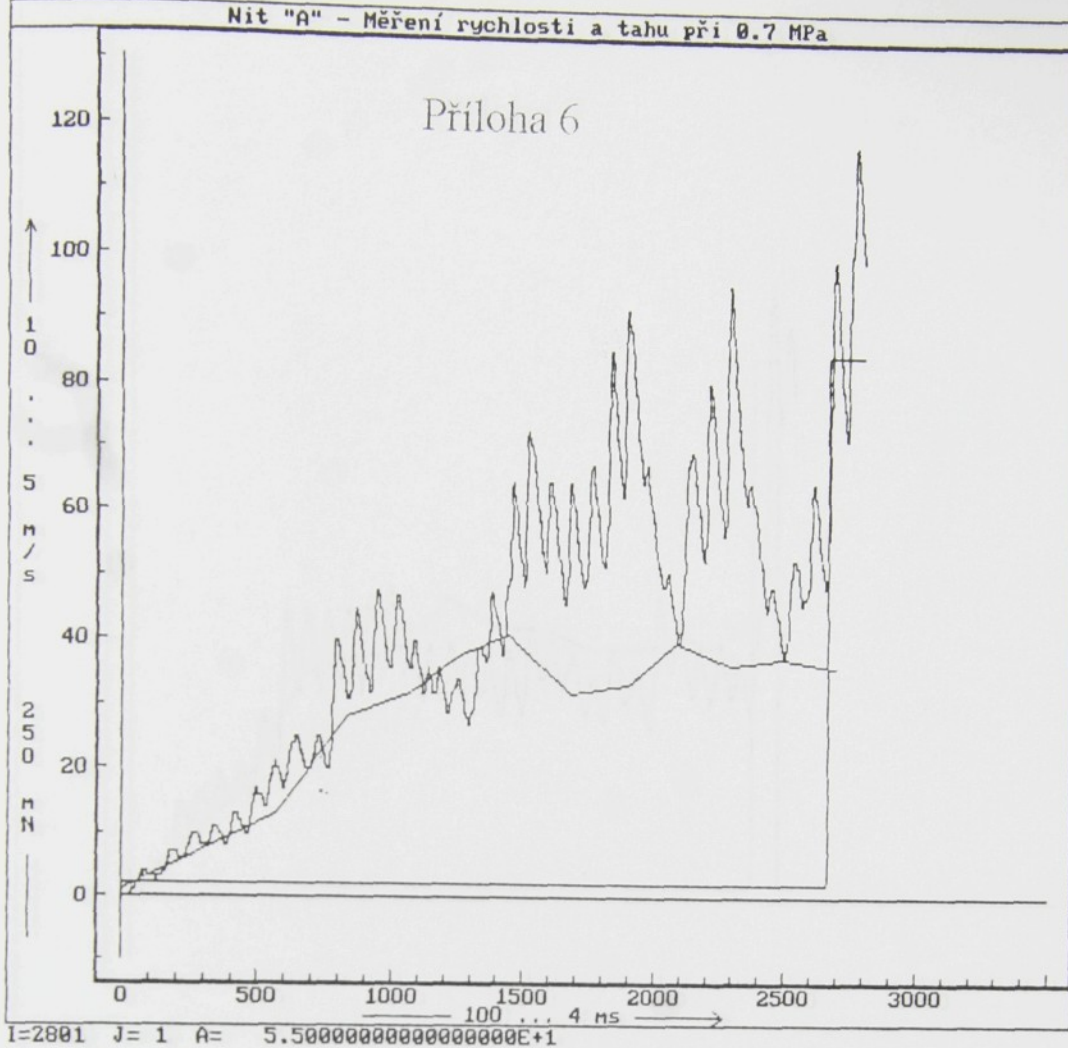


Nit "A" - Měření rychlosti při 0.6 MPa

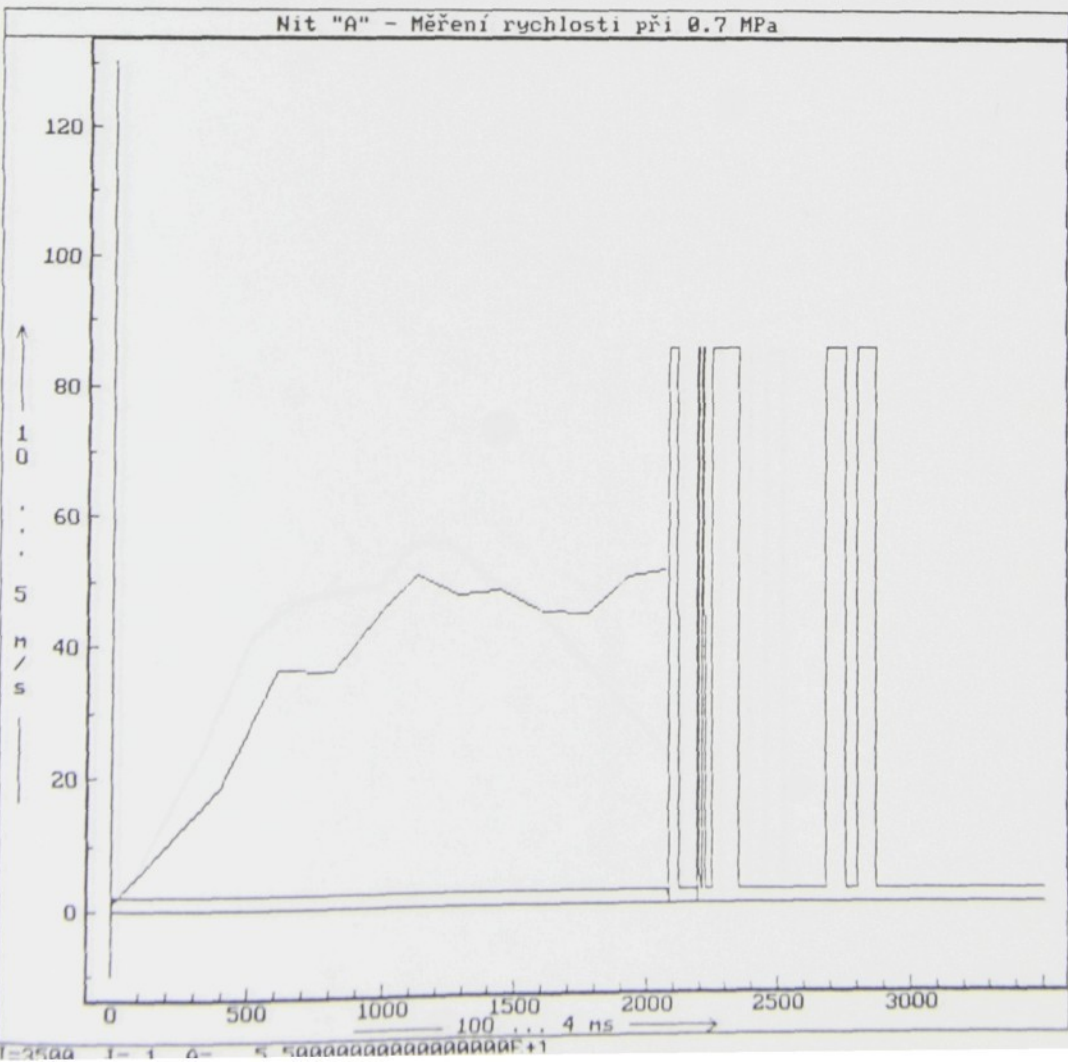


Nit "A" - Měření rychlosti a tahu při 0.7 MPa

Příloha 6

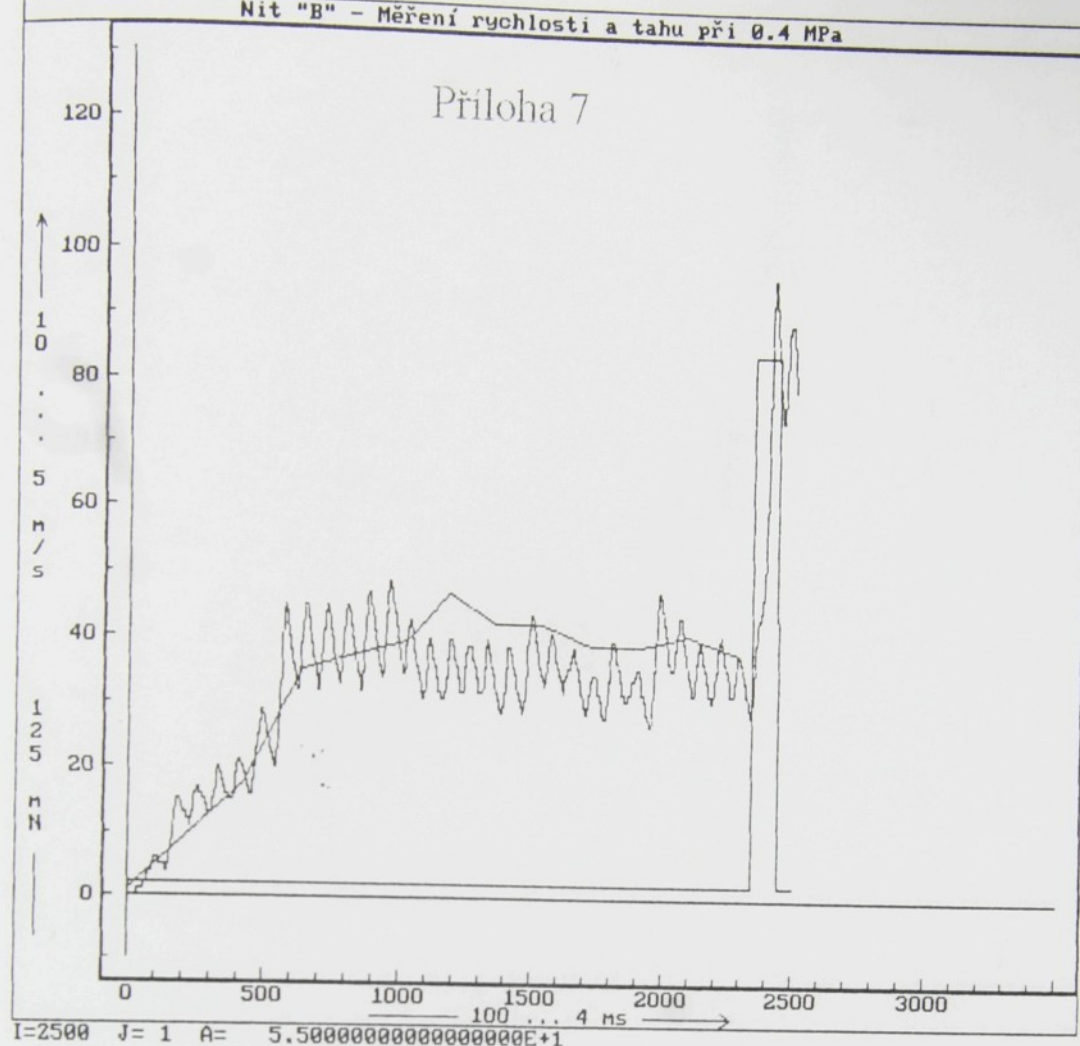


Nit "A" - Měření rychlosti při 0.7 MPa

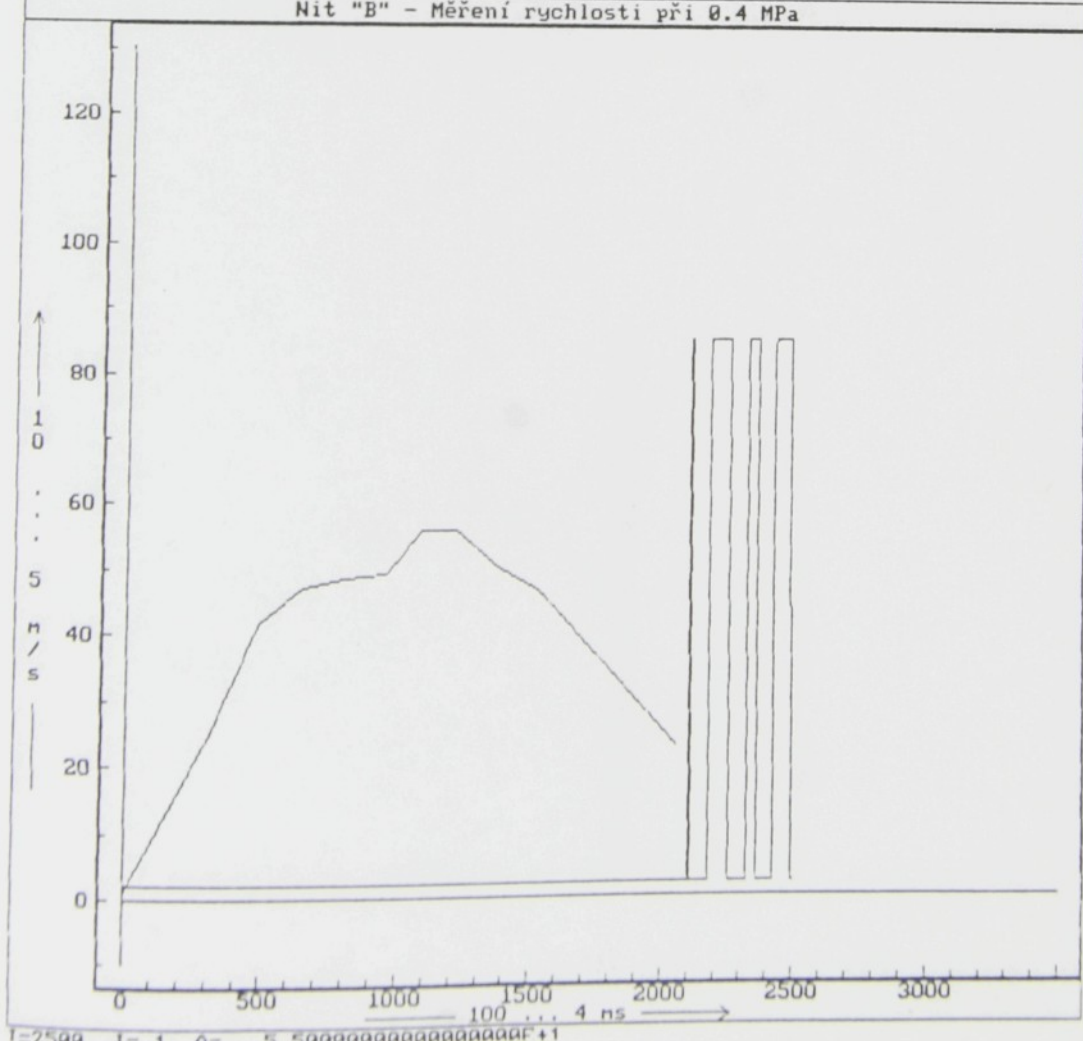


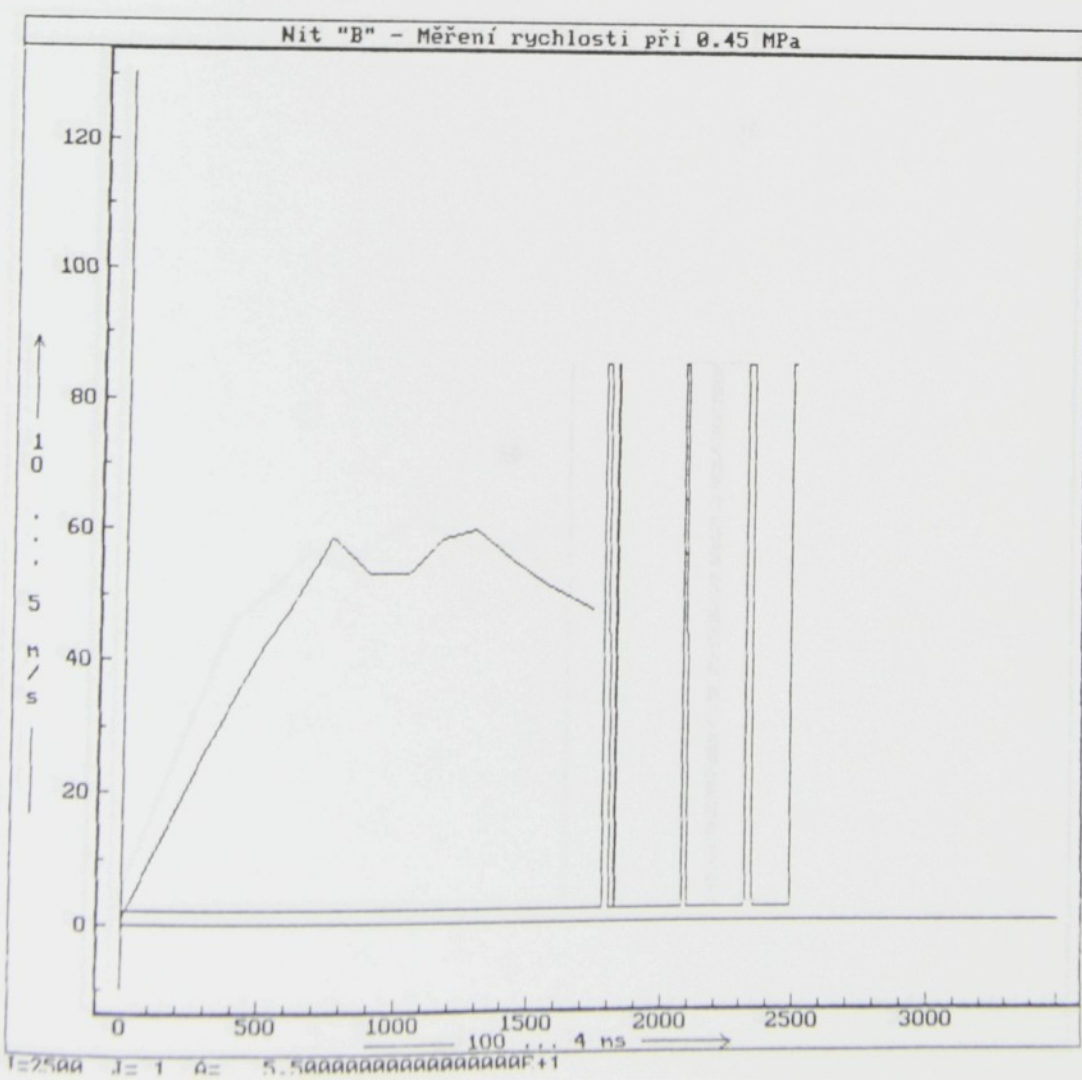
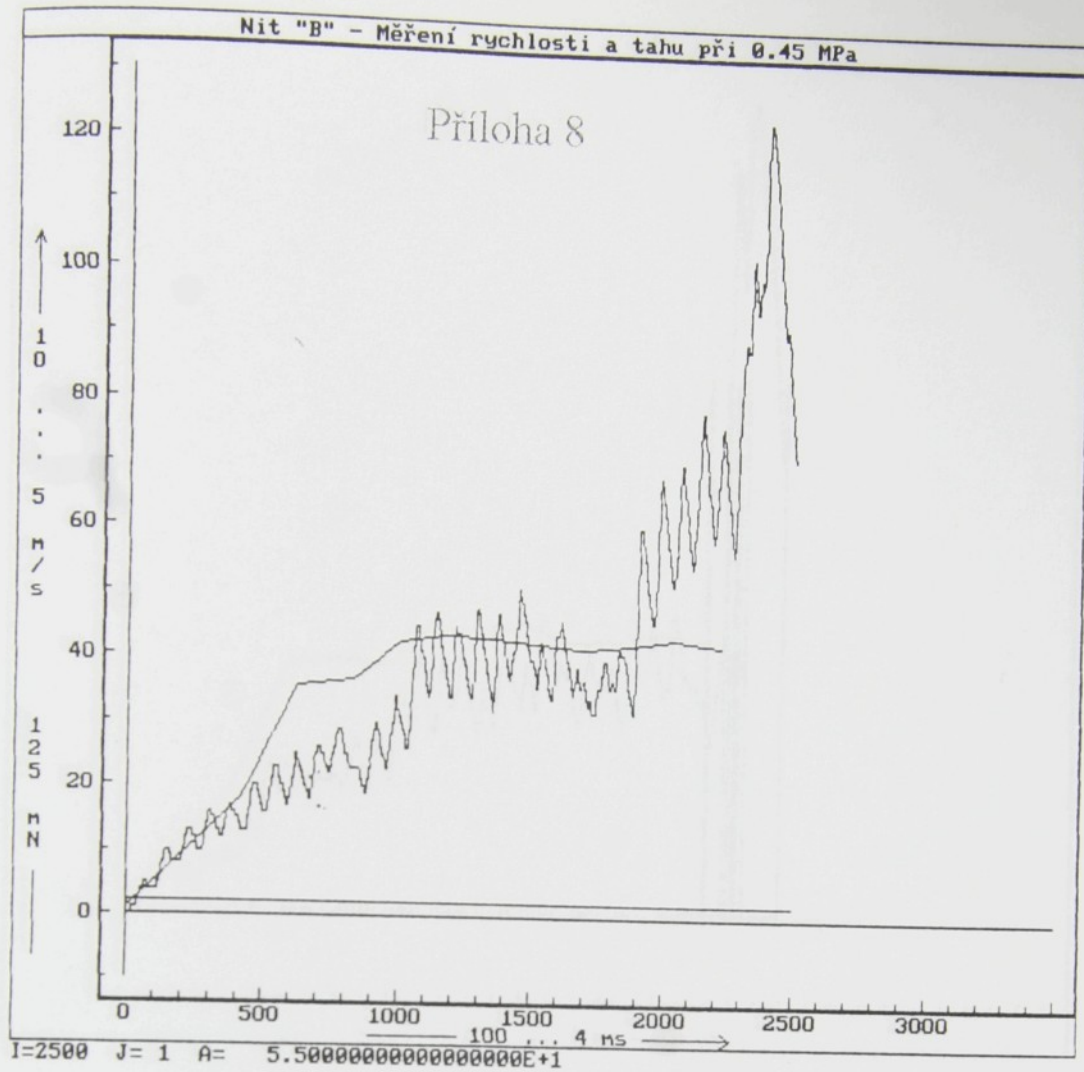
Nit "B" - Měření rychlosti a tahu při 0.4 MPa

Příloha 7



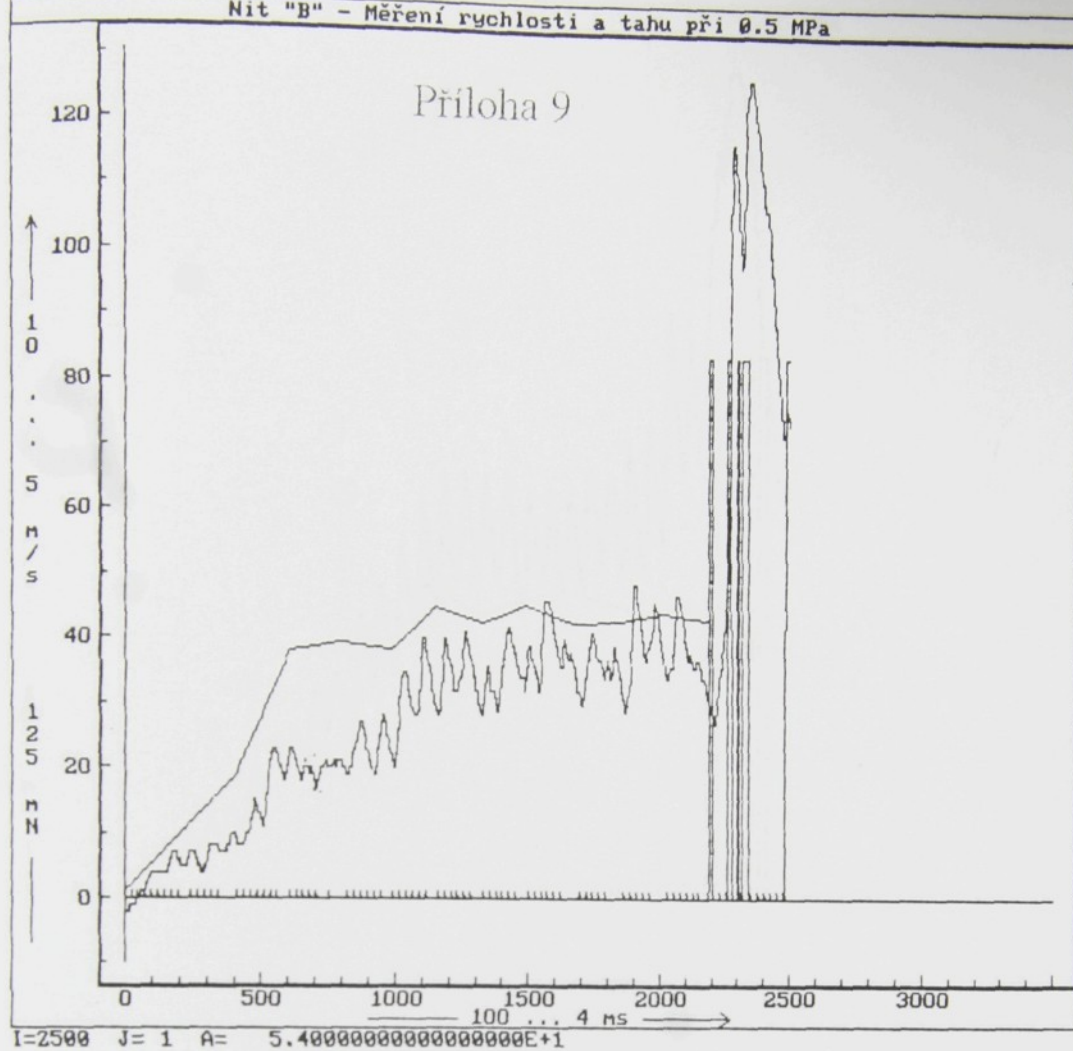
Nit "B" - Měření rychlosti při 0.4 MPa



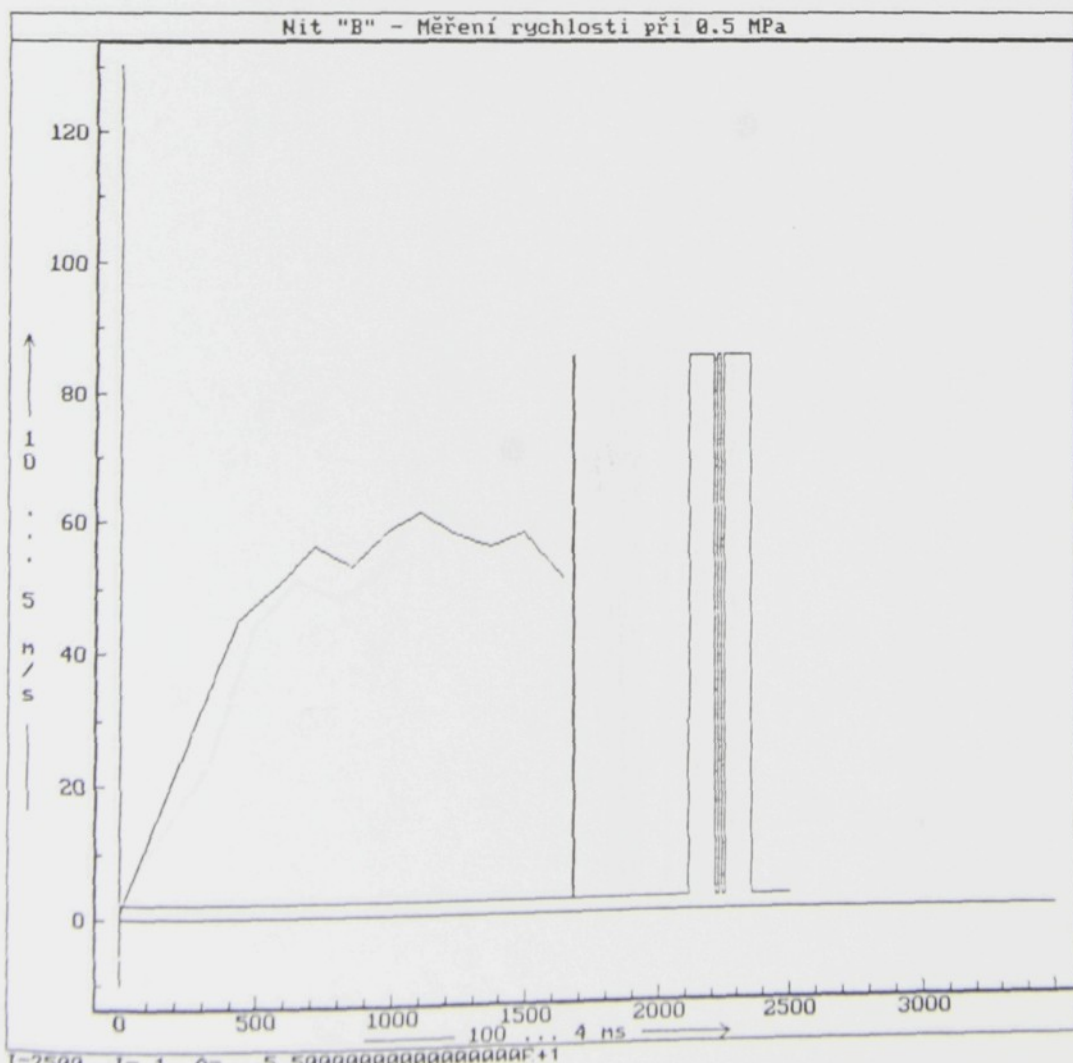


Nit "B" - Měření rychlosti a tahu při 0.5 MPa

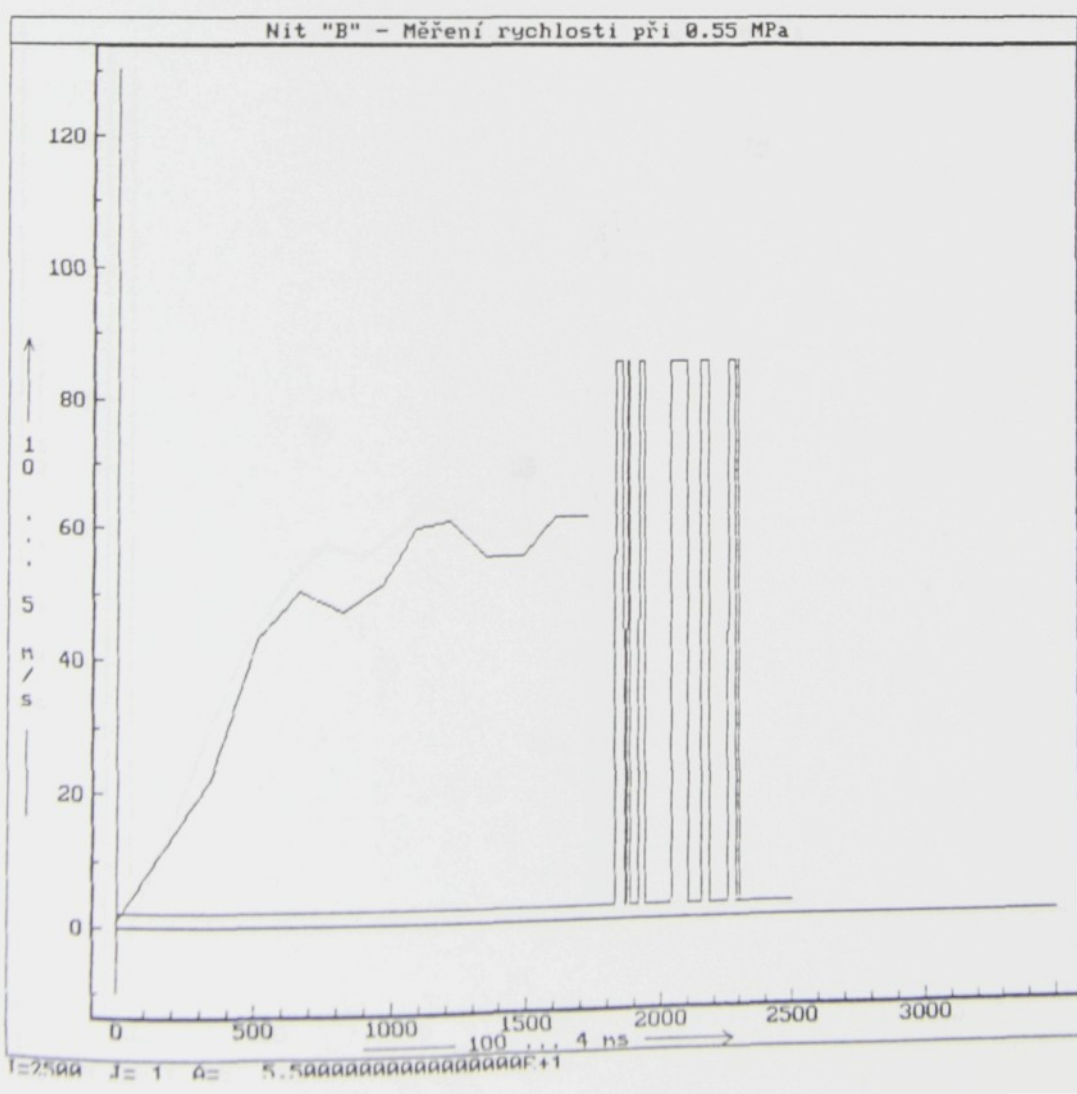
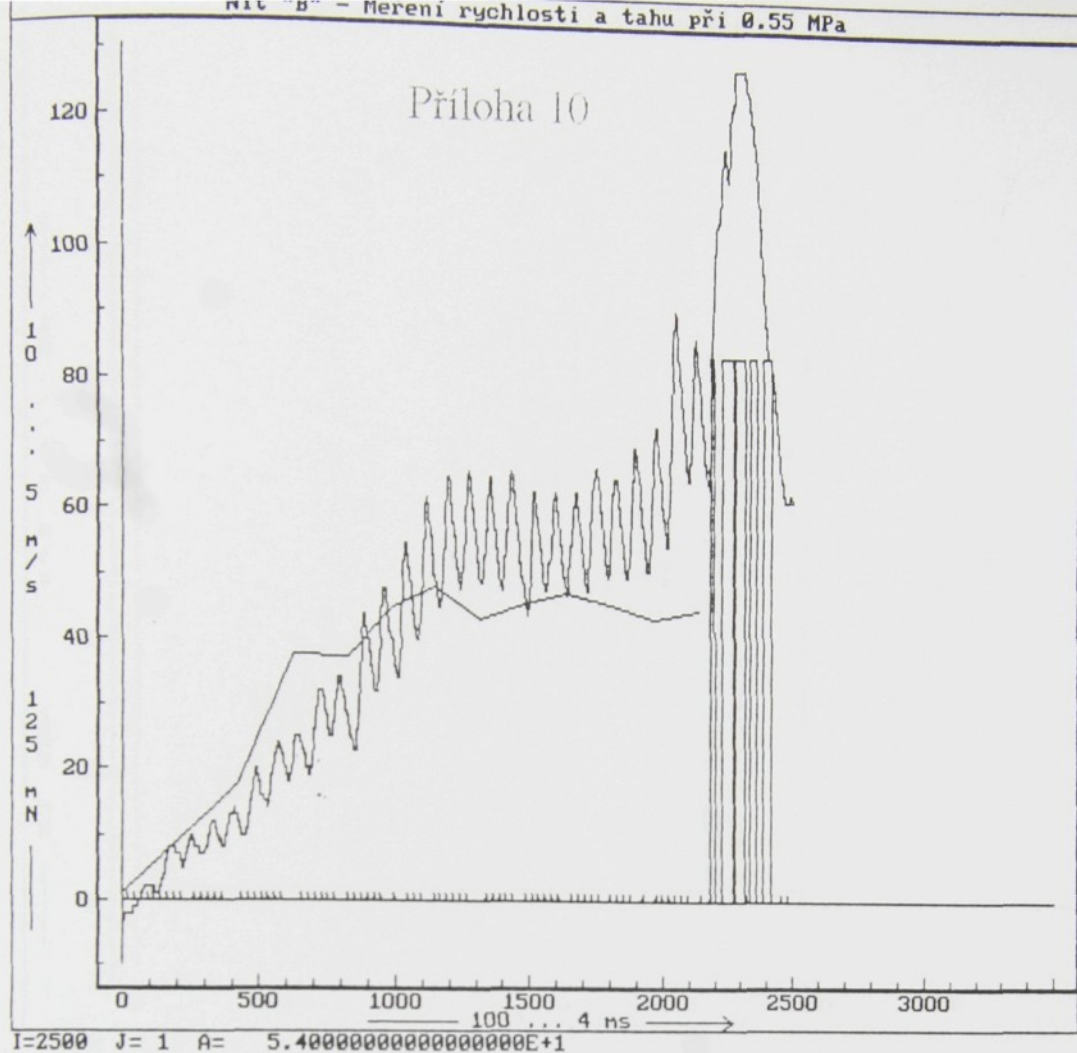
Příloha 9



Nit "B" - Měření rychlosti při 0.5 MPa

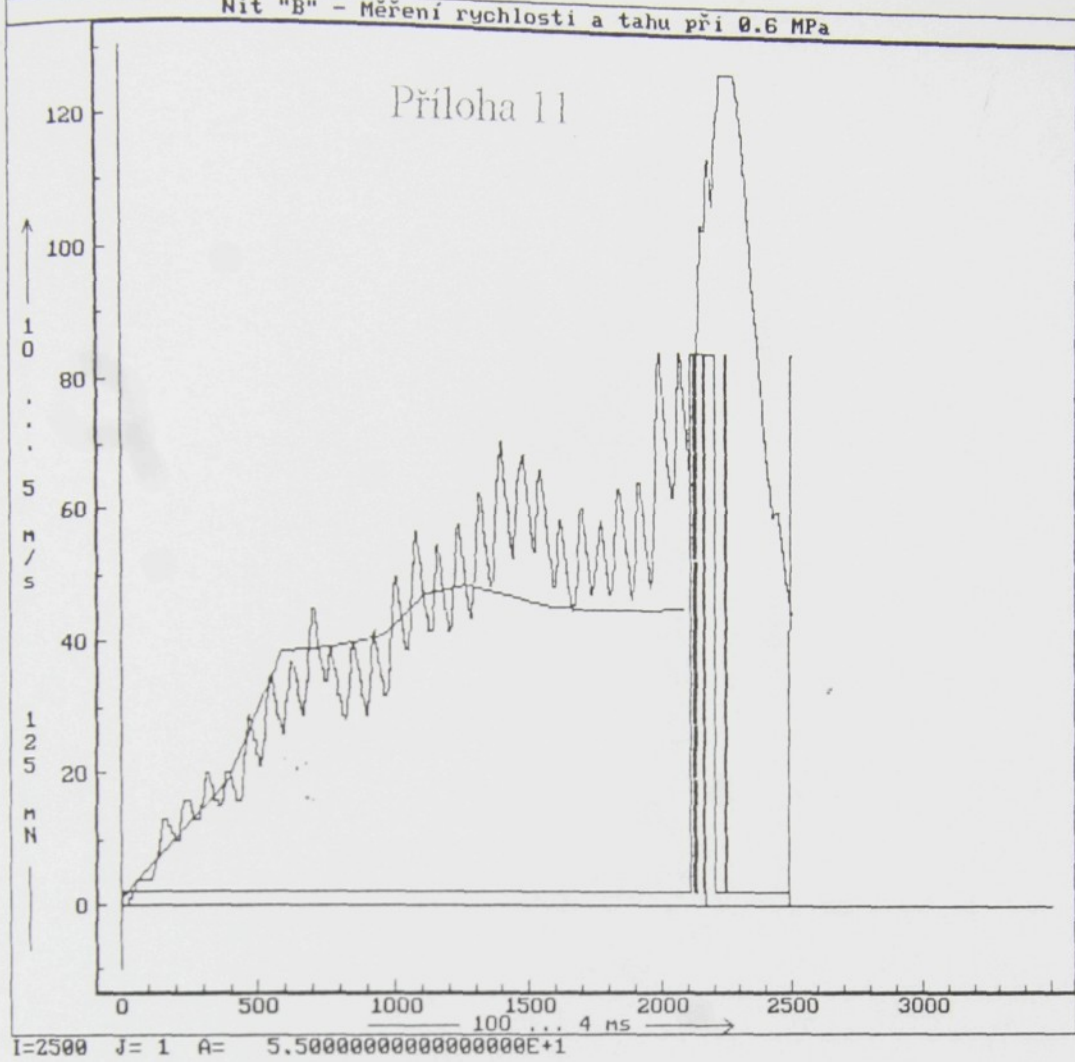


Příloha 10

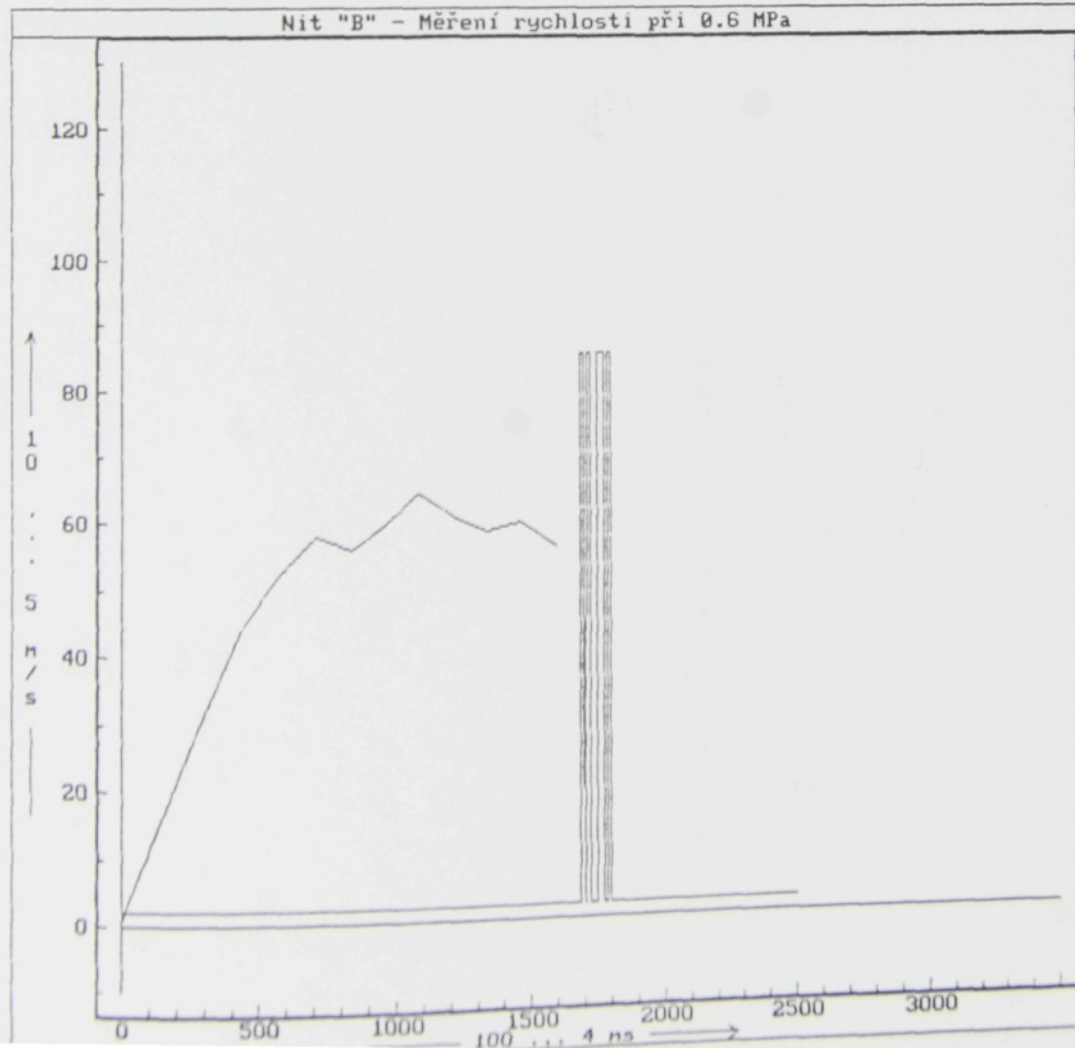


Nit "B" - Měření rychlosti a tahu při 0.6 MPa

Příloha 11

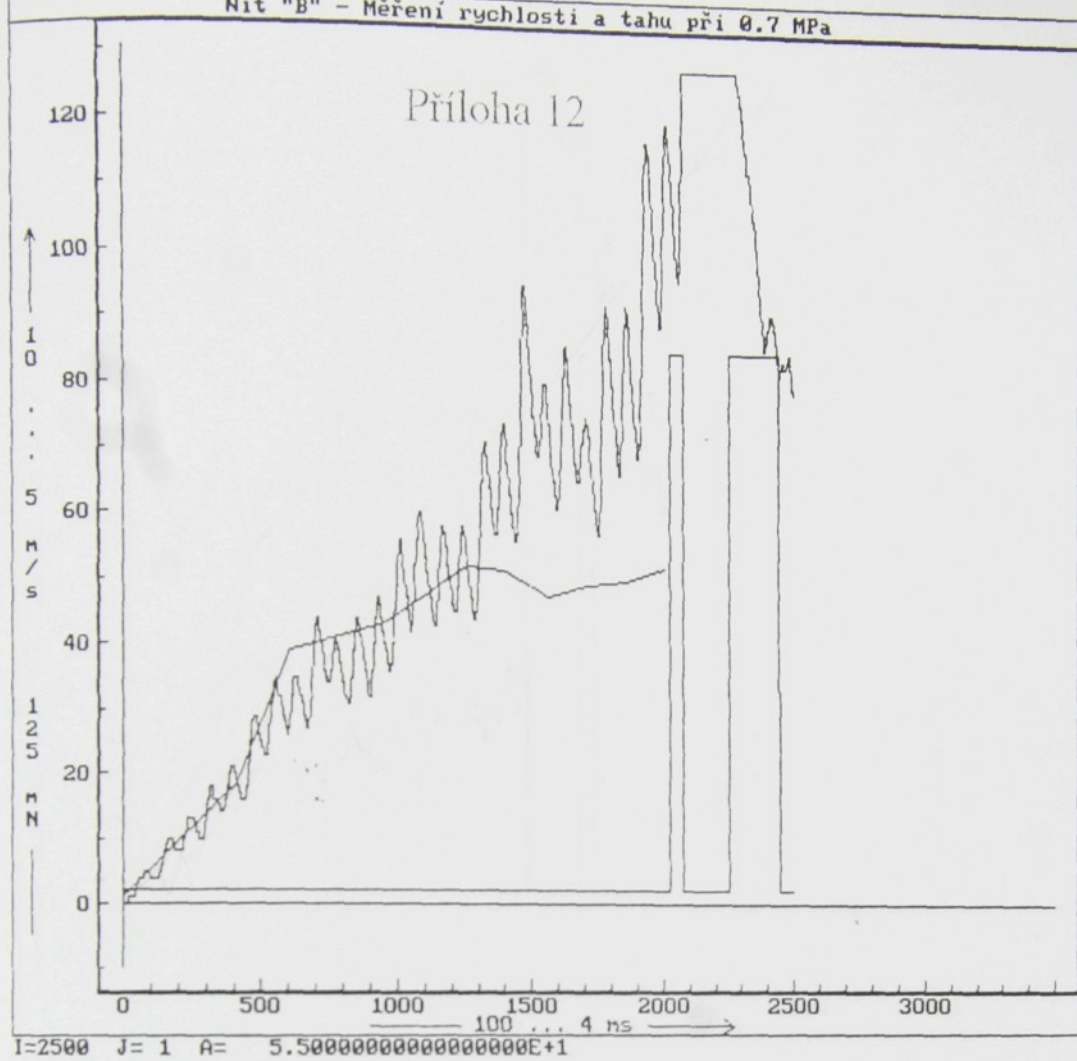


Nit "B" - Měření rychlosti při 0.6 MPa



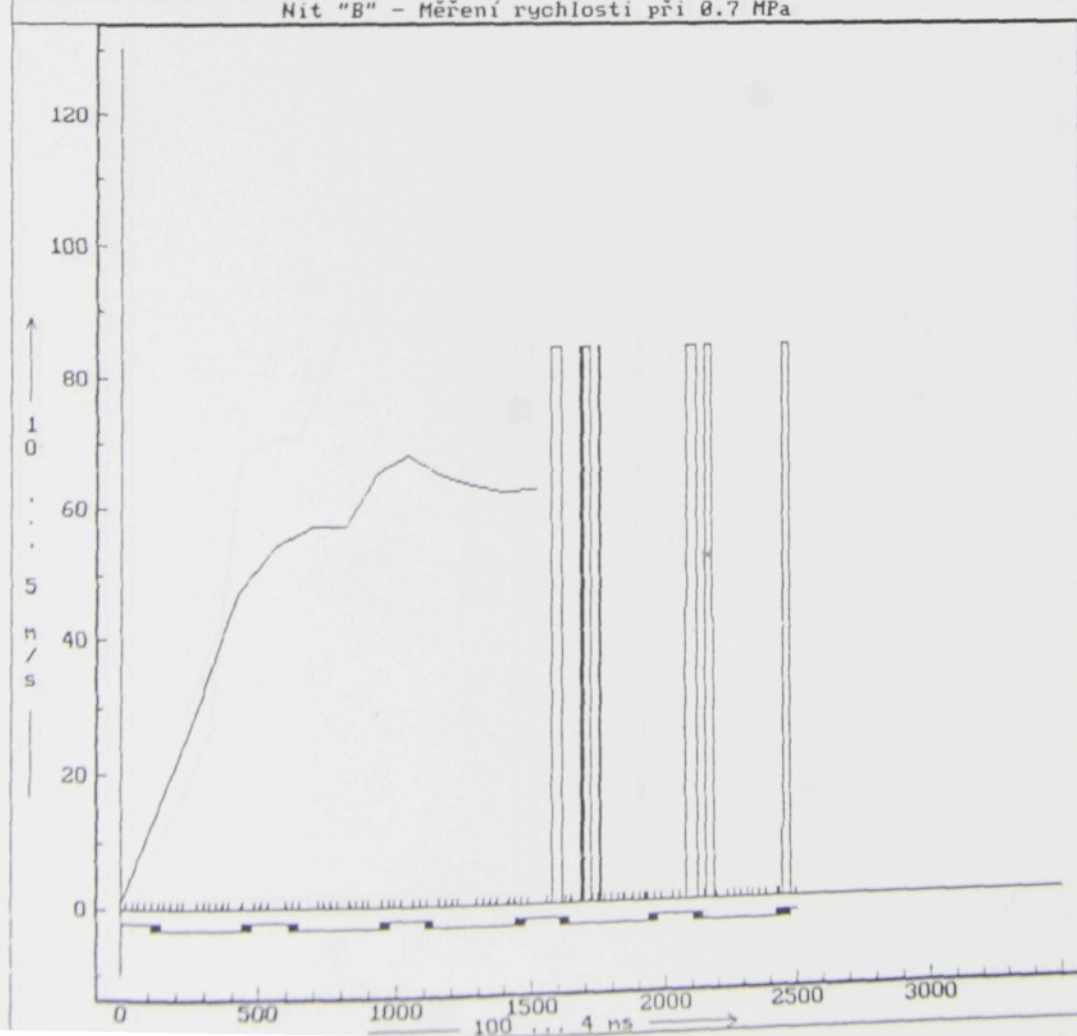
Nit "B" - Měření rychlosti a tahu při 0.7 MPa

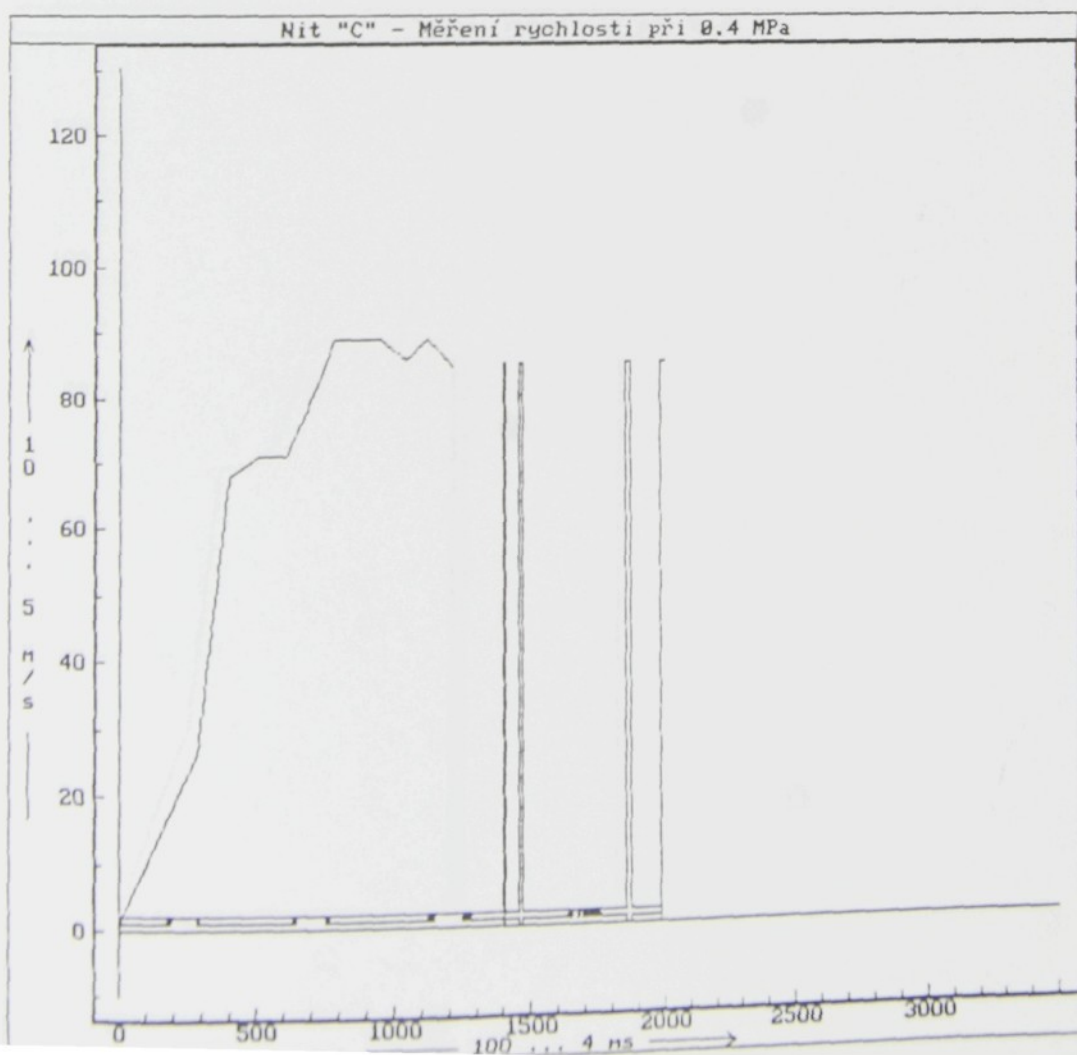
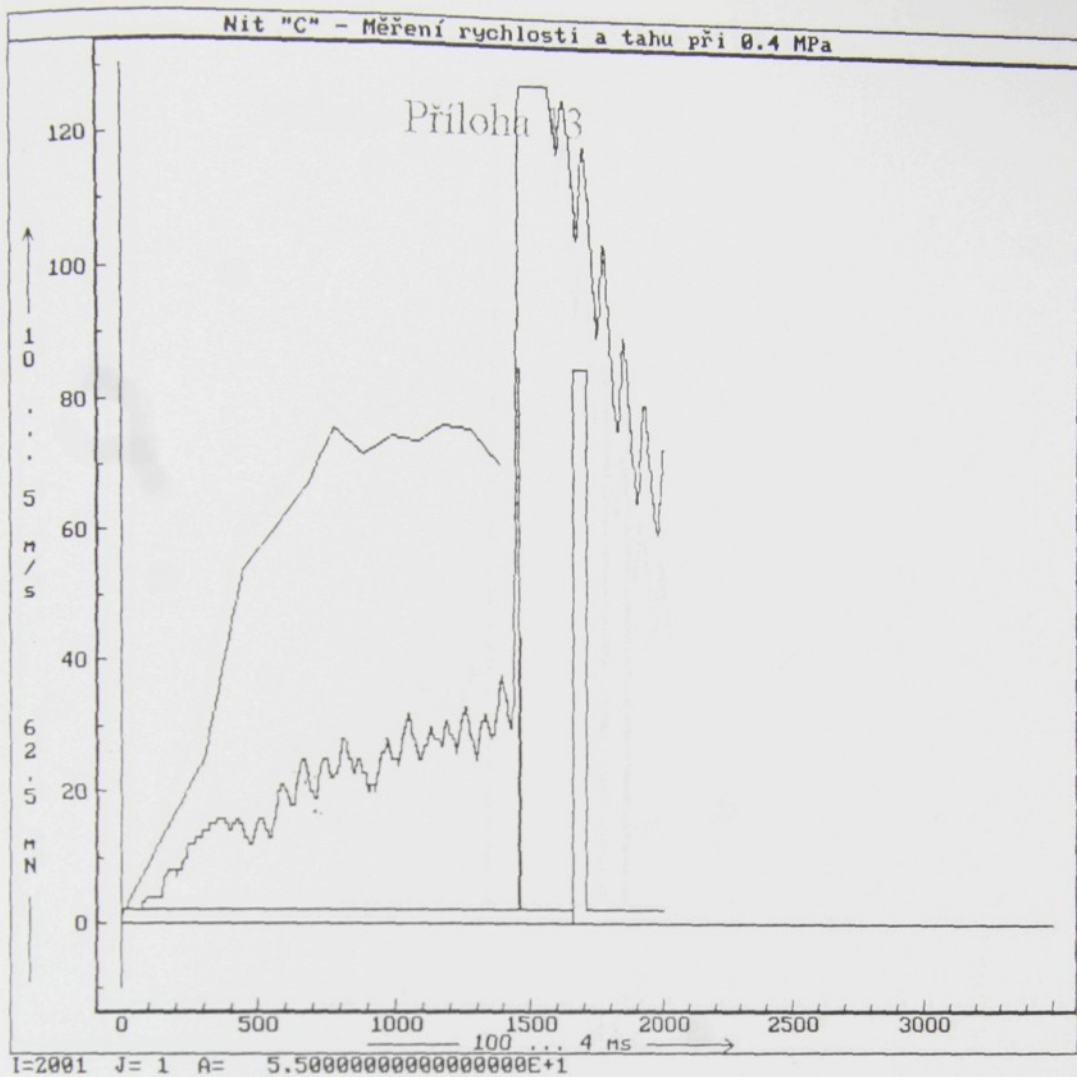
Příloha 12



I=2500 J= 1 A= 5.50000000000000E+1

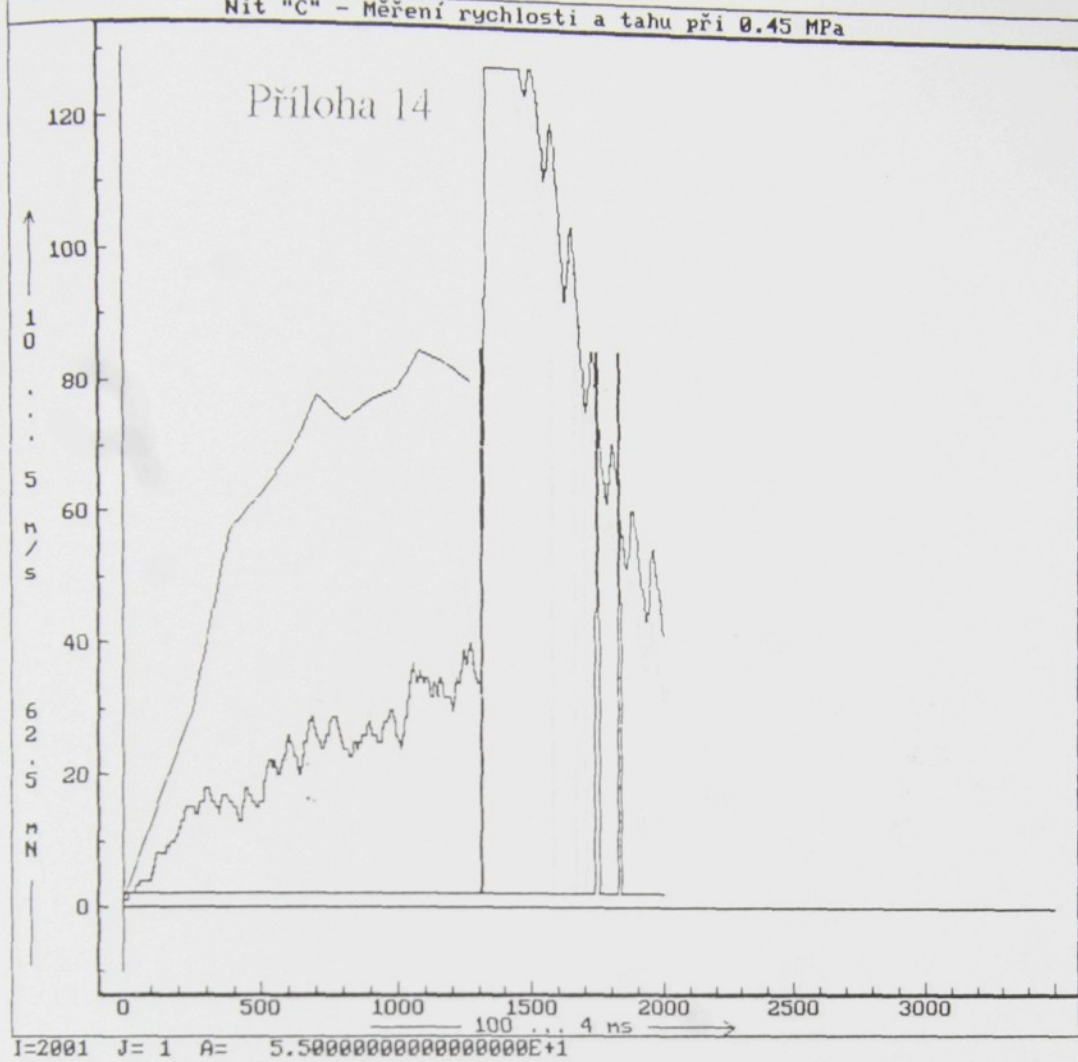
Nit "B" - Měření rychlosti při 0.7 MPa



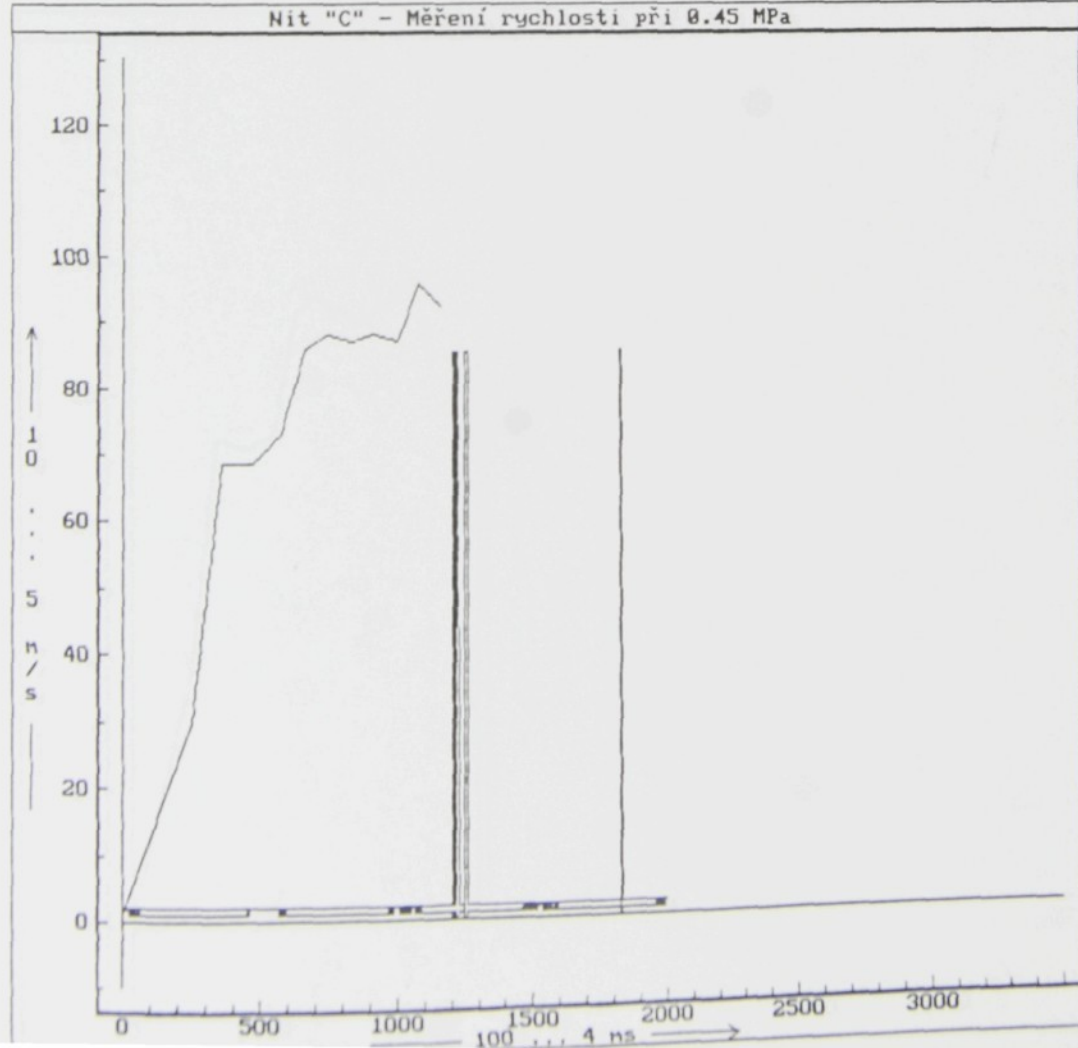


Nit "C" - Měření rychlosti a tahu při 0.45 MPa

Příloha 14

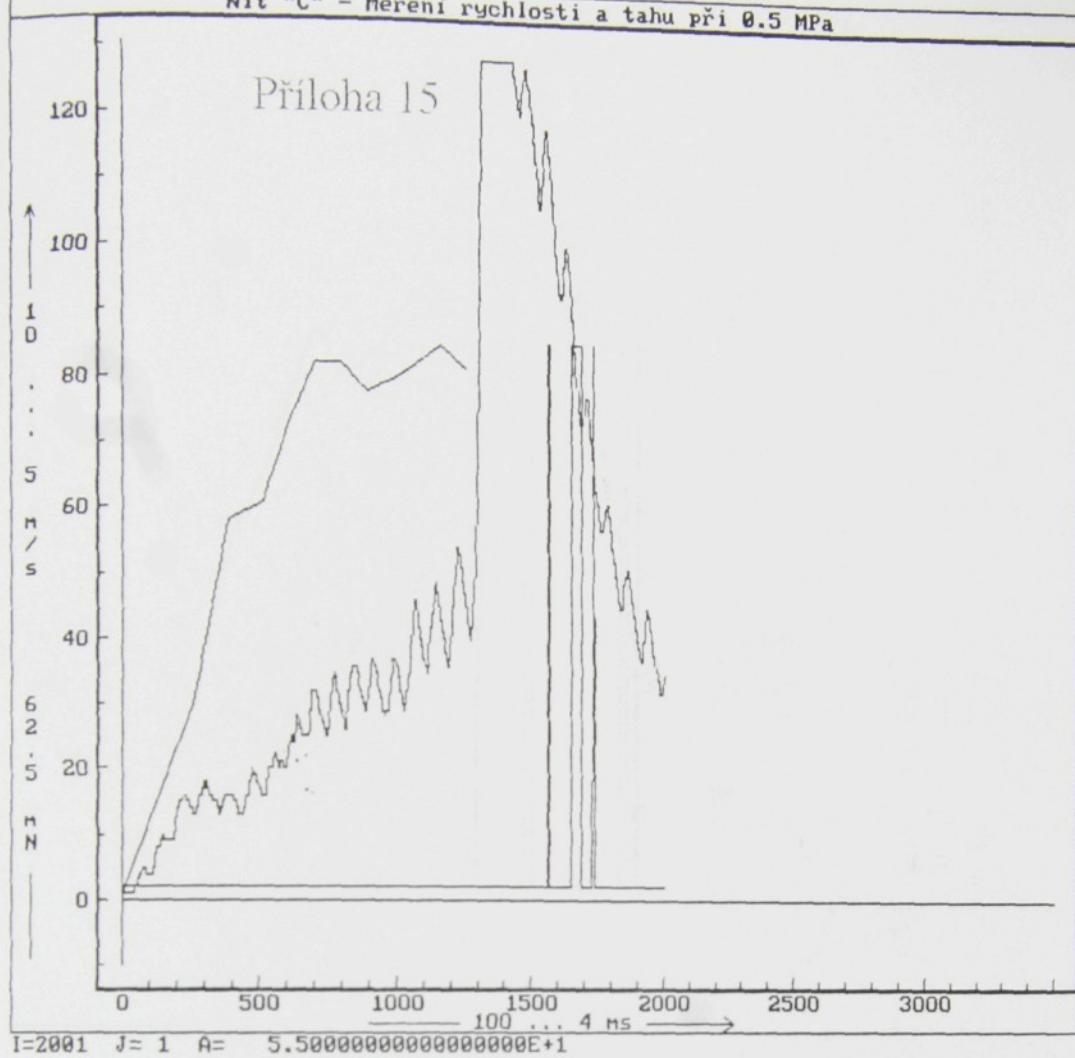


Nit "C" - Měření rychlosti při 0.45 MPa

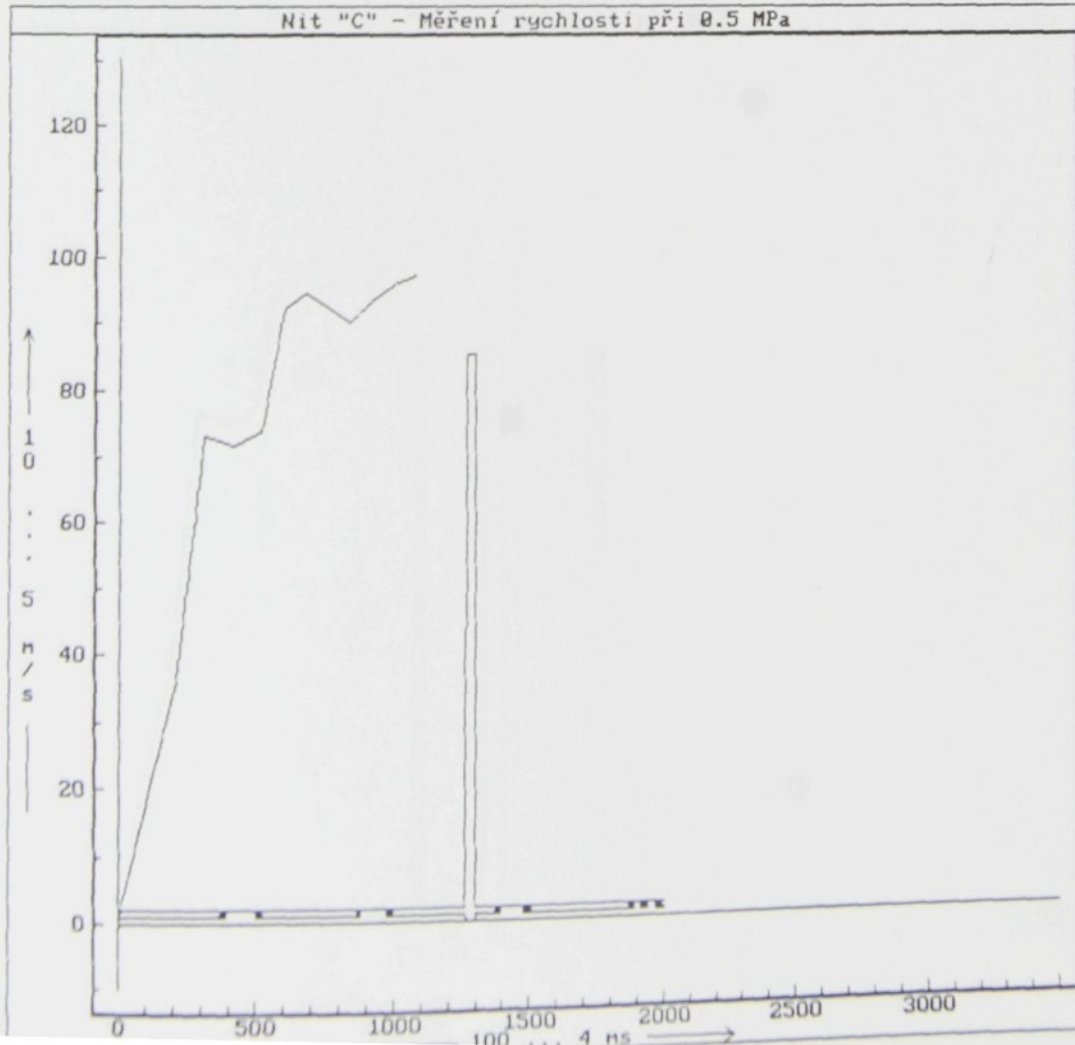


Nit "C" - Měření rychlosti a tahu při 0.5 MPa

Příloha 15

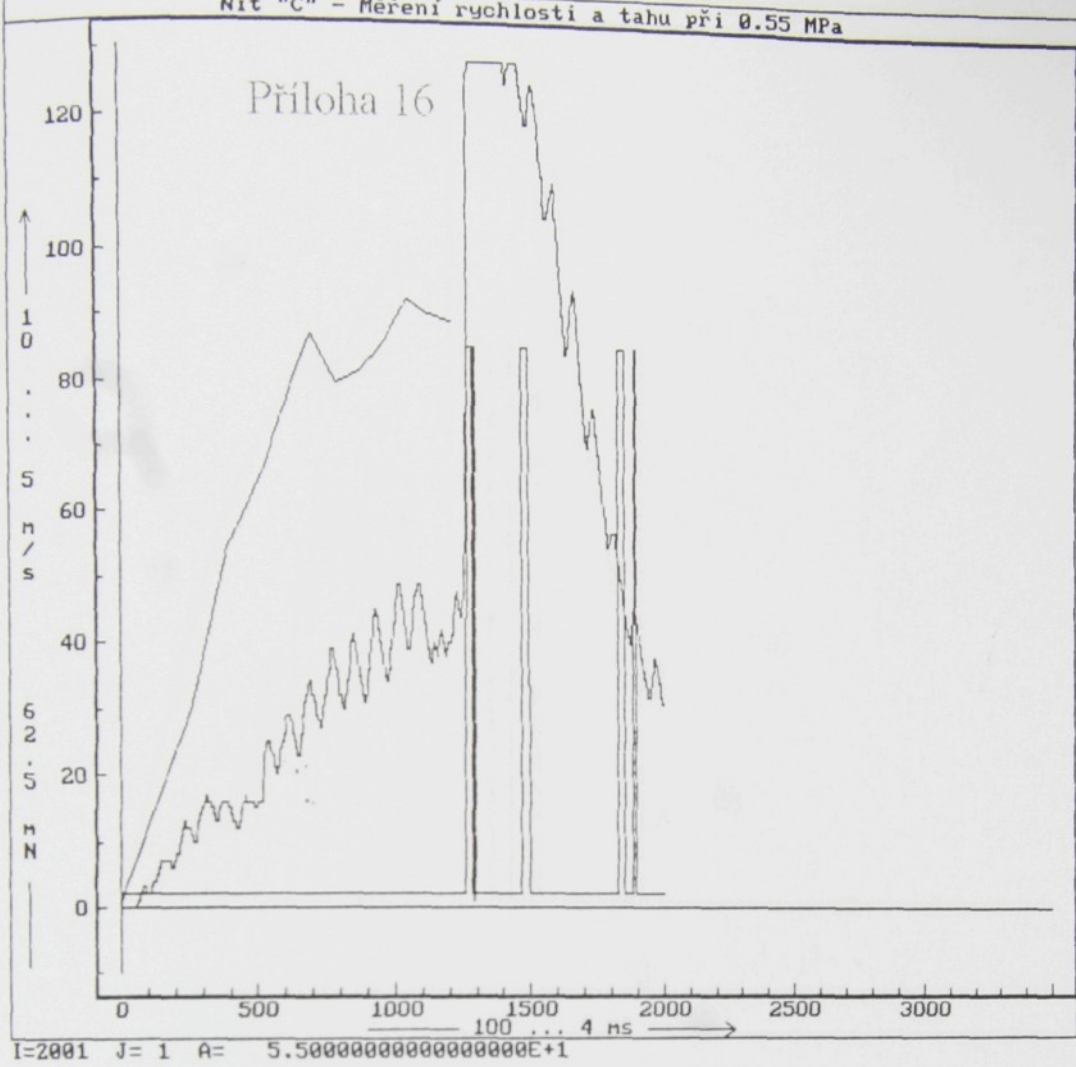


Nit "C" - Měření rychlosti při 0.5 MPa



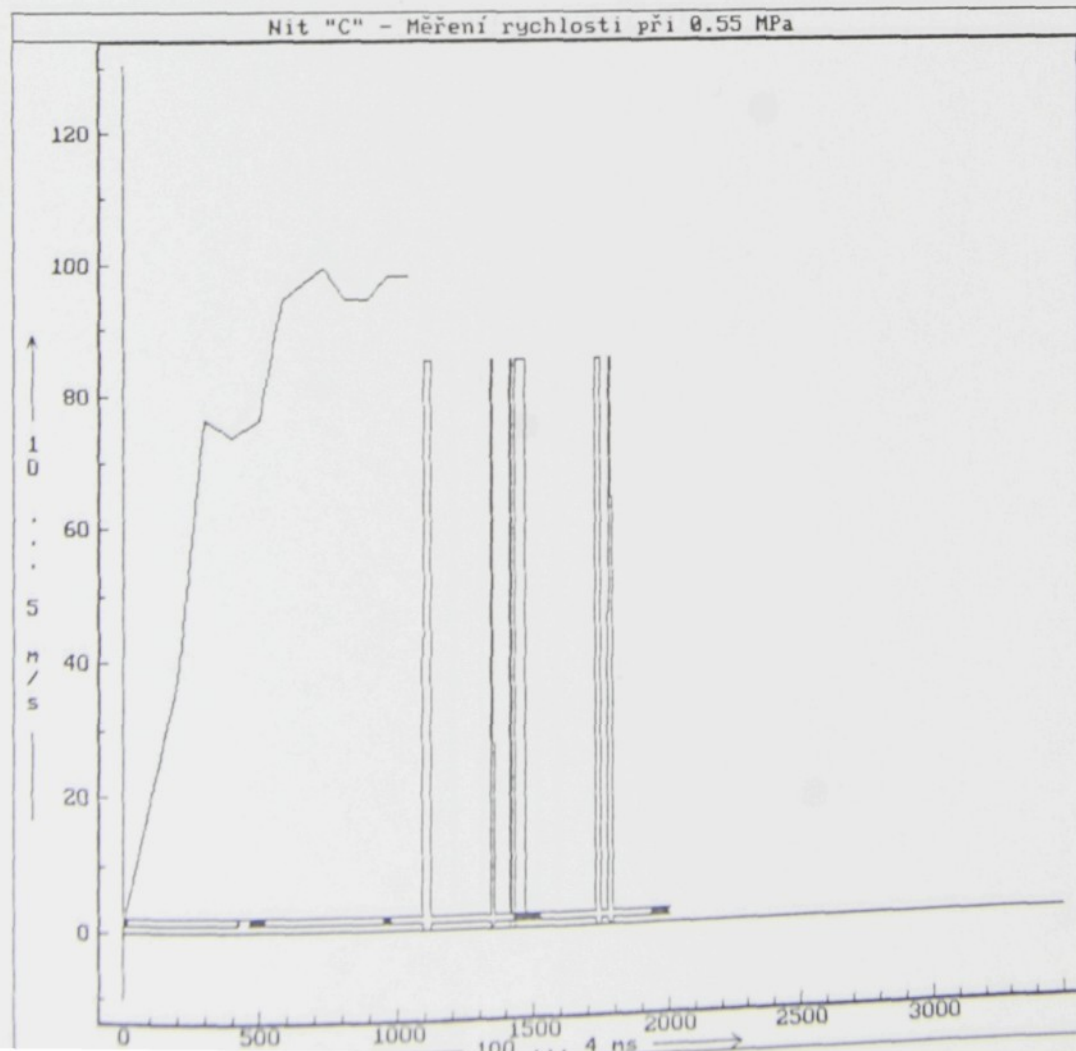
Nit "C" - Měření rychlosti a tahu při 0.55 MPa

Příloha 16

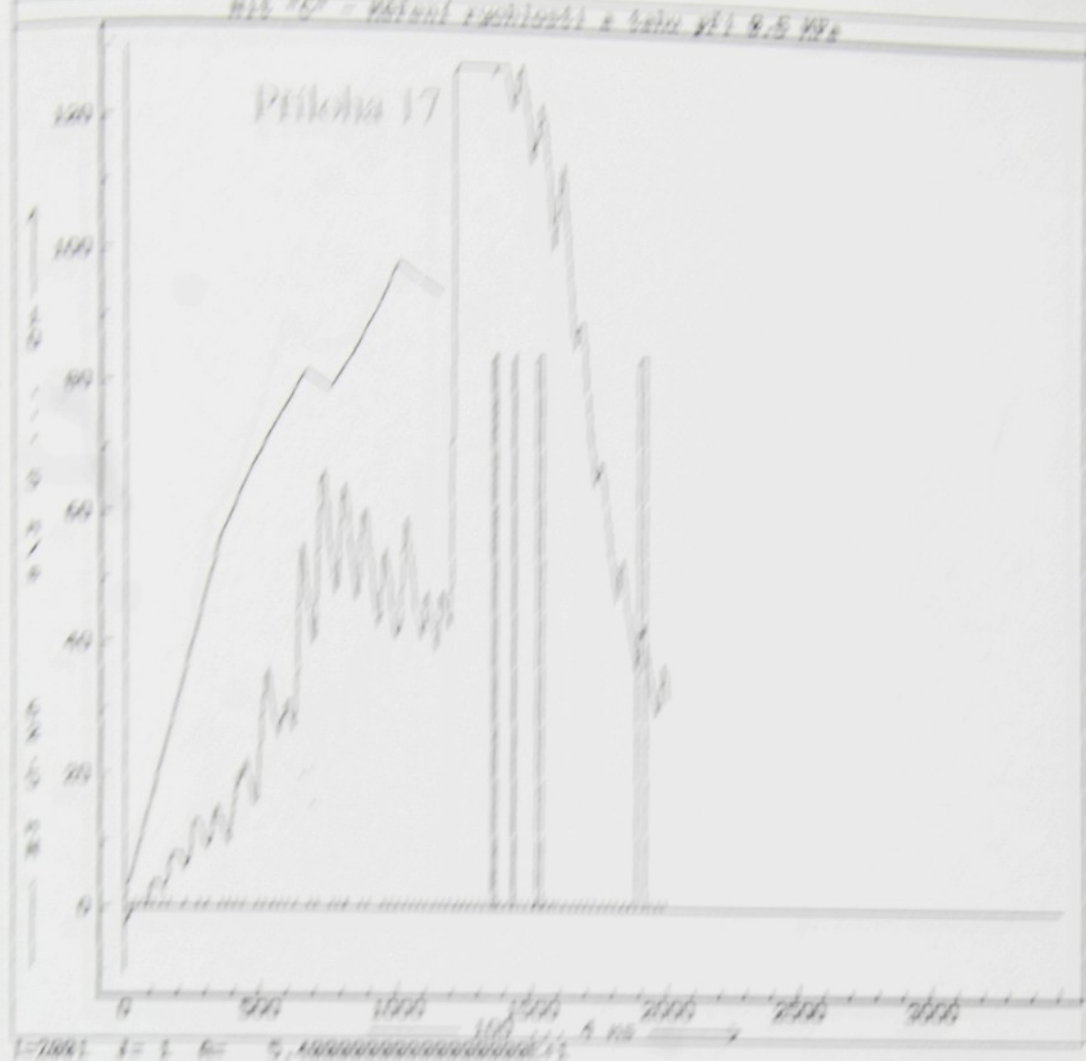


I=2001 J= 1 A= 5.500000000000000E+1

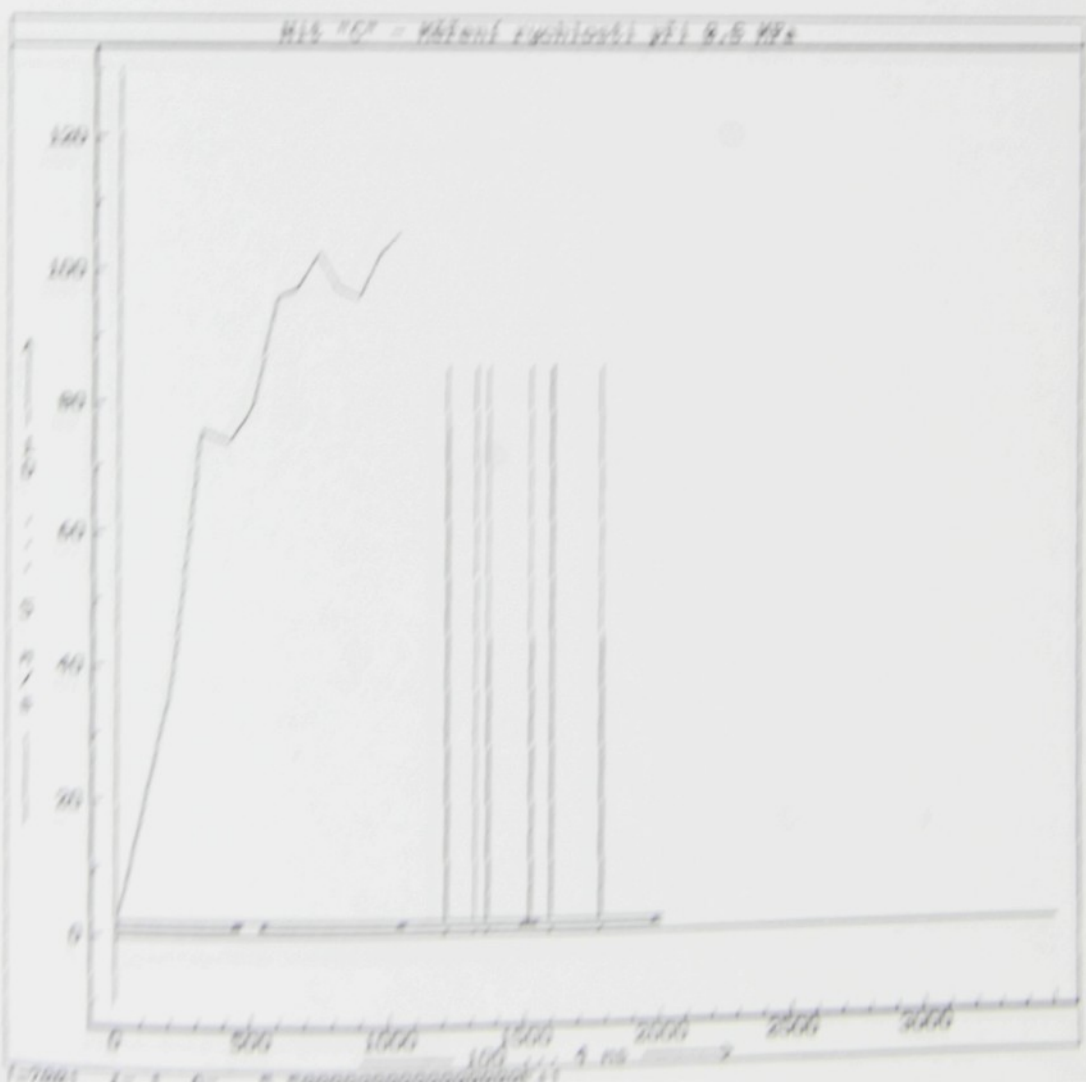
Nit "C" - Měření rychlosti při 0.55 MPa



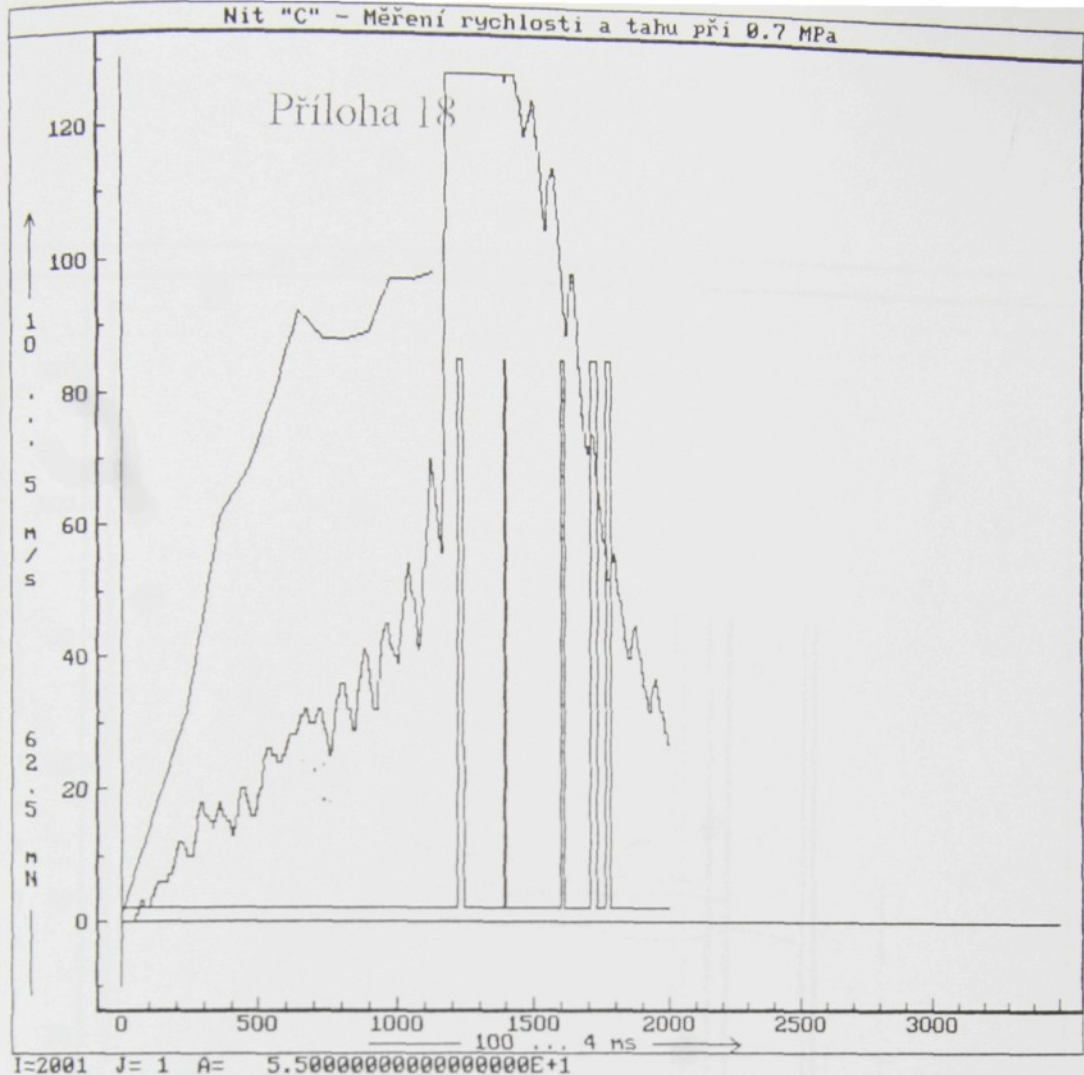
H13 "C" - Patient Fuchsstei & Sohn pI 8.5 MPa



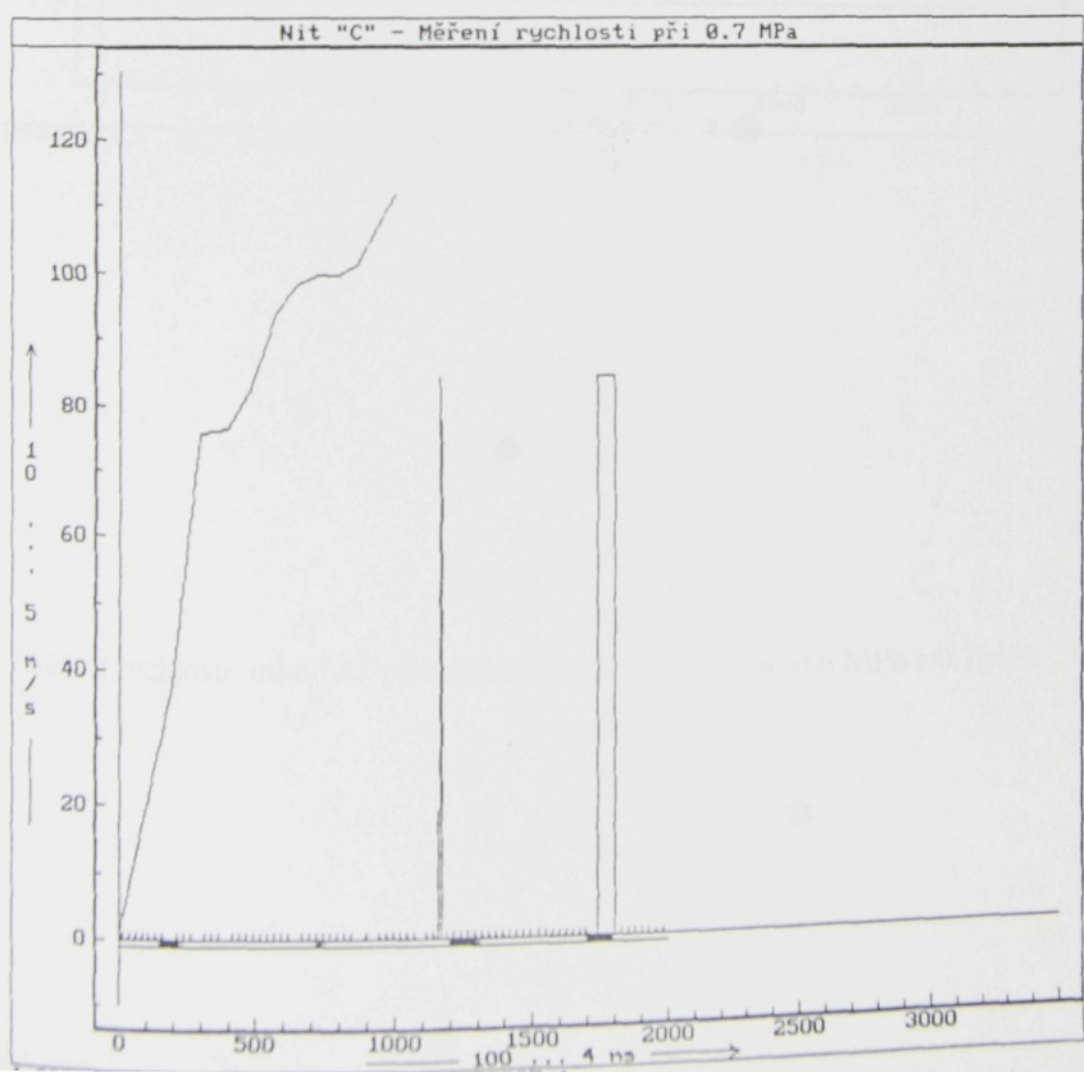
H13 "C" - Patient Fuchsstei & Sohn pI 8.5 MPa



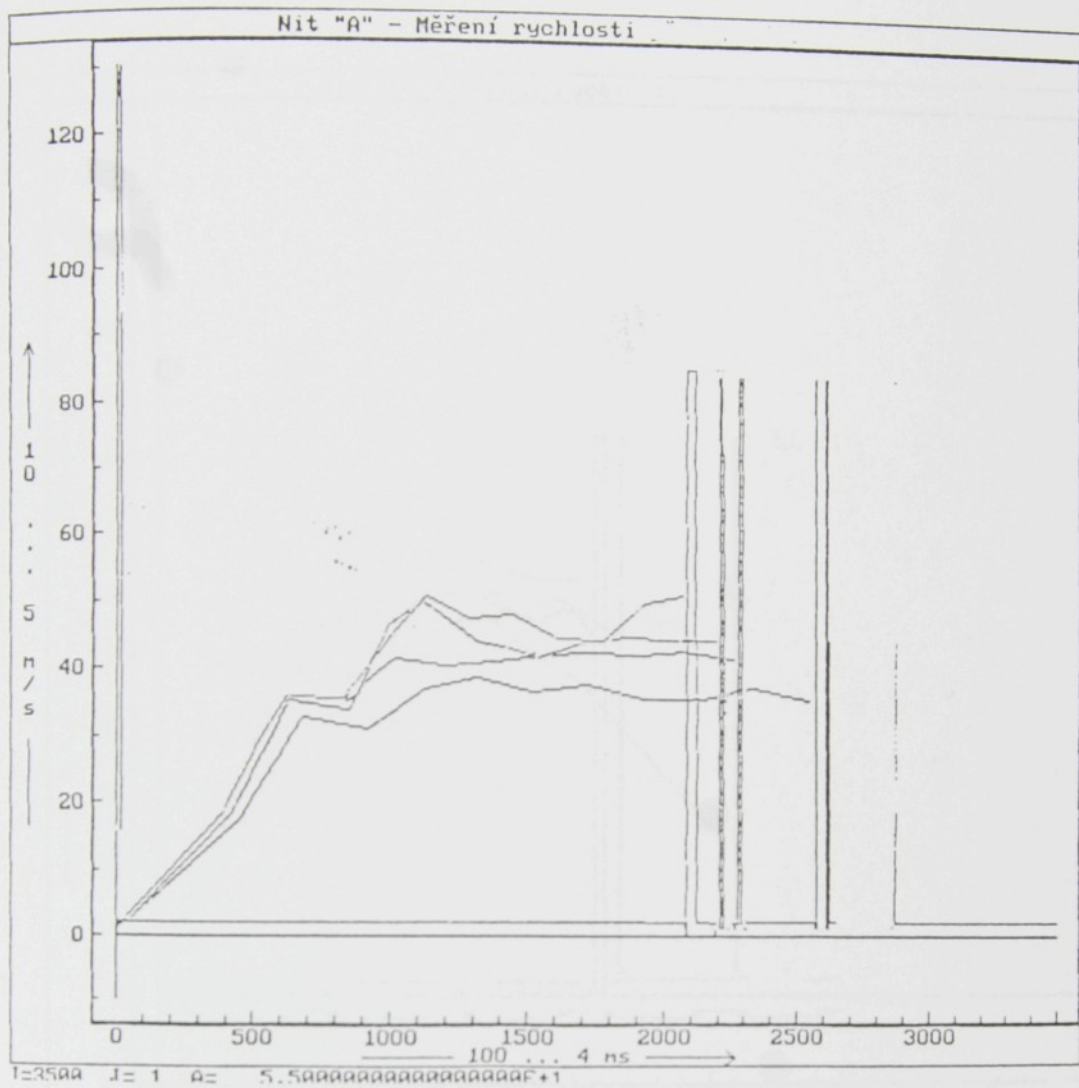
Nit "C" - Měření rychlosti a tahu při 0.7 MPa



Nit "C" - Měření rychlosti při 0.7 MPa

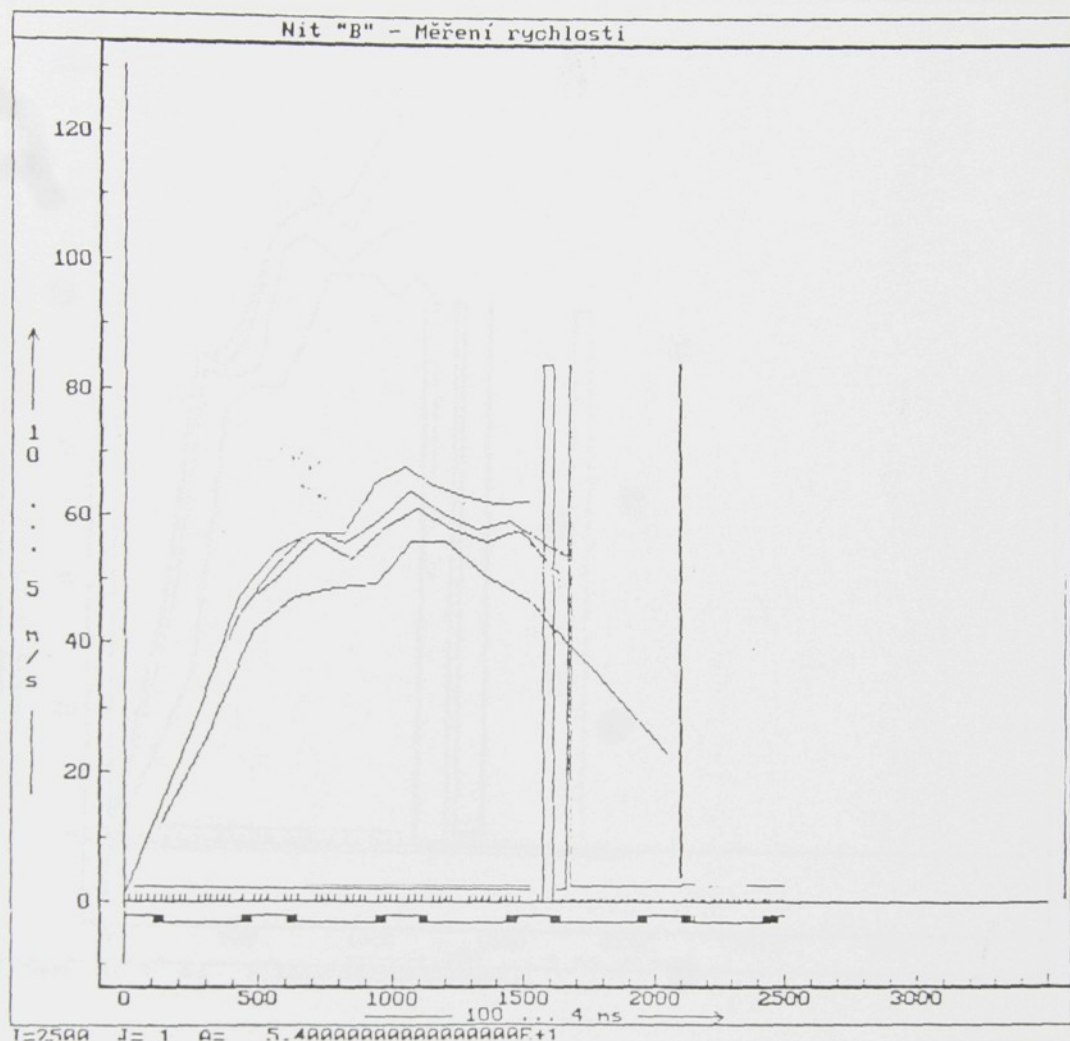


Příloha 19



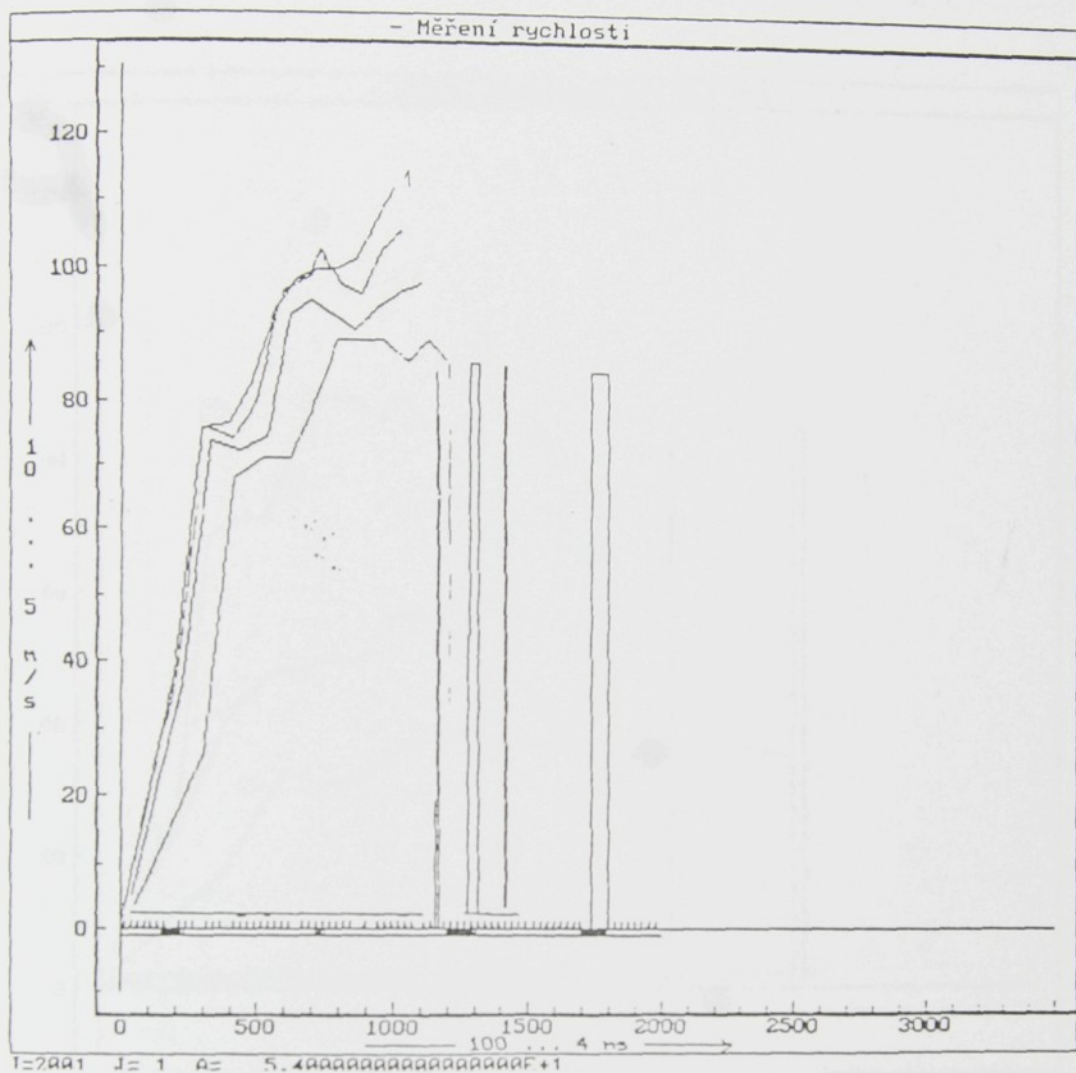
Měření rychlosti útku "A" při tlacích 0,4 MPa, 0,5 MPa, 0,6 MPa a 0,7 MPa

Příloha 20



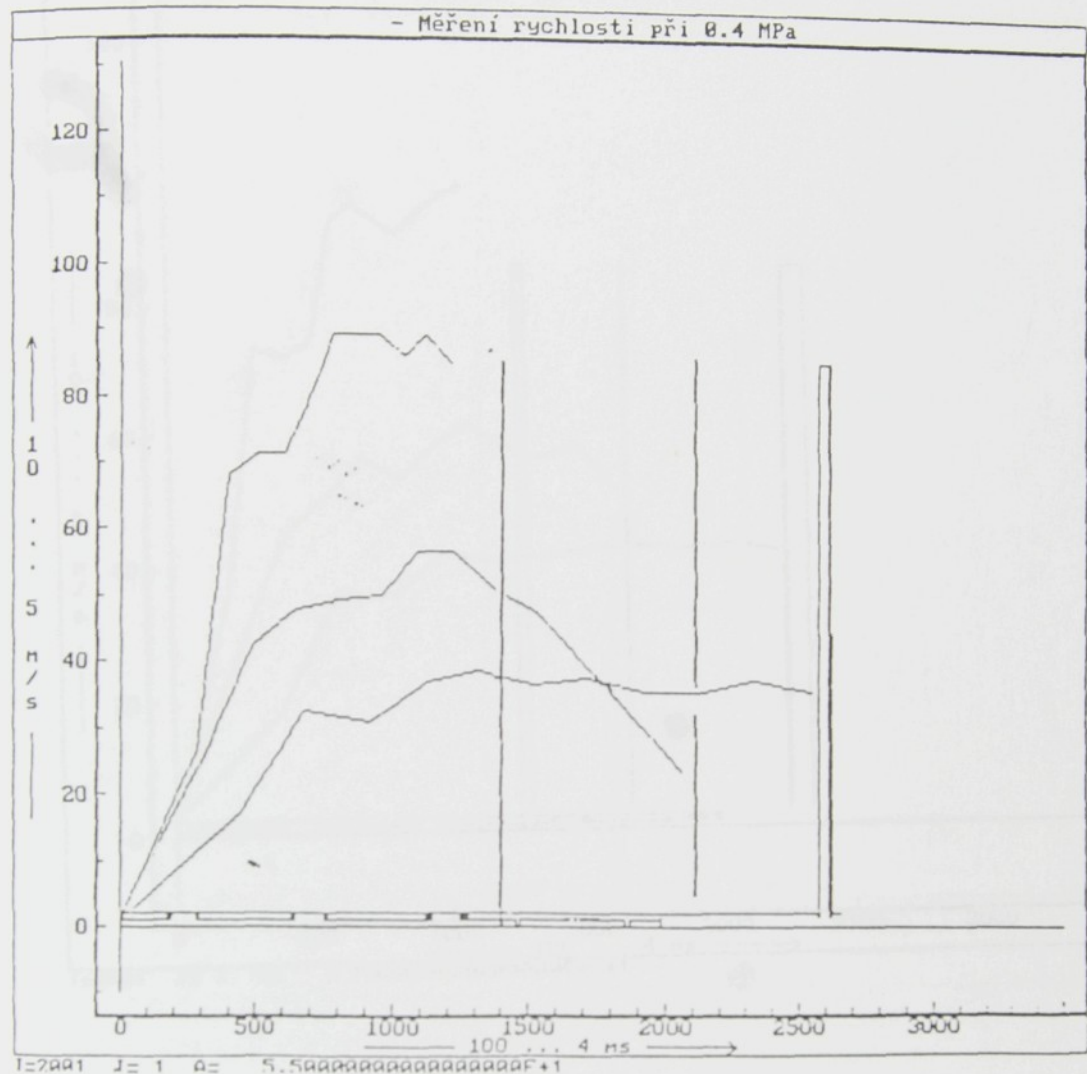
Měření rychlosti útku "B" při tlacích 0,4 MPa, 0,5 MPa, 0,6 MPa a 0,7 MPa

Příloha 21



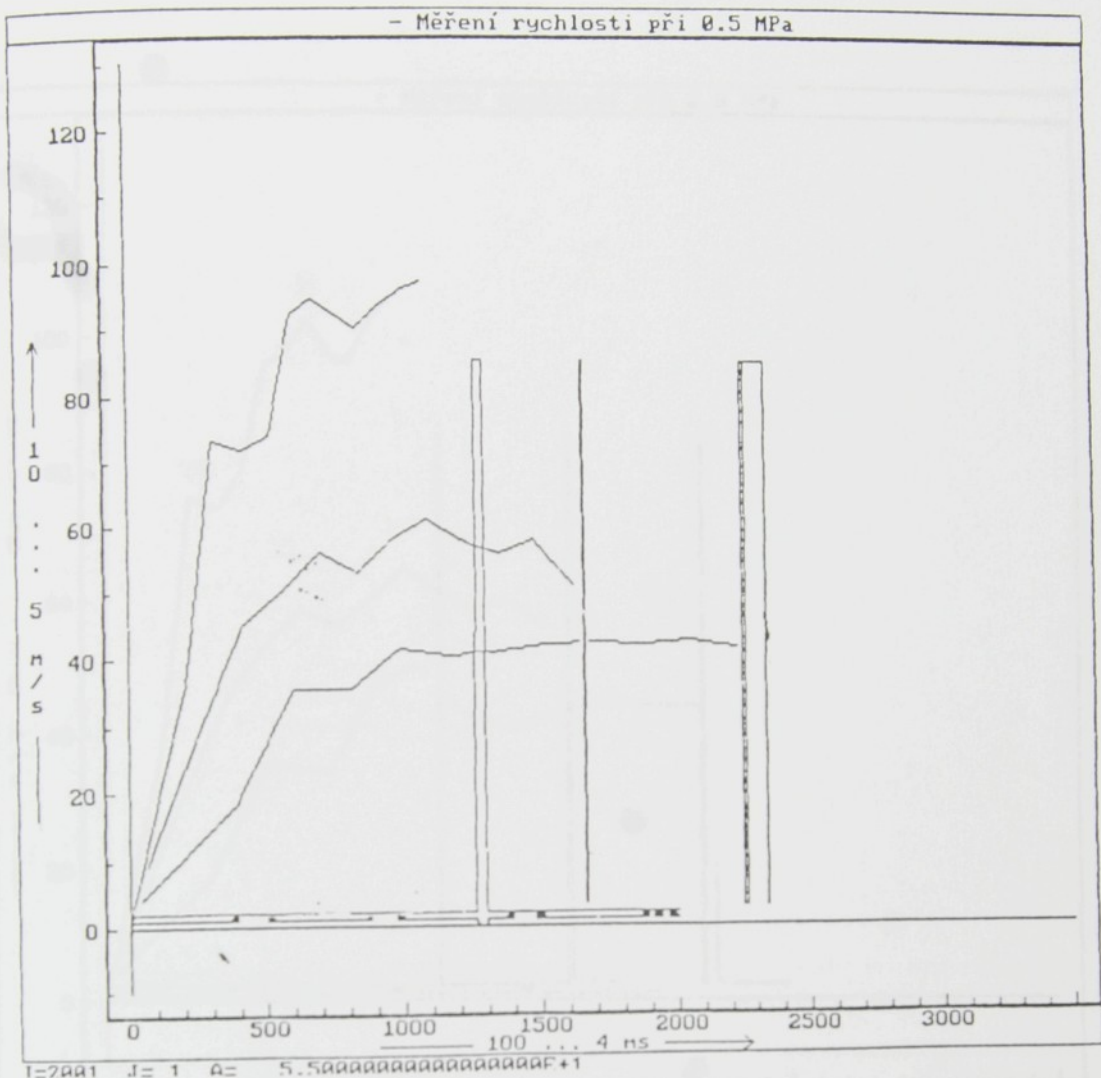
Měření rychlosti útku "C" při tlacích 0,4 MPa, 0,5 MPa, 0,6 MPa a 0,7 MPa

Příloha 22



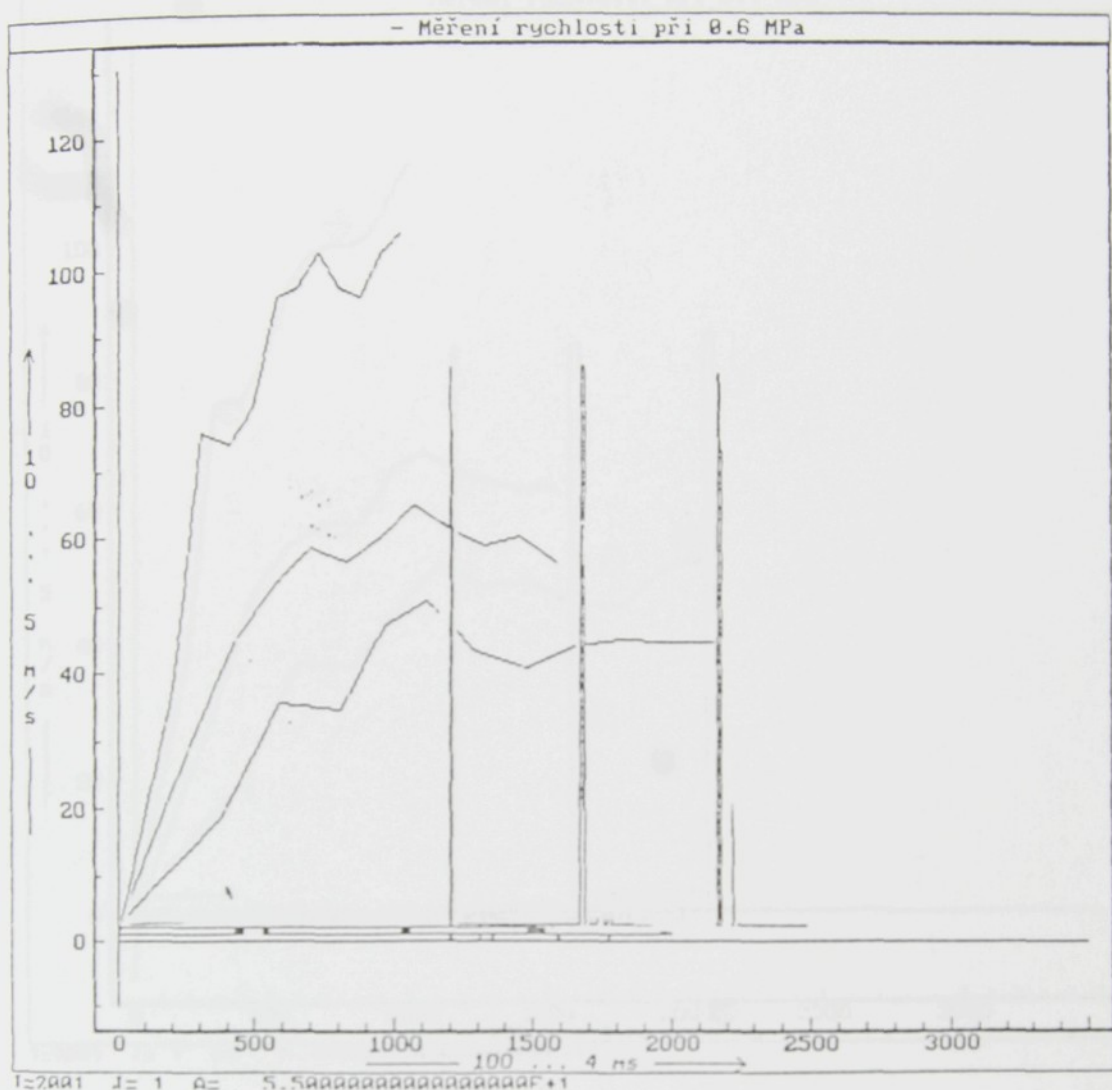
Měření rychlosti útku "A", "B" a "C" při tlaku 0,4 MPa

Příloha 23



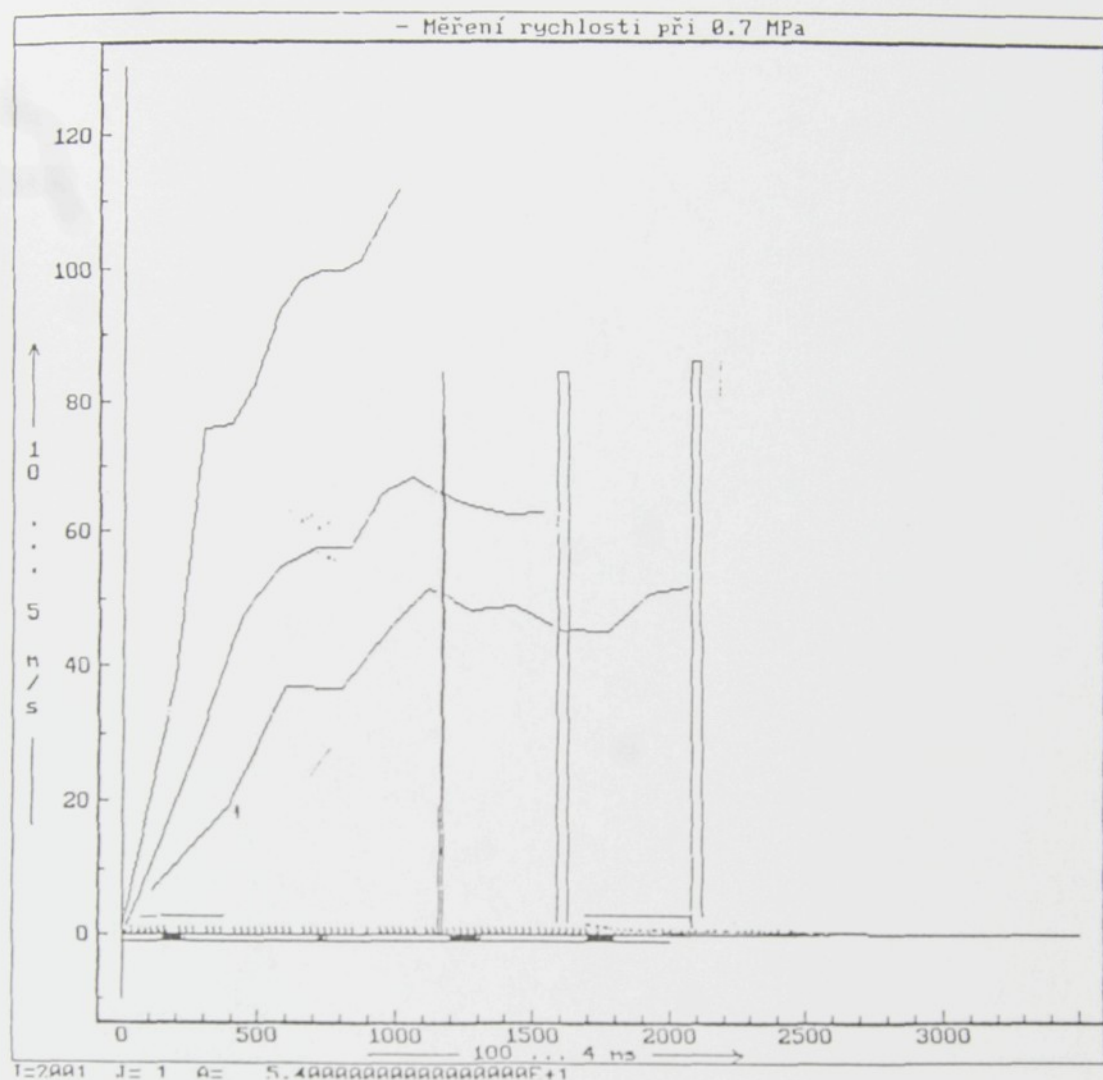
Měření rychlosti útku "A", "B" a "C" při tlaku 0,5 MPa

Příloha 24



Měření rychlosti útku "A", "B" a "C" při tlaku 0,6 MPa

Příloha 25



Měření rychlostí útku "A", "B" a "C" při tlaku 0,7 MPa